

بِسْمِ اللَّهِ الرَّحْمَنِ الرَّحِيمِ



دانشکده مهندسی مکانیک و مکاترونیک

پایان نامه دوره کارشناسی ارشد مهندسی طراحی کاربردی

عنوان

محاسبه ضرایب شدت تنش در یک محیط محدود اورتوتروپیک ترک‌دار تحت شوک

گرمایی با در نظر گرفتن تئوری ترموالاستیسیته لرد شولمان و استفاده از روش المان

محدود توسعه یافته

نگارنده: جوانشیر لطفی

استاد راهنما

دکتر محمد باقر نظری

شهریور ۱۳۹۸

شماره: ۱۲۶ / ۲۹۸ / ۱۳
تاریخ: ۹۸ / ۷ / ۱۳

باسمه تعالی



مدیریت تحصیلات تکمیلی

فرم شماره (۳) صورت جلسه نهایی دفاع از پایان نامه دوره کارشناسی ارشد

با نام و یاد خداوند متعال، ارزیابی جلسه دفاع از پایان نامه کارشناسی ارشد خانم / آقای جوانشیر لطفی با شماره دانشجویی ۹۵۱۲۸۹۳ رشته مهندسی مکانیک، گرایش مخابراتی کاربرد در تحت عنوان محاسبه ضرایب شدت تنش در یک محیط محدود ارتو تروپیک ترکدار تحت شوک گرمایی با در نظر گرفتن تئوری ترموالاستیسیته لرد شولمان و استفاده از روش المان محدود توسعه یافته که در تاریخ ۱۳۹۸/۰۶/۱۷ با حضور هیأت محترم داوران در دانشگاه صنعتی شاهرود برگزار گردید به شرح ذیل اعلام می گردد:

قبول (با درجه): علمی مردود

نوع تحقیق: نظری عملی

ردیف	عنوان و نام خانوادگی	مرتبه علمی	امضاء
۱-	استاد راهنمای اول	دکتر محمد باقر نظری	استادیار
۲-	استاد راهنمای دوم		
۳-	استاد مشاور		
۴-	نماینده تحصیلات تکمیلی	دکتر حبیب احمدی	استادیار
۵-	استاد ممتحن اول	دکتر حسین توژنده جانی	استادیار
۶-	استاد ممتحن دوم	دکتر محمد جعفری	دانشیار

نام و نام خانوادگی رئیس دانشکده: دکتر محمد محسن شاه مردان

تاریخ و امضاء و مهر دانشکده:

تصريح: در صورتی که کسی مردود شود حداکثر یکبار دیگر (در مدت مجاز تحصیل) می تواند از پایان نامه خود دفاع نماید (دفاع مجدد نباید زودتر از ۴ ماه برگزار شود).

صفحه تقدیم

با نام یاد خدا؛

اینجانب رساله‌ام را به مادر و پدرم تقدیم می‌کنم. که صادقانه تمام تلاششان را برای پیشرفت من

انجام دادند. سخن را کوتاه می‌کنم و فقط این رساله را تقدیم به آنها می‌کنم.

صفحه تشکر و قدردانی

سخت معتقدم، که هر پیشرفت و حرکتی که برای شخص یا اشخاصی حاصل می‌شود، از پیشرفت اجتماعی گرفته تا تحصیلی نتیجه راهنمایی‌های یک یا چند معلم است. البته که تلاش خود فرد یا افراد نیز در پیشرفت تاثیر به سزایی دارند، اما نقش معلم همانند نقشه راه است که خدایی نکرده اگر اشتباه باشد مصداق سخن زیبای صائب تبریزی می‌شود که "خشت اول چو نهد معمار کج تا ثریا می‌رود دیوار کج!" معمار در این بیت همان معلم یا همان نشان‌دهنده راه می‌باشد و به نظر اینجانب همین وظیفه خطیر و حساس معلم است که باعث بالا رفتن مقام معلم در ادبیات و فرهنگ ما شده‌است تا جایی که معمولی در ادبیات ما همان شغل انبیاست و این مقام بسیار والایی است. این معلم می‌تواند استاد دانشگاه باشد می‌تواند خانواده ما باشد می‌تواند حتی یک دوست باشد به نظر اینجانب هرکسی که راه را به ما نشان دهد معلم ماست.

باعث افتخار من است که در طول مسیر زندگی خصوصاً در این دوره سه ساله کارشناسی ارشد در دانشگاه صنعتی شاهرود، معلمین خوبی داشته‌ام و از صمیم قلب از همه این بزرگواران تشکر می‌کنم. خصوصاً از دکتر محمدباقر نظری استاد دانشمندم که اگر راهنمایی‌ها و زحمات ایشان نبود هرگز نمی‌توانستم این رساله را بنویسم، از مادر، پدر و خانواده‌ام تشکر می‌کنم که معلمین زندگی من بوده‌اند. در ادامه از تمام عزیزان معلمین دوره قبل دانشگاه اساتید دانشگاهی و تمام دوستان و سرورانی که مرا در نگارش این رساله یاری کرده‌اند تشکر می‌کنم. در پایان سخت امیدوارم این معلمین و این دوره‌های تحصیلی باعث عمیق‌تر نگاه کردن به مسائل شود تا بتوان آن‌ها را به بهترین نحو حل کرد فرقی نمی‌کند مسئله مکانیکی یا یک مسئله زندگی و اجتماعی سخن را کوتاه کنم، خلاصه این طور نشود که ما همه شیران ولی شیر علم.

تعهدنامه

اینجانب **جوانشیر لطفی** دانشجوی دوره کارشناسی ارشد رشته مهندسی مکانیک - طراحی کاربردی دانشکده مهندسی مکانیک و مکاترونیک دانشگاه صنعتی شاهرود، نویسنده پایان نامه محاسبه ضرایب شدت تنش در یک محیط محدود اورتوتروپیک ترک دار تحت شوک گرمایی با در نظر گرفتن تئوری ترموالاستیسیته لرد شولمان و استفاده از روش المان محدود تحت راهنمایی دکتر محمدباقر نظری متعهد می شوم:

* تحقیقات در این پایان نامه توسط اینجانب انجام شده است.

* در استفاده از نتایج پژوهش های محققان دیگر به مرجع مورد استفاده استناد شده است.

* مطالب مندرج در پایان نامه تا کنون توسط خود یا فرد دیگری برای دریافت هیچگونه مدرک یا

امتیاز ارائه نشده است.

* کلیه حقوق معنوی این اثر متعلق به دانشگاه شاهرود می باشد و مقالات مستخرج با نام « دانشگاه

صنعتی شاهرود » و یا « Shahrood University of Technology » به چاپ خواهد رسید.

* در کلیه مراحل انجام این پایان نامه در مواردی که به حوزه اطلاعات شخصی افراد دسترسی یافته

یا از آن استفاده شده است، اصل رازداری، ضوابط و اصول اخلاقی انسانی رعایت شده است.

تاریخ :

امضای دانشجو

مالکیت نتایج و حق نشر

* کلیه حقوق معنوی این اثر و محصولات آن (مقالات مستخرج، کتاب، برنامه های رایانه ای، نرم

افزارها و ...) متعلق به دانشگاه صنعتی شاهرود می باشد.

* استفاده از اطلاعات و نتایج موجود در پایان نامه بدون ذکر منبع مجاز نمی باشد.

چکیده

در این پایان نامه، از روش المان محدود توسعه یافته (XFEM) برای مدل سازی ورق اورتوتروپیک محدودی شامل ترک استفاده شده که در آن وجه دارای ترک در معرض شوک حرارتی یا مکانیکی قرار گرفته است. معادلات حاکم بر مسئله در این رساله با سه تئوری ترموالاستیسیته غیرکوپل؛ کوپل و لردشلمان (هر تئوری در یک فصل) در حالت دینامیکی و به کمک روش نیومارک حل شده اند. در هر یک از این فصول برای رسیدن به مش بندی مطلوب تست همگرایی گرفته شده است. و ضرایب شدت تنش دینامیکی به روش انتگرال J بدست آمده اند. در ادامه نیز تغییر زاویه الیاف و تاثیر آن بر روی مقدار ضریب شدت تنش دینامیکی بررسی شده، و نشان داده شده است که با بالارفتن زاویه الیاف مقدار ضریب شدت تنش دینامیکی مودهای اول و دوم ($K1$ و $K2$) بیشتر می شود. همچنین در فصل پنجم (تحلیل با تئوری ترموالاستیسیته لردشلمان) با انجام تست استقلال از مسیر، مستقل از مسیر بودن روش انتگرال J نیز تحقیق و بررسی شده است. در انتها نیز با مقایسه نتایج حاصل از سه فصل چهارم، پنجم و ششم (ترموالاستیسیته غیرکوپل، ترموالاستیسیته کوپل و ترموالاستیسیته لردشلمان) این نتیجه حاصل شده است که مقدار ضریب شدت تنش دینامیکی مود اول ($K1$) در تئوری ترموالاستیسیته لردشلمان از نظر زمانی دیرتر از تئوری های ترموالاستیسیته کوپل و غیرکوپل پیشینه می شود.

واژه های کلیدی: کامپوزیت، اورتوتروپیک، روش المان محدود توسعه یافته، ضرایب شدت تنش

دینامیکی، تنش حرارتی، تنش مکانیکی، غنی سازی

چکیده

در این پایان‌نامه، از روش المان محدود توسعه یافته (XFEM) برای مدل‌سازی ورق اورتوتروپیک محدودی شامل ترک استفاده شده که در آن وجه دارای ترک در معرض شوک حرارتی یا مکانیکی قرار گرفته است. معادلات حاکم بر مسئله در این رساله با سه تئوری ترموالاستیسیته غیر کوپل؛ کوپل و لردشلمان (هر تئوری در یک فصل) در حالت دینامیکی و به کمک روش نیومارک حل شده‌اند. در هر یک از این فصول برای رسیدن به مش بندی مطلوب تست همگرایی گرفته شده است. و ضرایب شدت تنش دینامیکی به روش انتگرال J بدست آمده‌اند. در ادامه نیز تغییر زاویه الیاف و تاثیر آن بر روی مقدار ضریب شدت تنش دینامیکی بررسی شده، و نشان داده شده است که با بالارفتن زاویه الیاف مقدار ضریب شدت تنش دینامیکی مودهای اول و دوم ($K1$ و $K2$) بیشتر می‌شود. همچنین در فصل پنجم (تحلیل با تئوری ترموالاستیسیته کوپل) و ششم (تحلیل با تئوری ترموالاستیسیته لردشلمان) با انجام تست استقلال از مسیر، مستقل از مسیر بودن روش انتگرال J نیز تحقیق و بررسی شده است. در انتها نیز با مقایسه نتایج حاصل از سه فصل چهارم، پنجم و ششم (ترموالاستیسیته غیر کوپل، ترموالاستیسیته کوپل و ترموالاستیسیته لردشلمان) این نتیجه حاصل شده است که مقدار ضریب شدت تنش دینامیکی مود اول ($K1$) در تئوری ترموالاستیسیته لردشلمان از نظر زمانی دیرتر از تئوری‌های ترموالاستیسیته کوپل و غیر کوپل پیشینه می‌شود.

واژه‌های کلیدی: کامپوزیت، اورتوتروپیک، روش المان محدود توسعه یافته، ضرایب شدت تنش دینامیکی، تنش حرارتی، تنش مکانیکی، غنی سازی

فهرست مطالب

د	فهرست مطالب
ز	فهرست جدول‌ها
م	فهرست شکل‌ها
س	فهرست علامت‌ها
۱	فصل ۱: مفاهیم و کلیات
۲	۱-۱ مقدمه
۳	۲-۱ مروری بر تحقیقات انجام شده
۵	۳-۱ خلاصه‌ای از مباحث مطرح شده در این رساله
۶	۴-۱ مقدمه‌ای بر مواد کامپوزیتی
۶	۱-۴-۱ معرفی مواد کامپوزیتی
۹	۲-۴-۱ رفتار مکانیکی لمیناها:
۱۴	۳-۴-۱ اورتوتروپیک‌ها در فضای دو بعد
۱۹	فصل ۲: روش المان محدود توسعه یافته و انتگرال برهم‌کنش
۲۰	۱-۲ مقدمه‌ای بر روش المان محدود
۲۱	۱-۱-۲ تاریخچه روش المان محدود
۲۱	۲-۱-۲ روند حل مسئله در روش المان محدود
۳۰	۲-۲ روش المان محدود توسعه یافته
۳۰	۱-۲-۲ خلاصه‌ای از روش المان محدود توسعه یافته
۳۱	۲-۲-۲ افراز واحد المان‌های محدود غنی شده

۳-۲	مدل سازی ترک در روش المان محدود توسعه یافته	۳۳
۱-۳-۲	روابط بنیادی غنی سازی	۳۵
۲-۳-۲	روابط مدل سازی ترک در مواد اورتوتروپیک	۳۷
۴-۲	روش انتگرال برهم کنش	۴۴
۱-۴-۲	معرفی روش انتگرال برهم کنش	۴۴
۲-۴-۲	میدان های کمکی در روش انتگرال برهم کنش	۴۶
۳-۴-۲	فرمول بندی حل با انتگرال برهم کنش	۴۷
۴-۴-۲	استخراج ضرایب شدت تنش	۴۹
فصل ۳:	تحلیل دینامیکی	۵۱
۱-۳	مقدمه	۵۳
۲-۳	معادلات حاکم و گسسته سازی در حالت دینامیکی	۵۳
۱-۲-۳	تاثیر پارامتر زمان در معادلات حاکم	۵۳
۲-۲-۳	محاسبه ماتریس جرم برای انواع المان ها	۵۴
۳-۲-۳	حل مسئله دینامیکی	۵۵
۳-۳	انتگرال برهم کنش در حالت دینامیکی	۵۶
فصل ۴:	تحلیل و نتایج ورق اورتوتروپیک ترک دار تحت شوک حرارتی با تئوری غیر کوپل	۵۸
۱-۴	مقدمه	۵۹
۲-۴	معرفی معادلات حاکم و گسسته سازی	۵۹
۱-۲-۴	معادلات ناویر	۶۰
۲-۲-۴	معادله انرژی	۶۱
۳-۴	چیدمان درجات آزادی در برنامه رایانه ای	۷۲
۴-۴	حل مسائل عددی و تحلیل آن ها	۷۴

۷۴	۱-۴-۴ ترک لبه‌ای استاتیکی و صحت سنجی کد
۷۷	۲-۴-۴ ترک لبه‌ای برای ماده اورتوتروپیک در حالت دینامیکی
۸۰	۳-۴-۴ ترک لبه‌ای برای ماده اورتوتروپیک در حالت دینامیکی تحت بار حرارتی
۸۸	فصل ۵: تحلیل و نتایج ورق اورتوتروپیک ترک‌دار تحت شوک حرارتی با تئوری کوپل
۸۹	۱-۵ مقدمه
۸۹	۲-۵ معرفی معادلات حاکم و گسسته‌سازی
۹۸	۳-۵ چیدمان درجات آزادی در برنامه رایانه‌ای
۱۰۰	۴-۵ حل مثال عددی و تحلیل نتایج
۱۰۴	۲-۴-۵ تست استقلال از مسیر انتگرال برهم‌کنش
۱۰۶	فصل ۶: تحلیل و نتایج ورق اورتوتروپیک ترک‌دار تحت شوک حرارتی با تئوری لرد شلمان
۱۰۷	۱-۶ مقدمه
۱۰۷	۲-۶ معرفی معادلات حاکم و گسسته‌سازی
۱۱۰	۳-۶ چیدمان درجات آزادی در برنامه رایانه‌ای
۱۱۲	۴-۶ حل مثال عددی و تحلیل نتایج
۱۱۷	۲-۴-۶ تست استقلال از مسیر انتگرال برهم‌کنش
۱۱۷	۵-۶ توضیحات تکمیلی حول ترموالاستیسته لردشلمان و کوپل
۱۲۰	فصل ۷: نتیجه‌گیری کلی و پیشنهادات
۱۲۱	۱-۷ خلاصه نتیجه‌گیری
۱۲۱	۲-۷ پیشنهادات برای پژوهش‌های بعدی
۱۲۴	منابع و مراجع

فهرست جدول‌ها

- جدول (۱-۱) خلاصه ای از تعداد ضرایب مواد ۱۶
- جدول (۱-۴) خواص مکانیکی ماده ۷۴
- جدول (۲-۴) مقایسه نتایج با نتایج پسترناک ۷۵
- جدول (۳-۴) مقایسه روش‌ها با روش XFEM و BEM ۷۶

فهرست شکل‌ها

- شکل (۱-۱) زاویه ناهمسانگردی برای on axis و off axis ۱۸
- شکل (۱-۲) مش بندی صفحه مستطیلی با المانهای ۴ گرهای ۲۳
- شکل (۲-۲) نگاشت تبدیل یک ناحیه ۴ گر ای به یک مستطیل استاندارد ۲۴
- شکل (۳-۲) نمایش یک شبکه المان محدود توسعه یافته شامل ترک و گرهای غنی شده ۳۴
- شکل (۴-۲) صفحه دوبعدی اورتوتروپیک شامل ترک لبهای به همراه مختصاتهای قطبی و دکارتی محلی نوک ترک ۴۶
- شکل (۵-۲) تبدیل فرم کانتوری انتگرال J به فرم ناحیه‌ای ۴۸
- شکل (۱-۴) شرایط مرزی مختلف اعمال شده در حالت کلی ۶۳
- شکل (۲-۴) شرایط و هندسه مسئله ۱-۴-۴ ۷۶
- شکل (۳-۴) صفحه اورتوتروپیک دارای ترک لبهای تحت بار دینامیکی هندسه (الف) بارهای وارده و مش بندی صفحه (ب) ۷۸
- شکل (۴-۴) مقایسه نتایج حل به روش XFEM (حل ارائه شده) با حل به روش BEM (حل سانچز) در زمان بی بعد TOW ۷۹
- شکل (۵-۴) حل با زوایای مختلف الیاف ۸۰
- شکل (۶-۴) صفحه اورتوتروپیک ترک دار تحت بار حرارتی ۸۲
- شکل (۷-۴) تست همگرایی صفحه اورتوتروپیک ترکدار تحت بار حرارتی با توابع غنیسازی اورتوتروپیک و جدید ۸۳
- شکل (۸-۴) مقایسه حل نگارنده با حل حاجی محمدی ۸۴
- شکل (۹-۴) مقادیر $K1$ صفحه اورتوتروپیک ترکدار تحت بار حرارتی با روش ارائه شده در حالت Off axis ۸۵

- شکل ۴-۱۰) مقادیر K2 صفحه اورتوتروپیک ترکدار تحت بار حرارتی با روش ارائه شده در حالت Off axis ۸۵
- شکل ۴-۱۱) حل مسئله با چند dt ۸۶
- شکل ۵-۱) صفحه اورتوتروپیک ترک دار تحت بار حرارتی ۱۰۱
- شکل ۵-۲) تست همگرایی صفحه اورتوتروپیک ترکدار تحت بار حرارتی با توابع غنیسازی اورتوتروپیک و جدید ۱۰۲
- شکل ۵-۳) مقایسه حل کوپل و غیرکوپل ۱۰۲
- شکل ۵-۴) مقادیر K1 صفحه اورتوتروپیک ترکدار تحت بار حرارتی با روش ارائه شده در حالت Off axis ۱۰۳
- شکل ۵-۵) مقادیر K2 صفحه اورتوتروپیک ترکدار تحت بار حرارتی با روش ارائه شده در حالت Off axis ۱۰۴
- شکل ۵-۶) تست استقلال از مسیر ۱۰۵
- شکل ۶-۱) صفحه اورتوتروپیک ترک دار تحت بار حرارتی ۱۱۳
- شکل ۶-۲) تست همگرایی صفحه اورتوتروپیک ترکدار تحت بار حرارتی با توابع غنی سازی اورتوتروپیک و جدید با در نظر گرفتن ترموالاستیسیته لرد شلمان و $\tau_0 = 0.1$ ۱۱۴
- شکل ۶-۳) مقایسه حل کوپل و غیرکوپل با حل لردشلمان ۱۱۵
- شکل ۶-۴) مقادیر K1 صفحه اورتوتروپیک ترکدار تحت بار حرارتی با روش ارائه شده در حالت Off axis ۱۱۶
- شکل ۶-۵) مقادیر K2 صفحه اورتوتروپیک ترکدار تحت بار حرارتی با روش ارائه شده در حالت Off axis ۱۱۶
- شکل ۶-۶) تست استقلال از مسیر ۱۱۷

فهرست علامتها

a	طول ترک، (m)
\mathbf{a}_n	بردار مجهولات گره‌ای
\mathbf{b}_n	بردار مجهولات گره‌ای
\mathbf{B}^U	ماتریس مشتق توابع شکل جابجایی
\mathbf{B}^T	ماتریس مشتق توابع شکل دمایی
[C]	ماتریس میرایی
N	مرتبه تانسور
M	تعداد ابعاد فضا
\mathbf{C}_{nm}	بردار مجهولات گره‌ای
\mathbf{C}_{ijkl}	تانسور سفتی
E	مدول یانگ، (N/m^2)
\mathbf{F}	بردار نیروهای گره‌ای، (N)
F_m	توابع غنی‌سازی نوک ترک، ($\text{m}^{0.5}$)
\mathbf{f}	بردار نیروی حجمی، (N/m^3)
G	مدول برشی
H	ارتفاع باریکه، (m)
$H_{(z)}$	تابع پله‌ای یکه
J	انتگرال J ، (N/m)
J^{aux}	انتگرال J برای میدان کمکی
[K]	ماتریس سختی

ضریب شدت تنش مود یک، ($N.m^{-1.5}$)	K_I
ضریب شدت تنش مود دو، ($N.m^{-1.5}$)	K_{II}
طول مشخصه، (m)	l
ماتریس جرم، (kg)	$[M]$
انتگرال برهم‌کنش، (N/m)	M
بردار نرمال بر مسیر انتگرال‌گیری در انتگرال J	\mathbf{m}_j
توابع شکل استاندارد	N_I
بردار نرمال بر مسیر انتگرال‌گیری در انتگرال J	\mathbf{n}_j
تابع وزنی برای محاسبه انتگرال برهم‌کنش	q
مقادیر گره‌ای مجهول	q_I
ثابت جهانی گازها، (J/K.mol)	R
شعاع ناحیه انتگرال‌گیری، (m)	r
مولفه دستگاه قطبی، (m)	r_n
گره‌های بریده نشده توسط ترک	S_A
گره‌های غنی‌سازی شده نوک ترک	S_C
گره‌های غنی‌سازی شده گام در مسیر ترک	S_H
زمان، (s)	t
بردار جابجایی	\mathbf{u}
بردار سرعت	$\dot{\mathbf{u}}$
بردار شتاب	$\ddot{\mathbf{u}}$
درجات آزادی استاندارد گره‌ای	U_I
تعداد درایه‌های ماتریس	A
عرض نمونه، (m)	W

چگالی انرژی کرنشی، (N/m^2)	w
چگالی انرژی کرنشی برهم کنش، (N/m^2)	w^{int}
مولفه افقی دستگاه مختصات دکارتی	x_1
مولفه عمودی دستگاه مختصات دکارتی	x_2
دما، (K)	T
دمای اولیه، (K)	T_0

علامت های یونانی

تنسور تنش، (N/m^2)	σ
چگالی، (kg/m^3)	ρ
ثابت لامه، (N/m^2)	μ
تنسور کرنش	ε
ضریب وابستگی	γ
ثابت لامه، (N/m^2)	λ
تابع دلتای کرونیگر	δ
نسبت پواسون	ν
تابع شکل غنی سازی شده برای المان های نوک ترک	ψ
تابع شکل غنی سازی شده برای المان های مسیر ترک	φ_I
توابع شکل جابجایی	φ^U
توابع شکل دما	φ^T
مسیر انتگرال گیری در انتگرال J	Γ_s
ضریب کوپل	κ

κ تابع دلتای دیراک

β مدول تنش دما

بالانویس‌ها

aux مخفف واژه auxiliary ، مربوط به میدان کمکی

int مخفف واژه interaction ، مربوط به برهم کنش

s مربوط به حالت برهم‌نهی

زیرنویس‌ها

0 مربوط به حالت اولیه

l شماره‌نده، مربوط به تابع شکل ، شماره‌نده مود ضریب شدت تنش

(*z*) مربوط به تابع *z*

m شماره‌نده، مربوط به تابع غنی‌سازی نوک ترک

n شماره‌نده، مربوط به بردار مجهولات گره‌ای

nm شماره‌نده، مربوط به بردار مجهولات گره‌ای

s مربوط به سطوح مرزی

tip مربوط به نوک ترک

j شماره‌نده، مربوط به بردار نرمال بیرونی

C نامگذاری برای موقعیت المان‌های نوک

H نامگذاری برای موقعیت المان‌های مسیر

A نامگذاری موقعیت المان‌های شکل

فصل ۱: مفاهیم و کلیات

(۱) مقدمه

(۲) مروری بر تحقیقات انجام شده

(۳) خلاصه‌ای از مباحث مطرح شده در این رساله

(۴) مقدمه‌ای بر مواد کامپوزیتی

یکی از مهمترین ویژگی‌های مواد کامپوزیتی^۱ نسبت بالای استحکام به وزن آن‌ها نسبت به سایر مواد مهندسی متعارف است؛ به عبارت بهتر یک ماده کامپوزیتی استحکام بالاتری نسبت به نمونه هم وزن خود از سایر جنس‌ها از جمله فلز دارد که باعث شده تا کاربردهای مهندسی و صنعتی این مواد در سال‌های اخیر توسعه یابد. با توجه به مقاومت مواد کامپوزیتی، این مواد معمولاً به صورت لایه‌های نازک ساخته می‌شوند که رفتاری اورتوتروپیک دارند. رفتار این لایه‌ها به صورت ورق‌های نازک و پوسته‌ها بسیار کارآمد می‌باشند. ایجاد ترک یکی از رایج‌ترین آسیب‌ها در این مواد است که در شرایط مختلف رخ می‌دهد، ترک‌ها در اثر عواملی چون وجود ضعف اولیه در مقاومت مواد تشکیل‌دهنده آن، ایجاد خستگی و یا وجود نقص در هنگام ساخت حاصل می‌شوند. وجود ترک در سازه‌ها باعث گسیختگی سازه‌ها در بارهای کمتر از مقدار مورد انتظار می‌شود. از ویژگی‌ها و مشکلات تحلیل ترک خوردگی این مواد، ایزوتروپیک نبودن آن است که سبب می‌شود تا ویژگی‌های مادی آن در زوایای مختلف متفاوت گردد [۱]

حضور هم‌زمان ترک و گرما در سازه‌ها خصوصاً سازه‌های کامپوزیتی به دلیل اثر بالا در عمر سازه در صنعت اهمیت بسیاری دارند. تحلیل مسائل ترک با حضور گرما معمولاً به هر دو روش عددی و تحلیلی انجام می‌شود^۲ که شامل سه بخش اصلی تئوری مکانیک شکست (مطالعه رشد ترک)، تئوری کامپوزیت-ها و تئوری ترموالاستیسیته می‌باشد؛ می‌توان تئوری مکانیک شکست و کامپوزیت‌ها را زیر مجموعه تئوری ترموالاستیسیته قرارداد؛ در نتیجه می‌توان گفت تئوری حاکم بر اینگونه مسائل تئوری ترموالاستیسیته می‌باشد. تئوری ترموالاستیسیته، رفتار اجسام الاستیک تحت اثر میدان‌های دمای غیر یکنواخت را توصیف می‌کند. و در حقیقت تعمیمی از تئوری الاستیسیته می‌باشد. در چند دهه اخیر

^۱ مواد مرکب

^۲ لازم به ذکر است در این رساله تحلیل با روش عددی رایج XFEM صورت گرفته است که در ادامه توضیح داده می‌شود.

مطالعات بسیاری درباره حضور گرما در الاستیسیته (ترموالاستیسیته) انجام شده است؛ که این مطالعات در ابتدا سبب به وجود آمدن تئوری کلاسیک ترموالاستیسیته شد؛ در این تئوری معادلات حرکت و یا تعادل شامل پارامتر دما هستند؛ اما معادلات انتقال گرما مستقل از میدان کرنش است. پیشرفت بعدی معرفی ترموالاستیسیته کوپل توسط بیوت در سال ۱۹۵۶ بود. این تئوری شامل دو معادله دیفرانسیل جزئی کوپل شده در بردار جا به جایی و میدان دما است که یکی از آن‌ها هایپربولیک و دیگری پارابولیک است [۱].

تئوری ترموالاستیسیته دینامیکی براساس معادلات هدایت گرمایی فوریه تئوری کلاسیک ترموالاستیسیته دینامیکی شناخته می‌شود؛ در تئوری کلاسیک فرض می‌شود که اغتشاشات گرمایی با سرعت‌های نا محدود در محیط انتشار می‌یابند.

برای تئوری ترموالاستیسیته دینامیکی در حالت کوپل و غیر کوپل^۱ راه حل‌های زیادی هم به صورت تحلیلی و هم به صورت عددی پیشنهاد شده است؛ منتها همانطور که در بخش بعد به آن اشاره خواهد شد. در حضور ترک روش المان محدود توسعه یافته از دقت بیشتری برای شبیه‌سازی ناپیوستگی سطح ترک و تکینی نوک آن برخوردار است.

۲-۱ مروری بر تحقیقات انجام شده

همانطور که پیشتر گفته شد طبیعت مواد، فرآیند ساخت و ... باعث می‌شود اغلب سازه‌ها و قطعات ماشین‌ها دارای خصوصیات غیرهمسانگرد باشند. بطوریکه معمولاً فرض می‌شود ورق‌های فلزی علاوه بر صفحات کامپوزیتی دارای خصوصیات اورتوتروپیک هستند. از طرفی، وجود عیوب و ترک باعث کاهش

^۱ - در حالت کوپل درجات آزادی جا به جایی (U,V) با درجه آزادی دما (t) جفت هستند. یعنی با اعمال شوک حرارتی یا هرگونه تغییر دما جا به جایی گره‌ها نیز تغییر می‌کنند و بالعکس اما در حالت غیر کوپل یا غیر جفت شده درجات آزادی جا به جایی و دما مستقل از هم هستند. تفاوت معادلات کوپل و غیر کوپل در ترم کوپل است که در فصول آتی به طور کامل درباره آن بحث خواهد شد.

ظرفیت باربری یا عمر مورد انتظار سازه و ماشین می‌شود. مطالعه تحلیلی ترک در مواد اورتوتروپیک تحت بار مکانیکی توسط محققانی از جمله موشخلیشویلی [۱]، لخنیتسکی [۲]، سی و همکاران [۳] ارائه شده است. نوبایل و کارلونی [۴] با حل تحلیلی مساله مقدار مرزی در مواد ناهمسانگرد به تجزیه و تحلیل یک ترک ایستا تحت بارگذاری دینامیکی پرداختند. علی‌آبادی و همکاران، از روش المان مرزی برای انتشار ترک و تجزیه و تحلیل دینامیکی ترک در مواد اورتوتروپیک استفاده کردند [۵]. سانچز و همکارانش نیز با استفاده از روش المان مرزی، ترک در مواد جامد الاستیک دوبعدی، همگن و ناهمسانگرد که تحت بار دینامیکی قرار دارد را بررسی کردند [۶].

روش المان محدود توسعه یافته با توسعه دادن محلی^۱ تقریب در مدل المان محدود حول ترک، کاستی این روش را برطرف ساخته است. این روش اجازه می‌دهد ناپیوستگی سطح ترک و تکینی نوک آن شبیه‌سازی شود، بدون اینکه صریحا ترک در المان‌بندی لحاظ شود. در سال ۱۹۹۸ بلیچکو و بلک برای اولین بار از روش المان محدود توسعه یافته در مسایل مکانیک شکست استفاده کردند [۷]. با استفاده از این روش مدل‌سازی رشد ترک می‌تواند بدون شبکه‌بندی مجدد صورت پذیرد. در این روش یکسری توابع خاص در قالب پیکره‌بندی واحد به تقریب المان محدود اضافه می‌گردد. دالبو جزئیات مربوط به تعیین گره‌های اطراف ترک و غنی‌سازی آن‌ها را بیان کرد و روابط پایه جهت اضافه کردن توابع پله‌ای واحد و تکین را برای مدل‌های ساده با المان‌های چهارگره‌ای ارائه کرد [۸]. توسعه توابع جدید غنی‌سازی برای مواد اورتوتروپیک و کاربرد آن در روش المان محدود توسعه یافته، توسط اسدپور و همکاران گزارش شد [۹]. تورق در مواد مرکب چندلایه در اثر بار مکانیکی نیز توسط اثنی‌عشری و محمدی [۱۰] گزارش شده است. معتمدی و محمدی ضرایب شدت تنش را برای ترک ساکنی تحت بار دینامیکی [۱۱] و رشد ترک دینامیکی را مطالعه کردند [۱۲ و ۱۳]. حسینی و همکاران [۱۴] و

^۱ Local

همچنین گلی و همکاران [۱۵] با استفاده از روش المان محدود توسعه یافته به محاسبه ضرایب شدت تنش و بررسی رشد ترک در مواد مرکب تابعی اورتوتروپیک تحت بار حرارتی پایا پرداخته‌اند. بایسته و همکاران نیز با روش هم‌هندسه، ضرایب شدت تنش برای یک ترک ساکن در محیط محدود اورتوتروپیک تحت بار گرمایی پایا را گزارش کرده‌اند [۱۶]. اخیراً بوهالا و همکاران [۱۷] انتشار ترک در مواد مونوکلینیک در شرایط مرزی متفاوت را با استفاده از روش المان محدود توسعه یافته مورد بررسی قرار دادند و ضرایب شدت تنش در این حالت را گزارش کرده‌اند.

۳-۱ خلاصه‌ای از مباحث مطرح شده در این پایان‌نامه

در این رساله، برای یک ورق اورتوتروپیک در حالت دوبعدی تنش صفحه‌ای، ضرایب شدت تنش دینامیکی تحت بارگذاری حرارتی با استفاده از انتگرال مستقل از مسیر برهم‌کنش (که در مکانیک شکست به آن انتگرال J گفته می‌شود) محاسبه شده است. همچنین مجموعه‌ای جدید از توابع غنی‌سازی برای مدل‌سازی ترک برای بارگذاری حرارتی و مکانیکی در مواد اورتوتروپیک با استفاده از روش عددی المان محدود توسعه یافته^۱ ارائه گردیده است. در این رساله مسائل با سه تئوری ترموالاستیسیته غیرکوپل؛ کوپل (کلاسیک) و لردشلمان حل شده‌اند. همچنین در این رساله ابتدا تمام کد نویسی‌ها و تحلیل‌ها بر اساس تئوری کلاسیک غیرکوپل و سپس کوپل جلو رفته و در نهایت اثر لردشلمان در مسئله اعمال و تحلیل می‌شود. در انتها نیز تاثیر تغییر زاویه الیاف ورق اورتوتروپیک در مقدار ضرایب شدت تنش بررسی خواهد شد.

^۱ Extended Finite Element (XFEM)

۴-۱ مقدمه‌ای بر مواد کامپوزیتی

در این بخش از رساله مطالبی به اختصار درباره مواد کامپوزیتی ارائه می‌گردد. می‌شود

۱-۴-۱ معرفی مواد کامپوزیتی

کامپوزیت‌ها یا مواد مرکب به موادی اطلاق می‌شود که در ساختار آن از بیش از یک جزء استفاده شده باشد. معمولاً یک ماده کامپوزیت را به صورت یک مخلوط فیزیکی در مقیاس میکروسکوپی از دو یا چند ماده مختلف تعریف می‌کنند (عموماً یک ماده نقش ماتریس یا پایه^۱ و یک یا چند ماده نقش الیاف یا تقویت‌کننده را بازی می‌کنند^۲)، که این مواد خصوصیات فیزیکی و شیمیایی خود را حفظ کرده و مرز مشخصی را با یکدیگر تشکیل می‌دهند [۱۸ و ۲۰]. این مخلوط در مجموع و با توجه به برخی معیارها خواص بهتری از هر یک از اجزای تشکیل‌دهنده خود را دارا می‌باشد؛ که در تک تک مواد مشارکت‌کننده به صورت مجزا در همه حالت‌ها وجود ندارد. اما سوالی که در این قسمت ممکن است پیش بیاید این است که تفاوت کامپوزیت با آلیاژ چیست؟ پاسخ این سوال را اینگونه می‌توان داد: فرض می‌کنیم کامپوزیت C از مخلوط فیزیکی و میکروسکوپی ماتریس A و الیاف B (برای تقویت آن) تشکیل شده باشد، کامپوزیت C خواص جدیدی دارد و درحقیقت یک ماده کاملاً جدید است. اما آلیاژ یک ماده با خواص جدید نیست بلکه همان ماده غالب با بهبود یک یا چندتا از خواص آن است. برای روشن شدن بهتر تفاوت کامپوزیت و آلیاژ برای هر کدام مثالی واقعی خواهیم زد. بتن ماده ایست با استحکام فشاری بالا اما استحکام کششی پایین، از طرف دیگر میل‌گرد فولادی استحکام کششی قابل توجهی دارد از این سو بتن آرمه؛ که از ترکیب فیزیکی بتن و میل‌گرد فولادی^۳ ساخته شده است دارای

^۱ ماده‌ای که کثر حجمی بیشتری دارد

^۲ لازم به ذکر است نحوه چیدمان الیافها و تعداد آنها تاثیر به سزایی در خواص کامپوزیت دارد که خارج از بحث این رساله است.

^۳ تحت فرآیند فیزیکی آرماتوربندی

خواص کششی و فشاری قابل توجهی است و یک ماده کاملاً جدید است^۱. اما در آلیاژها مثلاً انواع آلیاژ فولاد خواص اصلی فولاد ثابت مانده و ماده جدیدتری تولید نمی‌شود فقط بسته به ماده اضافه شده (مثلاً کربن یا...) یکسری خواص آلیاژها تغییر می‌کند.^۲ پس به طور کلی می‌توان گفت در کامپوزیت ماده جدیدی تولید می‌شود در صورتی که در آلیاژها چنین نیست.

استفاده از این مواد در طول تاریخ نیز مرسوم بوده است. از اولین کامپوزیت‌ها ساخت بشر می‌توان به کاه‌گل و آجرهای گلی در زمان باستان اشاره کرد. در این مورد کاه نقش تقویت کننده و گل نقش زمینه یا ماتریس را دارد. در حقیقت با اضافه کردن کاه به گل ماده جدید کاه‌گل در برابر باد و طوفان مقاوم تر از ماده زمینه یعنی کاه است.

همانطور که پیشتر اشاره شد در کامپوزیت‌ها عموماً دو ناحیه متمایز وجود دارد که شامل ماتریس یا فاز پیوسته^۳ (زمینه) و الیاف یا فاز ناپیوسته (تقویت کننده) می‌باشد. در یک کامپوزیت به طور کلی الیاف، عضو باربر اصلی سازه هستند (مثل میل‌گرد در مثال بتن آرمه) در حالیکه ماتریس آن‌ها را در محل و آرایش مطلوب نگاه داشته و بعنوان یک محیط منتقل کننده بار بین الیاف عمل می‌کند (مانند بتن در مثال بتن آرمه)، به علاوه آن‌ها را از صدمات محیطی در اثر بالا رفتن دما و رطوبت حفظ می‌کند. کامپوزیت‌ها دارای مزیت‌هایی نسبت به سایر مواد می‌باشند که از آن جمله می‌توان بالا بودن نسبت مقاومت به وزن آن‌ها (حتی تا ۱۵ برابر برخی از فولادها)، مقاومت بالا نسبت به خوردگی، وجود روش‌های مختلف ساخت (از جمله دستی و...) و امکان تولید اشکال پیچیده و متنوع را نام برد. همین مزیت‌ها دلیل افزایش کاربرد آن‌ها در صنعت شده است [۱۸ و ۲۰].

به طور کلی کامپوزیت‌ها را می‌توان به دو دسته تقسیم کرد.

^۱ در این کامپوزیت بتن که کسر حجمی بیشتری دارد ماتریس کامپوزیت است و میل‌گرد فولادی که برای تقویت بتن استفاده شده است الیاف کامپوزیت می‌باشد.

۱. کامپوزیت های ذره‌ای: به کامپوزیت‌هایی که نسبت طول به قطر آنها تقریباً نزدیک یک است کامپوزیت‌های ذره‌ای می‌گویند. خواص مکانیکی این نوع کامپوزیت ها به جهت الیاف بستگی ندارد. و همچنین مدول الاستیسیته این کامپوزیت‌ها در مقایسه با نوع دوم بالاتر است.

۲. کامپوزیت های لیفی: در این کامپوزیت‌ها خواص مکانیکی با توجه به زاویه الیاف قابل کنترل است [۲۰].

در مطالعه کامپوزیت‌ها به طور معمول ابتدا رفتار کامپوزیت‌های تک لایه (لمینا^۱) بررسی شده و سپس به چندلایه‌ها (لمینت^۲) تعمیم داده می‌شود. قبل از آن لازم است چند تعریف بنیادی در علم کامپوزیت را مرور کنیم.

۱-۴-۱-۱ مواد ایزوتروپیک^۳ (همسانگرد)

مواد ایزوتروپیک موادی هستند که خواص مکانیکی و آزمایشگاهی آنها مانند مدول الاستیسیته؛ ضریب پواسون و مدول برشی در تمام جهات یکسان است. به عبارت بهتر خواص مکانیکی و آزمایشگاهی آنها وابسته به مختصات نیست به طور مثال ماده معلوم A یک ماده ایزوتروپیک است اگر و تنها اگر خواص مکانیکی و آزمایشگاهی آن در تمام جهات مختصات دکارتی^۴ x,y,z یکی باشد یعنی بتوانیم رابطه (۱-۱) را برای ماده A بنویسیم^۵.

$$(E, G, \nu)_x = (E, G, \nu)_y = (E, G, \nu)_z \quad (1-1)$$

^۱ Lamina

^۲ Laminate

^۳ Isotropic materials

^۴ لازم به ذکر است که تنها مختصات استفاده شده در این رساله مختصات دکارتی است که محورهای XYZ برهم عمودند.

^۵ توجه شود که هیچکدام از خواص مواد در این تحقیق تابع زمان نمی‌باشند.

۲-۱-۴-۱ مواد غیر ایزوتروپیک^۱ (ناهمسانگرد)

مواد غیر ایزوتروپیک یا ناهمسانگرد به موادی گفته می‌شود که برخلاف مواد ایزوتروپیک خواص مکانیکی و آزمایشگاهی آن‌ها مانند مدول الاستیسیته؛ ضریب پواسون و مدول برشی در تمام جهات یکسان نیست. به عبارت بهتر خواص مکانیکی و آزمایشگاهی آن‌ها وابسته به مختصات است. به طور مثال اگر ماده B یک ماده ناهمسانگرد باشد نمی‌توان رابطه (۱-۱) را برای آن نوشت.

۳-۱-۴-۱ مواد همگن^۲

به موادی همگن گفته می‌شود که خواص آن‌ها در تمام نقاط آن ماده یکی باشد.

۴-۱-۴-۱ مواد غیر همگن^۳

این مواد نقطه مقابل مواد همگن هستند. یعنی خواص آن‌ها در تمام نقاط ماده با یکدیگر متفاوت است.

باید توجه داشت که همگن بودن یا نبودن مواد ارتباطی به ایزوتروپ بودن یا نبودن آن‌ها ندارد. درحقیقت در ایزوتروپیک خواص در جهات و در همگن خواص در نقاط اهمیت دارند.

۲-۴-۱ رفتار مکانیکی لمیناها:

به طور کلی قانون هوک را می‌توان به صورت رابطه (۲-۱) نوشت

^۱ Non-Isotropic materials

^۲ Homogenous

^۳Non- Homogenous

$$\sigma_{ij} = C_{ijkl}\varepsilon_{kl} \quad , \quad i, j = 1, 2, \dots, 6 \quad (2-1)$$

C_{ijkl} در این رابطه تانسور سفتی^۱ نام دارد که خواص ماده را نشان می دهد. σ_{ij} و ε_{kl} نیز به ترتیب تانسورهای تنش و کرنش می باشند. همانطور که مشخص است C_{ijkl} یک تانسور مرتبه ۴ و σ_{ij} و ε_{kl} تانسورهای مرتبه ۲ می باشند. برای بدست آوردن تعداد درایه های این تانسورها می توان از رابطه زیر استفاده کرد.

$$A = M^N \quad (3-1)$$

در این رابطه A تعداد درایه، M تعداد ابعاد فضا و N مرتبه تانسور مورد نظر می باشد. بنابراین در حالت کلی یعنی فضای سه بعد یعنی $M=3$ برای تانسورهای سفتی، تنش و کرنش تعداد درایه ها به ترتیب برابر ۸۱، ۹ و ۹ می باشد [۱۹].

رابطه (۲-۱) را می توان با استفاده از نوشتار ویت^۲ ساده تر و به صورت شبه برداری زیر بازنویسی کرد.

$$\sigma_i = C_{ij}\varepsilon_j \quad , \quad i, j = 1, 2, \dots, 6 \quad (4-1)$$

رابطه فوق درحقیقت حالت شبه برداری رابطه اصلی هوک (رابطه (۲-۱)) می باشد که در آن C_{ij} یک ماتریس 6×6 و متقارن است بنابراین در کلی ترین حالت دارای ۲۱ عضو مستقل می باشد (رابطه (۱-۵)). همچنین σ_i و ε_j به ترتیب بردارهایی با ابعاد 1×6 می باشند [۲۰].

^۱ Stiffness Matrix

^۲ Voigt notation

$$C_{ij} = \begin{bmatrix} c_{11} & c_{12} & c_{13} & c_{14} & c_{15} & c_{16} \\ & c_{22} & c_{23} & c_{24} & c_{25} & c_{26} \\ & & c_{33} & c_{34} & c_{35} & c_{36} \\ & & & c_{44} & c_{45} & c_{46} \\ & & & & c_{55} & c_{56} \\ & & & & & c_{66} \end{bmatrix} \quad (5-1)$$

SYM

این ماتریس برای مواد غیر ایزوتروپیک، بدون داشتن هیچ صفحه تقارن به همین شکل است (کلی‌ترین حالت ممکن). این مواد با نام تری‌کلینیک^۱ مشهور هستند. با توجه به آن که یک جسم دارای یک یا چند صفحه تقارن باشد ضرایب سفتی را می‌توان ساده‌تر کرد. اگر خصوصیات مواد دارای یک صفحه تقارن باشد، این مواد مونوکلینیک^۲ نامیده می‌شوند. به عنوان مثال اگر دارای صفحه تقارن $Z = 0$ باشد، ماتریس سفتی به صورت رابطه (۶-۱) است [۲۰]:

$$C_{ij} = \begin{bmatrix} c_{11} & c_{12} & c_{13} & 0 & 0 & c_{16} \\ & c_{22} & c_{23} & 0 & 0 & c_{26} \\ & & c_{33} & 0 & 0 & c_{36} \\ & & & c_{44} & c_{45} & 0 \\ & & & & c_{55} & 0 \\ & & & & & c_{66} \end{bmatrix} \quad (6-1)$$

SYM

اگر ماده نسبت به دو صفحه تقارن داشته باشد حتماً تقارن نسبت به صفحه سوم نیز وجود خواهد داشت، موادی که دارای این خاصیت باشد اورتوتروپیک^۳ نام دارند [۲۰]. در این حالت ماتریس سفتی به صورت رابطه (۷-۱) خلاصه می‌شود [۲۰]:

^۱Triclinic

^۲Monoclinic

^۳ ماده استفاده شده در این رساله -orthotropic-

$$C_{ij} = \begin{bmatrix} c_{11} & c_{12} & c_{13} & 0 & 0 & 0 \\ & c_{22} & c_{23} & 0 & 0 & 0 \\ & & c_{33} & 0 & 0 & 0 \\ & & & c_{44} & 0 & 0 \\ & SYM & & & c_{55} & 0 \\ & & & & & c_{66} \end{bmatrix} \quad (7-1)$$

لازم به ذکر است که با توجه به رابطه فوق در مواد اورتوتروپیک تنش های نرمال σ_1 ، σ_2 و σ_3 هیچ ارتباطی با کرنش های برشی γ_{12} ، γ_{23} و γ_{13} ندارند درست برخلاف مواد تری کلینیک که این مولفه ها به هم مرتبط هستند. همچنین هیچ ارتباطی بین تنش های برشی و کرنش های نرمال و همچنین بین تنش های برشی و صفحات کرنشی در صفحات مختلف وجود ندارد. توجه شود که ماده اورتوتروپیک مورد بررسی در این رساله همگن است.

اما حالتی بین اورتوتروپیک و ایزوتروپیک (که پیشتر بیان شده بود) وجود دارد که به آن ایزوتروپیک عرضی می گویند. ایزوتروپیک عرضی موادی هستند که در هر نقطه از آن ها یک صفحه وجود دارد که خواص مکانیکی آن در تمام جهات مساوی باشد. مثلا اگر صفحه ایزوتروپیک صفحه ۱-۲ باشد، آن گاه [۲۰]:

$$C_{ij} = \begin{bmatrix} c_{11} & c_{12} & c_{13} & 0 & 0 & 0 \\ & c_{22} & c_{13} & 0 & 0 & 0 \\ & & c_{33} & 0 & 0 & 0 \\ & & & c_{44} & 0 & 0 \\ & SYM & & & c_{44} & 0 \\ & & & & & \frac{c_{11} - c_{22}}{2} \end{bmatrix} \quad (8-1)$$

اگر تعداد صفحات تقارن به تعداد نامحدودی برسد، تعداد ضرایب غیر وابسته به دو عدد تقلیل می یابد، این ماده ایزوتروپیک نامیده می شود که در بخش ۱-۴-۱-۱ درباره آن توضیح داده شد. ماتریس سفیدی در این حالت به صورت زیر می باشد.

$$C_{ij} = \begin{bmatrix} c_{11} & c_{12} & c_{12} & 0 & 0 & 0 \\ & c_{11} & c_{12} & 0 & 0 & 0 \\ & & c_{12} & 0 & 0 & 0 \\ & & & \frac{c_{11}-c_{12}}{2} & 0 & 0 \\ & SYM & & & \frac{c_{11}-c_{12}}{2} & 0 \\ & & & & & \frac{c_{11}-c_{12}}{2} \end{bmatrix} \quad (9-1)$$

با توجه به اینکه این رساله درباره مواد اورتوتروپیک می‌باشد. از این پس تنها خواص و نکات مربوط به مواد اورتوتروپیک ذکر می‌شود.

با معکوس گرفتن از ماتریس سفتی ماتریس نرمی^۱ بدست می‌آید. به عبارت بهتر ماتریس نرمی رابطه بین کرنش با تنش را مشخص می‌کند این در صورتی است که ماتریس سفتی (همانطور که نشان داده‌شد) رابطه بین تنش با کرنش را مشخص می‌کند. به عنوان مثال ماتریس نرمی برای ماده اورتوتروپیک به صورت زیر است:

$$S_{ij} = \begin{bmatrix} \frac{1}{E_1} & \frac{-\nu_{12}}{E_1} & \frac{-\nu_{13}}{E_1} & 0 & 0 & 0 \\ \frac{-\nu_{21}}{E_2} & \frac{1}{E_2} & \frac{-\nu_{23}}{E_2} & 0 & 0 & 0 \\ \frac{-\nu_{31}}{E_3} & \frac{-\nu_{32}}{E_3} & \frac{1}{E_3} & 0 & 0 & 0 \\ 0 & 0 & 0 & \frac{1}{G_{23}} & 0 & 0 \\ 0 & 0 & 0 & 0 & \frac{1}{G_{13}} & 0 \\ 0 & 0 & 0 & 0 & 0 & \frac{1}{G_{12}} \end{bmatrix} \quad (10-1)$$

^۱ Compliance

E_3, E_2, E_1 به ترتیب مدول یانگ در مختصات جهانی^۱ ۱، ۲ و ۳ می باشند [۲۰].

رابطه (۱۱-۱) که معکوس رابطه کلی هوک (رابطه (۲-۱)) می باشد به رابطه کرنش تنش معروف است. لازم به ذکر است به علت ساده تر بودن درایه ها در ماتریس نرمی در این پایان نامه بیشتر از رابطه کرنش تنش استفاده شده است [۱۸ و ۲۰].

$$\varepsilon_{ij} = S_{ijkl}\sigma_{kl} \quad , \quad i, j = 1, 2, \dots, 6 \quad (11-1)$$

مشابه توضیحی که پیشتر برای معادله (۲-۱) ذکر شد می توان معادله بالا را به صورت شبه برداری زیر نوشت [۲۰].

$$\varepsilon_i = S_{ij}\sigma_j \quad , \quad i, j = 1, 2, 3 \dots, 6 \quad (12-1)$$

۱-۴-۳ اورتوتروپیک ها در فضای دو بعد^۲

همانطور که در بخش قبل نشان داده شد در حالت سه بعدی^۳ تحلیل کامپوزیت ها دشوار و حجیم می باشد. از این رو همواره به دنبال ساده کردن مسئله و تبدیل آن به حالت دو بعدی هستیم. در این رساله نیز تحلیل اورتوتروپیک به صورت دوبعدی انجام شده است. به طور کلی برای تبدیل یک مسئله سه بعدی به دو بعدی می توان یکی از سه فرض زیر را به کار برد.

- تقارن محوری^۴: این فرض تنها برای هندسه های متقارن مثل استوانه کاربرد دارد و با اعمال این فرض تمامی مشتقات نسبت به محور θ صفر و مسئله به یک مسئله دو بعدی تبدیل می شود.

^۱ Global

^۲ 2D

^۳ 3D

^۴ Axisimetric

• کرنش صفحه‌ای^۱: در حالت کرنش صفحه‌ای مولفه کرنش در راستای ضخامت صفر و مسئله به مسئله‌ای دو بعدی تبدیل می‌شود. در صورتی می‌توانیم شرط کرنش صفحه‌ای را برای مسئله اعمال کنیم که سازه مورد تحلیل ما طویل و بار اعمالی در راستای ضخامت باشد. توجه شود وجود هر دو شرط برای فرض کرنش صفحه‌ای الزامی است.

• تنش صفحه‌ای^۲: در حالت تنش صفحه‌ای مولفه تنش در راستای ضخامت صفر و مسئله به مسئله‌ای دو بعدی تبدیل می‌شود. در صورتی می‌توانیم شرط تنش صفحه‌ای را برای مسئله اعمال کنیم که هم هندسه و هم بارگذاری صفحه‌ای باشد. توجه شود وجود هر دو شرط برای فرض تنش صفحه‌ای الزامی است [۲۱].

با توجه به هندسه و نوع بارگذاری مسئله مورد نظر این رساله فرض تنش صفحه‌ای برای ساده سازی مسئله و تبدیل آن به حالت دوبعدی مناسب‌ترین گزینه است. در صورت استفاده از فرض تنش صفحه‌ای معادله تنش کرنش (رابطه (۱۲-۱)) به صورت زیر بازنویسی می‌شود.^۳

$$\begin{pmatrix} \varepsilon_1 \\ \varepsilon_2 \\ \varepsilon_{12} \end{pmatrix} = \begin{vmatrix} S_{11} & S_{12} & S_{16} \\ S_{21} & S_{22} & S_{26} \\ S_{16} & S_{26} & S_{66} \end{vmatrix} \times \begin{pmatrix} \sigma_1 \\ \sigma_2 \\ \sigma_{12} \end{pmatrix} \quad (13-1)$$

و داریم

$$S_{11} = \frac{1}{E_1}, S_{22} = \frac{1}{E_2}, S_{66} = \frac{1}{G_{12}}, S_{12} = -\frac{\nu_{12}}{E_1} = -\frac{\nu_{21}}{E_2}, S_{16} = 0, S_{26} = 0 \quad (14-1)$$

همانطور که از روابط بالا مشخص است برای تعریف یک ماده اورتوتروپیک در حالت دوبعدی نیاز به

۵ ثابت مستقل داریم. این ثوابت که از تست‌های آزمایشگاهی بدست می‌آیند عبارتند از مدول یانگ

در دو جهت محور اصلی (E_1, E_2) ، نسبت پواسن (ν_{12}, ν_{21}) و مدول برشی در دو صفحه (G_{21})

^۱ Plane strain

^۲ Plane stress

، G_{12} توجه شود که تساوی دو نسبت $\frac{\vartheta_{12}}{E_1}$ و $\frac{\vartheta_{21}}{E_2}$ در ثابت S_{21} به معنی تساوی ϑ_{12} با ϑ_{21} و E_1 با E_2 نمی‌باشد و تنها بیانگر تساوی نسبت‌ها است.

ماتریس سفتی نیز در حالت دوبعدی با معکوس کردن ماتریس نرمی در (حالت دو بعدی) بدست می‌آید. و داریم:

$$Q_{ij} = S_{ij}^{-1} \quad (15-1)$$

که در این رابطه Q_{ij} ماتریس سفتی در حالت دوبعدی می‌باشد و به آن ماتریس سفتی اصلاح شده^۱ می‌گویند. لازم به یادآوریست که ماتریس‌های نرمی و سفتی در تمام حالات چه سه‌بعدی چه دو بعدی متقارن هستند.

جدول (۱-۱) جمع‌بندی از دو بخش ۱-۴-۳ و ۱-۴-۲ را ارائه می‌دهد.

جدول (۱-۱) خلاصه از تعداد ضرایب مواد

نوع ماده	تعداد ضرایب غیرصفر در حالت سه‌بعدی	تعداد ضرایب مستقل در حالت سه‌بعدی	تعداد ضرایب غیرصفر در حالت دوبعدی	تعداد ضرایب مستقل در حالت دوبعدی
تری کلینیک	۳۶	۲۱	۹	۶
مونوکلینیک	۲۰	۱۳	۹	۶
اورتوتروپیک	۱۲	۹	۵	۴
ایزوتروپیک ^۲	۱۲	۲	۵	۲

^۱ Modified Stiffness Matrix

^۲ همسانگرد

۱-۳-۴-۱ اورتوتروپیک *on axis* و *off axis*

تمام روابطی که تاکنون ذکر شد زمانی صادق است که خطوط الیاف بر محور مختصات جهانی^۱ در مختصات دکارتی منطبق باشد. در مبحث کامپوزیت به این مواد کامپوزیت‌های *on axis* می‌گویند. اما در صورتی که خطوط الیاف با محور مختصات جهانی زاویه‌ای مانند φ داشته باشد به آن کامپوزیت‌های *off axis* می‌گویند^۲. تفاوت این دو حالت در ماتریس سفتی و نرمی آن‌هاست به طور مثال ماتریس نرمی در حالت *off axis* از رابطه زیر محاسبه می‌شود.

$$\bar{S} = \bar{T}^T \times \bar{S} \times \bar{T} \quad (16-1)$$

در رابطه بالا \bar{S} ماتریس نرمی در حالت *off axis* و T ماتریس تبدیل است که به صورت زیر تعریف می‌شود.

$$T = \begin{vmatrix} \cos\varphi^2 & \sin\varphi^2 & 2\cos\varphi\sin\varphi \\ \sin\varphi^2 & \cos\varphi^2 & -2\cos\varphi\sin\varphi \\ -\cos\varphi\sin\varphi & \cos\varphi\sin\varphi & \cos\varphi^2 - \sin\varphi^2 \end{vmatrix} \quad (17-1)$$

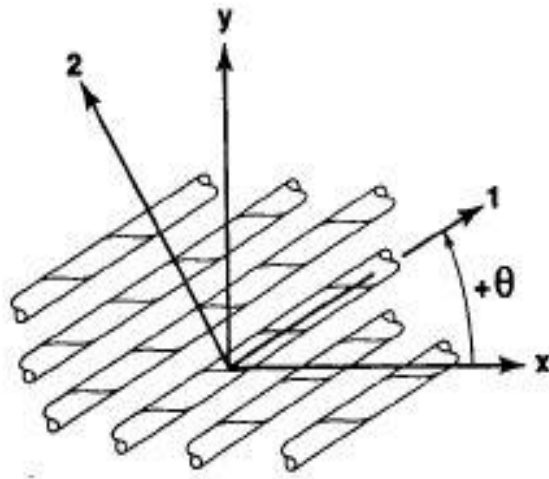
برخلاف S (ماتریس نرمی در حالت *on axis*) که دارای دو مولفه صفر S_{16} و S_{26} بود ماتریس \bar{S} (ماتریس نرمی در حالت *off axis*) به علت ضرب در ماتریس تبدیل دارای مولفه صفر نمی‌باشد، اما ثابت‌های مستقل آن همچنان مانند ماتریس S ، ۵ عدد می‌باشد^۳ [۲۰].

برای محاسبه ماتریس سفتی در حالت *off axis* هم می‌توان از ماتریس نرمی در این حالت معکوس گرفت و یا معادله (۱۱-۱) را این بار برای تنش تکرار کرد.

^۱ Global

^۲ به طور تخصصی در این رساله اورتوتروپیک‌های *on axis* و *off axis* به طور کلی مواد اورتوتروپیک چه *off axis* و چه *on axis* در حالت سه بعدی دارای ۹ ثابت مستقل و در حالت دو بعدی دارای ۵ ثابت مستقل می‌باشند.

در شکل ۱-۱ زاویه ناهمسانگردی (θ) و مختصات جهانی (x,y) به همراه مختصات محلی (۱ و ۲) به خوبی قابل مشاهده است.



شکل (۱-۱) زاویه ناهمسانگردی برای on axis و off axis [۲۰]

فصل ۲: روش المان محدود توسعه یافته^۱ و انتگرال برهم کنش

(۱) مقدمه‌ای بر روش المان محدود^۲

(۲) روش المان محدود توسعه یافته

(۳) مدل سازی ترک در روش المان محدود توسعه یافته

(۴) روش انتگرال برهم کنش

^۱ XFEM- Extended Finite Element Method

^۲ FEM- Finite Element Method

۱-۲ مقدمه‌ای بر روش المان محدود

به طور کلی در پژوهش‌های مختلف برای حل مسئله سه روش پیش روی ماست:

(۱) روش تحلیلی^۱

(۲) روش تجربی^۲

(۳) روش عددی^۳

در روش تحلیلی سعی بر این است که معادلات دیفرانسیلی حاکم بر مسئله به صورت تحلیلی و دقیق حل شوند. در روش تجربی، مسئله به صورت کاملاً واقعی در شرایط آزمایشگاهی آزمایش شده و نتایج گزارش می‌شود. و اما در روش عددی مسئله به صورت تقریبی حل می‌شود. روش‌های عددی امکان حل مسائل پیچیده‌ای که حل آن‌ها با روش‌های تحلیلی و تجربی هزینه و زمان زیادی می‌برد را فراهم می‌کنند. روش‌های عددی زیرمجموعه‌های زیادی دارند. روش المان محدود یکی از این زیرمجموعه‌هاست که از دقت بالایی برخوردار است. قبل از بررسی و توضیح مختصر درباره این روش ابتدا به صورت خلاصه تاریخچه‌ای از این روش را بیان می‌کنیم.

^۱ Exact Analytical Solution

^۲ Experimental Method

^۳ Numerical Solution

۲-۱-۱ تاریخچه روش المان محدود

اصطلاح المان محدود برای اولین بار توسط کلاف^۱ در سال ۱۹۶۰ جهت حل مسائل الاستیسیته دوبعدی به کار گرفته شد. هر چند اولین شخصی که عملاً از این روش در حل مسائل پیچش استفاده نمود، کورانت^۲ در سال ۱۹۴۳ است.

روش المان محدود یکی از پرکاربردترین روش‌های عددی برای حل تقریبی معادلات دیفرانسیل می‌باشد. این روش توسط دانشمندان و مهندسان در گستره وسیعی از مسائل مهندسی در گرایش‌های متفاوت از جمله برای تخمین شکست دینامیکی سازه‌ها به کار می‌رود. [۳۱]

روش المان محدود یک نمونه بارز از روش گالرکین^۳ در حل معادلات است. در روش گالرکین؛ (المان محدود) برای محاسبه درجات آزادی از تابع درون‌یاب استفاده می‌شود که در ادامه درباره آن توضیحات بیشتری ارائه می‌شود.

۲-۱-۲ روند حل مسئله در روش المان محدود

به طور خلاصه در روش المان محدود مسئله با هندسه پیچیده به قطعات کوچک‌تری به نام المان تقسیم می‌شود که به این عمل مش‌بندی گفته می‌شود. سپس برای هر المان ماتریس سفتی محاسبه شده و پس از اسمبل ماتریس سفتی المان‌ها، ماتریس سفتی کل سازه بدست آمده و با جایگذاری شرایط مرزی؛ مسئله حل می‌شود. درحقیقت برای حل یک مسئله به کمک روش المان محدود مراحل زیر طی می‌شود [۲۲]:

^۱ Clough

^۲ Courant

^۳ Galerkin method

۱-۲-۱-۲ تقسیم بندی مسئله به چندین المان (مش زنی)^۱

در اولین قدم مسئله مورد نظر را (فارغ از پیچیدگی آن) به چندین ناحیه‌ی ساده تقسیم می‌کنیم.

این نواحی، المان^۲ نامیده می‌شوند. هر المان از حداقل دو نقطه تشکیل شده است به این نقاط گره‌های^۳

المان می‌گویند. المان‌ها را برحسب تعداد گره‌ای که دارند نام‌گذاری می‌کنند. به طور نمونه در شکل

۱-۲ صفحه مستطیلی به ابعاد محدود با المان‌های ۴ گره ای (Quad 4 یا به اختصار Q4) مش‌بندی

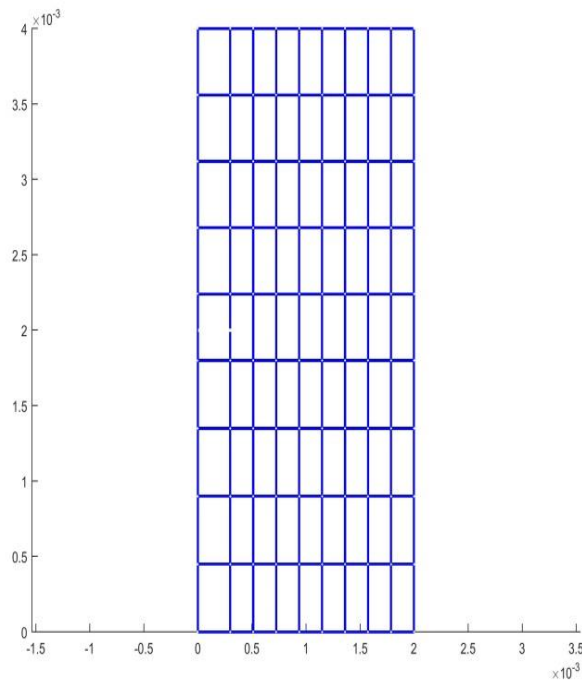
شده است.

توجه شود که المان و گره از مفاهیم بسیار مهم و پایه در روش المان محدود می‌باشند [۲۲].

^۱ Meshing

^۲ Element

^۳ Nodes



شکل ۲-۱) مش بندی صفحه مستطیلی با المان‌های ۴ گره‌ای

همانطور که در شکل فوق پیداست صفحه مستطیلی دارای ۱۰ گره در جهت افقی محور مختصات

(X) و ۱۰ گره در جهت عمودی محور مختصات (Y) می‌باشد.

پس از تقسیم هندسه موردنظر به تعدادی ناحیه، می‌توان هر نقطه درون هندسه ناحیه را با استفاده

از توابع درونیابی بر حسب مختصات گره‌های ناحیه تقریب نمود. برای این تقریب مناسب‌ترین عمل،

استفاده از توابع درونیابی چند جمله‌ای است.

گالرکین^۱ نشان داد که از نظر ریاضی ناحیه چهارضلعی مورد نظر را می‌توان با استفاده از نگاشت دوخطی

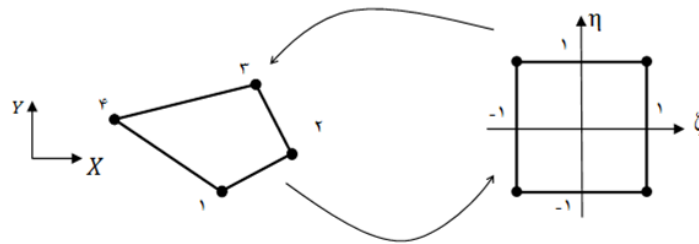
به مربعی متقارن با اضلاع 2×2 در دستگاه مختصات (ξ, η) ^۲ تبدیل نماییم، که دستگاه مختصات

^۱ Galerkin method

^۲ Local coordinates

ایزوپارامتریک^۱ نامیده می‌شود. (شکل ۲-۲) توابع درونیایی به صورت معادله (۱-۲) قابل بیان خواهند بود [۲۲].

$$x = \sum_{i=1}^4 N_i X_i \quad , \quad y = \sum_{i=1}^4 N_i Y_i \quad (1-2)$$



شکل ۲-۲) نگاشت تبدیل یک ناحیه ۴ گره ای به یک مستطیل استاندارد

این توابع درونیاب را در اصطلاح توابع شکل^۲ می‌نامند و همانطور که از رابطه (۱-۲) پیداست تعداد توابع شکل در هر المان به اندازه گره‌های آن المان می‌باشد. به طور مثال در المان Q4 ۴ گره و ۴ تابع شکل داریم. از ویژگی‌های مهم آن‌ها می‌توان به موارد زیر اشاره کرد.

(۱) هر تابع شکل در مختصات گره خودش مقدار یک می‌باشد. (N_i در X_i و Y_i ۱ است)

(۲) هر تابع شکل در مختصات گره دیگر ۰ است (N_j در X_i و Y_i ۰ است)

(۳) جمع توابع شکل یک المان عدد ۱ است ($\sum_{i=1}^4 N_i = 1$)

^۱ Isoperimetric

^۲ Shape function

با کمک این توابع شکل، می‌توان مختصات هر نقطه درون مربع ترسیم شده، در دستگاه مختصات ایزوپارامتریک را به نقطه مشابه در مختصات اصلی (X, Y) نگاشت. برای نمونه توابع شکل المان ۴ گره‌ای به صورت رابطه (۲-۲) می‌باشد [۲۲].

$$N = \left\{ \frac{1}{4}(1-\xi)(1-\eta) \quad \frac{1}{4}(1+\xi)(1-\eta) \quad \frac{1}{4}(1-\xi)(1+\eta) \quad \frac{1}{4}(1+\xi)(1+\eta) \right\}^T \quad (2-2)$$

که در آن علامت T به معنای ترانپوز است. یعنی در محاسبات N یک ماتریس با ۴ سطر و ۱ ستون می‌باشد. (ماتریس 4×1)

۲-۲-۱-۲ خصوصیات مواد

همانطور که در فصل اول گفته شد برای ماده اورتوتروپیک داریم در حالت تنش صفحه ای :

$$[C] = \frac{1}{(1-\nu_{12}\nu_{21})} \begin{bmatrix} E_1 & \nu_{12}E_2 & 0 \\ \nu_{12}E_2 & E_2 & 0 \\ 0 & 0 & (1-\nu_{12}\nu_{21})G_{12} \end{bmatrix} \quad (3-2)$$

در حالت کرنش صفحه ای:

$$[C] = \begin{bmatrix} aE_1 & bE_1 & 0 \\ cE_2 & dE_2 & 0 \\ 0 & 0 & (ad-bc)G_{12} \end{bmatrix} \quad (4-2)$$

$$a = 1 - \nu_{23}\nu_{32}$$

$$c = \nu_{12} + \nu_{13}\nu_{32}$$

$$b = \nu_{21} + \nu_{23}\nu_{31}$$

$$d = 1 - \nu_{13}\nu_{31}$$

که در آن E_1 مدول یانگ در جهت x ، E_2 مدول یانگ در جهت y ، ν_{ij} ضریب پواسون و G_{12} مدول برشی می باشد.

۳-۲-۱-۲ مشخص کردن درجات آزادی هر گره

در حالت کلی تعداد پارامترهای غیر وابسته که برای مشخص کردن موقعیت یک سیستم فیزیکی مورد استفاده قرار می گیرد را درجه آزادی آن سیستم می نامند^۱ [۱۸]. به طور مثال اگر مسئله مورد نظر ما فقط تحت بارهای مکانیکی باشد هر یک از گره های المان در حالت ۲ بعدی شامل دو درجه آزادی u در جهت X و v در جهت Y می باشد. در این حالت برای هر المان داریم .

$$\{u\} = \begin{bmatrix} U_1 \\ V_1 \\ U_2 \\ V_2 \\ U_3 \\ V_3 \\ U_4 \\ V_4 \end{bmatrix} \quad (۵-۲)$$

به بردار u بردار درجات آزادی هر المان می گویند^۲. در یک مسئله تحت بارهای مکانیکی معادله (۲-۱) را می توان به صورت باز شده زیر برای هر المان نوشت.

$$\begin{pmatrix} u \\ v \end{pmatrix} = \sum_{i=1}^4 N_i \begin{pmatrix} U_i \\ V_i \end{pmatrix} \quad (۶-۲)$$

^۱ DOF (Degree Of Freedom)

^۲ در فصول بعدی درباره چیدمان این بردار توضیحات بیشتر و جامع تری ارائه خواهد شد.

۴-۲-۱-۲ محاسبه ماتریس سفتی^۱

همانطور که پیشتر اشاره شد روش المان محدود زیر مجموعه روش‌های عددی است. این روش معادلات حاکم را به صورت ماتریسی گسسته کرده و سپس حل می‌کند. برای هر مسئله ماتریس سفتی^۲ و سایر ماتریس‌ها با گسسته کردن معادلات حاکم بدست می‌آید. (در فصول آینده گسسته سازی معادلات حاکم انجام می‌گردد) اما در حالت کلی ماتریس سفتی برای هر المان در مختصات محلی^۳ المان به صورت معادله (۷-۲) نوشته می‌شود [۲۲].

$$[K]_{8 \times 8} = \int_{-1}^1 \int_{-1}^1 [B]_{8 \times 3}^T [C]_{3 \times 3} [B]_{3 \times 8} \cdot |j| d\xi d\eta \quad (7-2)$$

در معادله (۷-۲) ماتریس C ماتریس خواص ماده معادله (۳-۲) و ماتریس z نیز ماتریس ژاکوبین می‌باشد توجه به این نکته ضروری است که در رابطه (۷-۲) علامت T در بالای ماتریس B به معنی ترانپز^۴ ماتریس B است.^۵

انتگرال معرفی شده در معادله (۷-۲) که در دستگاه مختصات محلی (ξ, η) باید محاسبه شود را می‌توان با استفاده از روش عددی انتگرال گوس محاسبه نمود. در روش عددی انتگرال گوس، کافی است که مقادیر تابع تحت انتگرال را در نقاط خاصی درون المان که نقاط گوس خوانده می‌شوند، حساب نموده و آنها را در ضرایب وزنی گوس ضرب کرد. با جمع این مقادیر می‌توان مقدار انتگرال را تعیین نمود.

^۱ Stiffens Matrix (K Matrix)

^۲ در بسیاری از منبع فارسی به اشتباه ماتریس سختی ترجمه شده است.

^۳ Local Coordinate

^۴ Transpose

^۵ برای توضیح بیشتر درباره ترانپز به مرجع ۱۹ مراجعه کنید.

در این معادلات ماتریس B ماتریس کرنش جابه جایی گره‌ها بوده و شامل مشتقات تابع شکل بر حسب مختصات محلی المان هستند. این ماتریس سه سطر دارد و تعداد ستون‌های آن به تعداد سطرهای بردار $\{u\}$ وابسته است. معادله (۸-۲) این ماتریس را برای یک المان چهارگره‌ای نشان می‌دهد.

$$[B] = \begin{bmatrix} \frac{\partial N_1}{\partial \xi} & 0 & \frac{\partial N_2}{\partial \xi} & 0 & \frac{\partial N_3}{\partial \xi} & 0 & \frac{\partial N_4}{\partial \xi} & 0 \\ \frac{\partial N_1}{\partial \eta} & \frac{\partial N_1}{\partial \xi} & \frac{\partial N_2}{\partial \eta} & \frac{\partial N_2}{\partial \xi} & \frac{\partial N_3}{\partial \eta} & \frac{\partial N_3}{\partial \xi} & \frac{\partial N_4}{\partial \eta} & \frac{\partial N_4}{\partial \xi} \\ 0 & \frac{\partial N_1}{\partial \eta} & 0 & \frac{\partial N_2}{\partial \eta} & 0 & \frac{\partial N_3}{\partial \eta} & 0 & \frac{\partial N_4}{\partial \eta} \\ 0 & \frac{\partial N_1}{\partial \eta} & 0 & \frac{\partial N_2}{\partial \eta} & 0 & \frac{\partial N_3}{\partial \eta} & 0 & \frac{\partial N_4}{\partial \eta} \end{bmatrix} \quad (8-2)$$

$$\varepsilon = [B]\{u\}$$

همانطور که در رابطه (۸-۲) مشخص است کرنش از حاصل ضرب ماتریس B در جابه جایی حاصل می‌شود.

از دترمینان ماتریس ژاکوبین ($|J|$) برای نگاشت مختصات محلی به اصلی استفاده می‌شود. (معادله (۹-۲))

$$[J] = \begin{bmatrix} \frac{\partial x}{\partial \xi} & \frac{\partial y}{\partial \xi} \\ \frac{\partial x}{\partial \eta} & \frac{\partial y}{\partial \eta} \end{bmatrix} = \begin{bmatrix} \sum_{i=1}^4 \frac{\partial N_i}{\partial \xi} X_i & \sum_{i=1}^4 \frac{\partial N_i}{\partial \xi} Y_i \\ \sum_{i=1}^4 \frac{\partial N_i}{\partial \eta} X_i & \sum_{i=1}^4 \frac{\partial N_i}{\partial \eta} Y_i \end{bmatrix} \quad (9-2)$$

با حذف دترمینان z معادله (۷-۲) را می‌توان در مختصات جهانی^۱ به صورت معادله (۱۰-۲)

بازنویسی کرد

$$[K]_{8 \times 8} = \iint [B]_{8 \times 3}^T [C]_{3 \times 3} [B]_{3 \times 8} dx dy \quad (10-2)$$

از نکات بسیار مهم در روش المان محدود، اندازه ماتریس سفتی است که تابع درجات آزادی هر گره از المان می‌باشد و در حالت کلی از رابطه (۱۱-۲) بدست می‌آید.

$$\text{size}([K]_{n \times n}) = (DOF \times ND) \times (DOF \times ND) \quad (11-2)$$

در رابطه فوق DOF تعداد درجات آزادی هر گره و ND نیز تعداد گره در هر المان می‌باشد. به طور مثال در مسئله‌ای که تنها دو درجه آزادی داریم و المان‌ها از نوع مربعی چهار گره‌ای هستند (Q4) سائز ماتریس سفتی در هر گره 8×8 می‌باشد ($8 = 4 \times 2$) [۲۲].

۵-۲-۱-۲ مونتاژ ماتریس سفتی کل

بعد از محاسبه ماتریس سفتی برای هر المان، این ماتریس‌ها در یک ماتریس دیگر که به عنوان ماتریس سفتی کل شناخته می‌شود، نصب می‌گردند. تعداد درجات ماتریس سفتی کل نیز از همان رابطه (۱۱-۲) محاسبه می‌گردد. منتها به جای درجات آزادی هر المان درجات آزادی کل مسئله لحاظ می‌شود. برای مثال در مسئله‌ای که هر گره ۲ درجه آزادی از نوع جا به جایی و در کل ۱۰۰ گره دارد ماتریس سفتی کل در ابعاد 200×200 می‌باشد (مطابق رابطه (۱۱-۲)).

^۱ Global Coordinate

۲-۱-۲ اعمال شرایط مرزی نیرو و جابه‌جایی

با توجه به نوع مسئله شرایط مرزی نیرو^۱ و جابه‌جایی^۲ نیز به المان‌های مرزی اعمال می‌شود. با بدست آوردن شرایط بالا می‌توان معادله زیر را حل نمود:

$$K \bar{u} = \bar{F} \quad (۱۲-۲)$$

و در نتیجه بردار u بدست خواهد آمد.

۲-۲ روش المان محدود توسعه یافته

در این بخش به صورت خلاصه توضیحاتی درباره روش المان محدود توسعه یافته ارائه می‌گردد.

۲-۲-۱ خلاصه‌ای از روش المان محدود توسعه یافته

به طور خلاصه روش المان محدود توسعه یافته^۳ همان روش المان محدود معمولی است که درجات آزادی المان‌های نوک ترک افزایش یافته‌اند یا به عبارت بهتر غنی شده‌اند. این غنی‌سازی برای افزایش دقت و صحت جواب‌ها صورت می‌گیرد. روش المان محدود توسعه یافته نتیجه کارهای بیلیچکو و همکارانش می‌باشد.

در مقایسه با تقریب کلاسیک (سنتی) برای مدل‌سازی ترک‌ها با المان محدود، با غنی‌سازی ناپیوستگی، هندسه ترک به صورت مستقل از شبکه، نمایش داده شده‌است. همچنین غنی‌سازی نزدیک نوک ترک در تقریب‌سازی، جهت محاسبه درست ضرایب شدت تنش، به کار گرفته شده‌است.

^۱ Natural boundary condition

^۲ Essential boundary condition

^۳ XFEM (Extended Finite Element Method)

در روش المان محدود استاندارد (همانطور که اشاره شد) به هر گره از المان تابع شکل نسبت داده می‌شود و در حالت دو بعدی هر گره ۲ درجه آزادی دارد که ترکیب خطی حاصل ضرب تابع شکل هر نقطه داخل المان در تغییر مکان‌های گره‌ای می‌تواند تغییر مکان نقاط داخل المان را مشخص کند (معادله گالرکین (۲-۶)). در المان محدود توسعه یافته از همان توابع شکل المان محدود استاندارد استفاده می‌شود و تنها درجات آزادی گره‌های اطراف ترک افزایش پیدا می‌کند (غنی‌سازی) که این کار بر اساس مفهوم افراز واحد^۱ انجام می‌شود. [۲۳و۱۸]

۲-۲-۲ افراز واحد المان‌های محدود غنی شده

همانطور که پیشتر ذکر شد مفهوم و مبنا روش المان محدود توسعه یافته مفهوم افراز واحد برای المان‌های محدود غنی شده یا تقریب‌های بدون المان است. افراز واحد در یک قلمرو مشخص مثل Ω ، یک مجموعه از توابع $\phi_i(x)$ است به نحوی که معادله (۲-۱۳) را ارضا کند.

$$\sum_{\forall i} \phi_i(x) = 1, \quad \forall x \in \Omega \quad (۲-۱۳)$$

خاصیت افراز واحد در المان محدود توسعه یافته این است که هر تابع ψ که بر حسب بردار موقعیت است را می‌توان به صورت مجموع حاصل ضرب توابع افراز واحد با ψ بازنویسی کرد. به معادله (۲-۱۵) توجه کنید.

$$\sum_{\forall i} \phi_i(x) \psi(x) = \psi(x) \quad (۲-۱۴)$$

با استفاده از این خاصیت در المان محدود توسعه یافته می‌توان معادله (۲-۶) را به صورت معادله زیر بازنویسی کرد [۲۴و۱۸].

^۱ Partition of unity

$$u(x) = \sum_{\forall i} N_i(x) u_i + \sum_{\forall i} \phi_i(x) \psi(x) b_i \quad (15-2)$$

در این رابطه u_i درجات آزادی گره‌های معمولی هستند. منظور از گره‌های معمولی گره‌هایی است که المان‌های آن‌ها توسط ترک شکافته نشده و یا نوک ترک در آن‌ها حضور ندارند. (در بخش آینده بیشتر در این باره توضیح خواهیم داد). N_i ها نیز توابع شکل در المان محدود کلاسیک هستند. این توابع برای المان چهارگره‌ای در رابطه (2-2) معرفی شده‌اند. بخش دوم در رابطه (2-16) بخش انساتز^۱ نامیده می‌شود. مقادیر گره‌ای b_i پارامترهای مجهول مجازی هستند که باعث می‌شوند تا دقت غنی‌سازی بالاتر برود. ψ نیز تابع غنی‌سازی^۲ و مبتنی بر حل‌های مجانبی در مکانیک شکست است که حل‌های دقیقی به حساب نمی‌آیند. بنابراین انساتز لازم نیست دقیقاً حل موضوعی برای مسئله مورد نظر باشد. در این رابطه (انساتز)؛ $\phi_i(x)$ تابع شکل در حالت توسعه یافته (غنی شده) است.

در حالت کلی توابع شکل برای تقریب مورد استفاده در روش‌های المان محدود کلاسیک (سنتی) و تعمیم یافته (XFEM) ممکن است یکسان نباشند؛ اما استفاده از توابع یکسان منجر به محدودیتی در حل مسئله نمی‌شود [25]. در این پژوهش این دو تابع یکسان فرض شده است. یعنی:

$$\phi_i(x) = N_i(x) \quad (16-2)$$

لازم به ذکر است که تمام توابع شکل المان محدود لاگرانژی خاصیت افراز واحد را ارضا می‌کنند. زیرا این خاصیت برای همگرایی و عبور از آزمون پیوستگی ضروری است. یکی از بهترین مزیت‌های روش المان محدود توسعه یافته نسبت به سایر روش‌های تحلیل عددی مکانیک شکست این است که رشد و موقعیت ترک در این روش کاملاً مستقل از مش‌بندی است. منتها نوک ترک نمی‌تواند روی یکی از گره‌ها باشد.

^۱ Ansatz

^۲ Enrichment Function(s)

۳-۲ مدل سازی ترک در روش المان محدود توسعه یافته^۱

در این بخش مراحل مدل سازی ترک در روش المان محدود توسعه یافته شرح داده می شود. قبل از هرچیز چند تعریف را که در مدل سازی ترک کاربردیست بیان می کنیم. به طور کلی در روش المان محدود توسعه یافته المان ها و گره ها به سه دسته تقسیم می شوند (شکل ۳-۲).

(۱) المان های معمولی^۲، المان هایی هستند که دور از ناحیه ترک واقع شده اند. این المان ها با کمک المان محدود کلاسیک تحلیل و حل می شوند. یعنی نیاز به غنی سازی ندارند.

(۲) المان های اسپلیت^۳، المان هایی هستند که توسط ترک بریده شده اند و ترک در این المان ها واقع شده است.^۴ این المان ها نیاز به غنی سازی دارند که در بخش بعد درباره آن توضیح داده می شود.

(۳) المان های نوک ترک (المان های تیپ)^۵، المانی است که نوک ترک در آن حضور دارد.^۶ این المان نیز مانند المان های اسپلیت نیاز به غنی سازی دارد. و اما انواع گره ها:

(۱) گره های معمولی^۷، گره های المان های معمولی هستند.

^۱ در بسیاری از مراجع فارسی زبان به روش المان محدود توسعه یافته، المان محدود غنی شده یا المان محدود تعمیم یافته نیز می گویند. تمام این ها ترجمه Extended finite element می باشد. به نظر نگارنده ترجمه المان محدود توسعه یافته؛ ترجمه بهتر و روان تری نسبت به سایر موارد است. از این رو در این تحقیق از این ترجمه استفاده شده است. غنی سازی بیشتر به نوع فرآیند است که برای split و tip element و element به کار می رود. که ترجمه کلمه Enrichment می باشد.

^۲ Normal elements

^۳ Split elements

^۴ در اکثر مراجع فارسی زبان ترجمه صحیحی برای Split elements ارائه نشده است و نگارنده نیز نتوانست ترجمه قابل قبولی را برای این کلمه پیدا کند. از این رو در این رساله از معادله انگلیسی Split element با نگارش فارسی به شکل المان های اسپلیت استفاده می شود.

^۵ Tip elements

^۶ المان نوک ترک ترجمه است که اکثر کتب فارسی آن را انتخاب کردند.

^۷ Normal nodes

۲) گره‌های اسپلیت^۱، گره‌های المان‌های اسپلیت هستند.

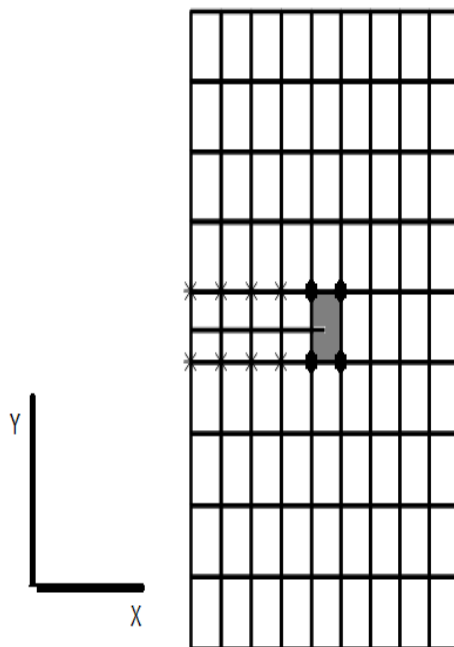
۳) گره‌های نوک^۲ ترک، گره‌های المان نوک ترک هستند.

لزومی ندارد هر چهار گره یک المان از یک نوع باشند. به طور مثال دو المان مجاور هم را در نظر

بگیرید که اولی از نوع اسپلیت و دومی المان نوک ترک باشد. در این صورت دو گره مرزی این دو المان

از نوع گره‌های نوع گره‌های نوک ترک هستند.

شکل ۲-۳ مطالب بالا را به طور خلاصه بیان می‌کند.



شکل ۲-۳) نمایش یک شبکه المان محدود توسعه یافته شامل ترک و گره‌های غنی شده

همانطور که در شکل ۲-۳ قابل مشاهده است؛ المان خاکستری رنگ المان نوک ترک و چهار المان

سمت چپ آن که توسط ترک بریده شده‌اند المان اسپلیت و سایر المان‌ها نیز المان‌های معمولی هستند.

^۱ Split nodes

^۲ Tip nodes

در شکل قابل مشاهده است که چهار گره نوک ترک وجود دارد که با دایره سیاه مشخص شده اند، هشت گره اسپلیت وجود دارد که با ستاره مشخص شده اند و ما بقی گره‌ها نیز گره‌های ساده هستند. همانطور که پیشتر در قالب نکته ذکر شد لزومی ندارد هر چهار گره المان از یک نوع باشند، اولویت در انتخاب گره با گره نوک ترک سپس اسپلیت و در آخر گره‌های معمولی است.

۲-۳-۱ روابط بنیادی غنی سازی

همانطور که پیشتر ذکر شد مفهوم و مبنا روش المان محدود توسعه یافته مفهوم افراز واحد برای المان‌های محدود غنی شده یا تقریب‌های بدون المان است. فرض کنید که یک نقطه x در فضای R^2 (برای محیط دو بعدی) درون مدل المان محدود داشته باشید. مجموعه گره‌های T به صورت $T = \{n_1, n_2, \dots, n_m\}$ و تعداد گره‌های یک المان است، با توجه به معادله (۲-۱۶) تابع تقریبی غنی شده برای میدان جابجایی $u(x)$ به صورت زیر تعریف می‌شود. [۱۸ و ۳۱]

$$u^h(x) = \sum_{n_I \in T} N_I(x) u_I + \sum_{n_J \in E} N_J(x) \psi(x) u_J \quad (2-17)$$

در رابطه (۲-۱۸) u_I درجات آزادی گره کلاسیک در مدل المان محدود است و u_I درجات آزادی اضافی تغییر مکانی نسبت به مجموعه استاندارد مدل المان محدود است. (همان b_i در رابطه (۲-۱۶)) این درجات آزادی اضافی به ازای هر گره اسپلیت یک و به ازای هر گره نوک ترک به تعداد توابع غنی سازی است. به طور مثال اگر در مسئله‌ای ۸ گره اسپلیت و ۴ گره نوک ترک داشته باشیم در ضمن تعداد توابع غنی سازی نیز ۴ باشد در این صورت تعداد گره‌های مجازی در این مسئله برابر با ۲۴ عدد می‌باشد. N_I تابع شکل مربوط به گره‌های معمولی (T) همچنین N_J تابع شکل در حالت توسعه یافته (غنی شده) است. همانطور که در معادله (۲-۱۷) مشاهده شد توابع شکل در حالت کلاسیک و غنی سازی در این

تحقیق یکسان در نظر گرفته شده‌اند.^۱ $\psi(x)$ تابع (توابع) غنی‌سازی و T^E شامل تمام نقاطی است که ترک را در بر می‌گیرد.^۲ به طور نمونه گره‌هایی که با دایره توپر^۳ و ستاره^۴ در شکل ۲-۳ مشخص شده‌اند به همراه گره‌های مجازی آن‌ها همگی با این توابع غنی‌سازی می‌شوند (تعداد توابع غنی‌سازی با توجه به نوع مسئله و جنس ماده تعیین می‌شوند که در ادامه درباره آن توضیحاتی ارائه می‌گردد). به طور کلی تابع غنی‌سازی $\psi(x)$ با توجه به نوع ناپیوستگی تعیین می‌گردد.

هر تابعی که در سرتاسر فضا R ناپیوسته است می‌تواند برای مدل کردن یک گسستگی دلخواه در $u^h(x)$ استفاده شود، ولی شاید ساده‌ترین انتخاب، یک تابع ثابت که در طول ترک تغییر علامت می‌دهد؛ از این رو برای راحتی تابع زیر (تابع $H(Z)$) را در نظر می‌گیریم که مقدار ۱ را روی یک سمت و -۱ را در سمت دیگر دارد. (معادله (۲-۱۹))

$$H(z) = \begin{cases} +1 & ; y > 0 \\ -1 & ; y < 0 \end{cases} \quad (2-18)$$

در معادله (۲-۱۹)، Z تابعی از موقعیت یک نقطه نسبت به مسیر ترک است. به عبارت بهتر اگر نقطه مطلوب بالای سطح ترک باشد مقدار تابع ثابت غنی‌سازی برای آن ۱ و در غیر این صورت -۱ است. به این تغییر علامت در مکانیک شکست پرش از سطح ترک می‌گویند [۱۸ و ۳۱].

حال که روابط بنیادی در غنی‌سازی داده شد به شرح روابط مدل‌سازی ترک در ماده مورد نظر این تحقیق یعنی ماده اورتوتروپیک می‌پردازیم.

^۱ $N_I = N_J$

^۲ گره‌های نوک ترک، اسپلیت و گره‌های مجازی این‌ها

^۳ گره‌های نوک ترک

^۴ گره‌های اسپلیت

۲-۳-۲ روابط مدل سازی ترک در مواد اورتوتروپیک

با توجه به مطالبی که پیشتر گفته شد، میدان جا به جایی در روش المان محدود توسعه یافته برای یک المان غنی شده شامل ترک را می توان به صورت معادله (۲-۲۰) نوشت. توجه شود تعداد توابع غنی سازی برای ماده اورتوتروپیک معمولاً ۴ عدد می باشد. [۲۷]

$$u^h(x) = \sum_n N_n(x) u_n + \sum_I N_I(x) H(x) b_I \quad (19-2)$$

$$+ \sum_{k \in J} N_k(x) \left(\sum_{l=1}^4 C_k^l F_l(\mathbf{r}, \theta) \right)$$

در رابطه فوق عبارت اول مربوط به المان محدود کلاسیک^۱، عبارت دوم برای غنی سازی المان های اسپلیت و عبارات سوم جهت غنی سازی المان های نوک ترک به کار برده می شود. در این رابطه \mathbf{N}_n ، \mathbf{N}_k و \mathbf{N}_I به ترتیب توابع شکل المان های معمولی، اسپلیت و نوک ترک هستند و همانطور که در رابطه (۲-۱۷) اشاره شد در این تحقیق هر سه این توابع یکسان در نظر گرفته شده اند. $\mathbf{H}(\mathbf{X})$ نیز تابع هویسایدی است که برای پرش از سطح ترک در المان های اسپلیت در نظر گرفته شده است، \mathbf{U}_n درجات آزادی گره کلاسیک و b_I و C_k^l درجات آزادی گرهی اضافی اند^۲. همچنین توابع غنی سازی ماده اورتوتروپیک هستند. این توابع بر حسب مختصات محلی نوک ترک (\mathbf{r}, θ) قابل بیان هستند (معادله ۲-۳۹).

ذکر این نکته واجب است که این تحقیق شامل تحلیل های دمایی و مکانیکی می باشد. بنابراین دو جنس تابع غنی سازی داریم. تابع غنی سازی دمایی و تابع غنی سازی جا به جایی. در تحلیل با تئوری

^۱ برای المان های معمولی

^۲ همانطور که قبلاً گفته شد تعداد این گره های مجازی برای هر گره اسپلیت ۱ عدد و برای هر گره نوک ترک به اندازه تعداد توابع غنی سازی (در اینجا ۴) است. این درجات آزادی در انتهای بردار \mathbf{u} معرفی شده در معادله ۲-۵ قرار می گیرند.

ترموالاستیسیته جفت شده و یا لردشلمان تعداد توابع غنی سازی دما و جا به جایی باید یکسان باشند. در ادامه درباره این تحلیل های ترموالاستیسیته بیشتر توضیح خواهیم داد.

۲-۲-۳-۲ توابع غنی سازی جا به جایی برای مواد اورتوتروپیک

جابجایی های مماسی واقعی نزدیک نوک و میدان تنش در حوزه نوک ترک در جسم دو بعدی

اورتوتروپیک در معرض بارگذاری عمومی با تعریف توابع $f_{ij}(\theta)$ و $g_i(\theta)$ به صورت زیر است [۲۷]:

$$u_i = K_I \sqrt{\frac{2r}{\pi}} g_i^I(\theta) + K_{II} \sqrt{\frac{2r}{\pi}} g_i^{II}(\theta) \quad (20-2)$$

$$\sigma_{ij} = K_I (2\pi r)^{\frac{1}{2}} f_{ij}^I(\theta) + K_{II} (2\pi r)^{\frac{1}{2}} f_{ij}^{II}(\theta) \quad (21-2)$$

که در آن، K_I و K_{II} ضرایب شدت تنش مود I و II می باشد. (در ادامه درباره آن ها بیشتر توضیح

داده خواهد شد) توابع $f_{ij}(\theta)$ و $g_i(\theta)$ به صورت زیر بیان شده اند [۲۷].

$$f_{11}^I(\theta) = \text{Re} \left[\frac{\mu_1 \mu_2}{\mu_1 - \mu_2} \left\{ \frac{\mu_2}{\sqrt{\cos\theta + \mu_2 \sin\theta}} - \frac{\mu_1}{\sqrt{\cos\theta + \mu_1 \sin\theta}} \right\} \right] \quad (22-2)$$

$$f_{11}^{II}(\theta) = \text{Re} \left[\frac{1}{\mu_1 - \mu_2} \left\{ \frac{\mu_2^2}{\sqrt{\cos\theta + \mu_2 \sin\theta}} - \frac{\mu_1^2}{\sqrt{\cos\theta + \mu_1 \sin\theta}} \right\} \right] \quad (23-2)$$

$$f_{22}^I(\theta) = \text{Re} \left[\frac{1}{\mu_1 - \mu_2} \left\{ \frac{\mu_1}{\sqrt{\cos\theta + \mu_2 \sin\theta}} - \frac{\mu_2}{\sqrt{\cos\theta + \mu_1 \sin\theta}} \right\} \right] \quad (24-2)$$

$$f_{22}^{II}(\theta) = \text{Re} \left[\frac{1}{\mu_1 - \mu_2} \left\{ \frac{1}{\sqrt{\cos\theta + \mu_2 \sin\theta}} - \frac{1}{\sqrt{\cos\theta + \mu_1 \sin\theta}} \right\} \right] \quad (25-2)$$

$$f_{12}^I(\theta) = \text{Re} \left[\frac{\mu_1 \mu_2}{\mu_1 - \mu_2} \left\{ \frac{1}{\sqrt{\cos\theta + \mu_1 \sin\theta}} - \frac{1}{\sqrt{\cos\theta + \mu_2 \sin\theta}} \right\} \right] \quad (26-2)$$

$$f_{12}^{II}(\theta) = \text{Re} \left[\frac{1}{\mu_1 - \mu_2} \left\{ \frac{\mu_1}{\sqrt{\cos\theta + \mu_1 \sin\theta}} - \frac{\mu_2}{\sqrt{\cos\theta + \mu_2 \sin\theta}} \right\} \right] \quad (27-2)$$

و در ادامه :

$$g_1'(\theta) = \text{Re} \left[\frac{1}{\mu_1 - \mu_2} \left\{ \mu_1 p_2 \sqrt{\cos \theta + \mu_2 \sin \theta} - \mu_2 p_1 \sqrt{\cos \theta + \mu_1 \sin \theta} \right\} \right] \quad (28-2)$$

$$g_1''(\theta) = \text{Re} \left[\frac{1}{\mu_1 - \mu_2} \left\{ p_2 \sqrt{\cos \theta + \mu_2 \sin \theta} - p_1 \sqrt{\cos \theta + \mu_1 \sin \theta} \right\} \right] \quad (29-2)$$

$$g_2'(\theta) = \text{Re} \left[\frac{1}{\mu_1 - \mu_2} \left\{ \mu_1 q_2 \sqrt{\cos \theta + \mu_2 \sin \theta} - \mu_2 q_1 \sqrt{\cos \theta + \mu_1 \sin \theta} \right\} \right] \quad (30-2)$$

$$g_2''(\theta) = \text{Re} \left[\frac{1}{\mu_1 - \mu_2} \left\{ q_2 \sqrt{\cos \theta + \mu_2 \sin \theta} - q_1 \sqrt{\cos \theta + \mu_1 \sin \theta} \right\} \right] \quad (31-2)$$

مقدار p_k و q_k به صورت زیر تعریف می شوند:

$$p_k = a_{11}\mu_k^2 + a_{12} - a_{16}\mu_k \longrightarrow k=1,2 \quad (32-2)$$

$$q_k = a_{12}\mu_k + \frac{a_{22}}{\mu_k} - a_{26} \longrightarrow k=1,2 \quad (33-2)$$

و μ ریشه معادله مشخصه زیر می باشد:

$$a_{11}\mu^4 - 2a_{16}\mu^3 + (2a_{12} + a_{66})\mu^2 - 2a_{26}\mu + a_{22} = 0 \quad (34-2)$$

در رابطه فوق a_{ij} اعضاء ماتریس نرمی کاهش یافته صفحه می باشند که براساس فرض تنش

صفحه ای یا کرنش صفحه ای به صورت تابعی از ماتریس نرمی S_{ij} می باشند [۲۱].

$$a_{ij} = S_{ij} \quad , \quad i, j = 1, 2, 6 \quad \text{تنش صفحه ای} \quad (35-2)$$

$$a_{ij} = S_{ij} - \frac{S_{i3}S_{j3}}{S_{33}} \quad , \quad i, j = 1, 2, 6 \quad \text{کرنش صفحه ای} \quad (36-2)$$

ثابت می شود که معادله (۳۵-۲) چهار ریشه موهومی دارد. چهار ریشه این معادله را می توان

بصورت زیر نوشت:

$$\mu_1 = \mu_{1x} + i\mu_{1y}, \quad \mu_3 = \overline{\mu_1} \quad (37-2)$$

$$\mu_2 = \mu_{2x} + i\mu_{2y}, \quad \mu_4 = \overline{\mu_2}$$

در نهایت تابع چهار جمله‌ای به صورت زیر برای غنی‌سازی گره‌های اطراف نوک ترک (برحسب

مختصات محلی نوک ترک $(F_l(r, \theta))$ مورد استفاده قرار می‌گیرد [۲۸]:

$$\{F_l(r, \theta)\} = \{\sqrt{r} \cos \frac{\theta}{2} \sqrt{g_1(\theta)}, \sqrt{r} \cos \frac{\theta}{2} \sqrt{g_2(\theta)}, \quad (38-2)$$

$$\sqrt{r} \sin \frac{\theta}{2} \sqrt{g_1(\theta)}, \sqrt{r} \sin \frac{\theta}{2} \sqrt{g_2(\theta)}\}$$

که $g_k(\theta)$ و θ_k از روابط (۲-۴۰) و (۲-۴۱) بدست می‌آیند [۲۹].

$$g_k(\theta) = \sqrt{(\cos\theta + \mu_{kx} \sin\theta)^2 + (\mu_{ky} \sin\theta)^2} \quad (39-2)$$

$$\theta_k = \arctg\left(\frac{\mu_{ky} \sin\theta}{\cos\theta + \mu_{kx} \sin\theta}\right) \quad (40-2)$$

همانطور که در معادله (۲-۳۹) قابل مشاهده است، توابع غنی‌سازی برحسب مختصات محلی نوک

ترک نوشته شده‌اند. لازم به ذکر است که این مختصات محلی کاملاً منطبق بر نوک ترک می‌باشد [۲۹].

۲-۳-۳-۲ توابع غنی‌سازی جدید دمایی برای ماده اورتوتروپیک

همانطور که قبلاً نیز ذکر شد توابع غنی‌سازی برای درجه آزادی دمایی کاملاً جدید می‌باشد و تا کنون

ارائه نشده‌است. روند بدست آوردن این توابع کاملاً مشابه روند به دست آوردن توابع غنی‌سازی جا به

جایی می‌باشد.

تابع دما در نوک ترک برای یک جسم اورتوتروپیک به صورت معادله (۲-۴۲) در نظر می‌گیریم [۲۶]:

$$T = h_0 \sqrt{2ar} \operatorname{Re}\left[\frac{-1}{k} \sqrt{\cos\theta + \mu \sin\theta}\right] \quad (41-2)$$

در این رابطه h_0 هدایت گرمایی، k ماتریس رسانش گرمایی (رابطه (۲-۴۳)) می‌باشند. در ضمن μ ریشه معادله مشخصه (معادله (۲-۴۴)) می‌باشد. [۲۶]

$$k = \begin{bmatrix} k_{11} & k_{12} \\ k_{21} & k_{22} \end{bmatrix}, k_{21} = k_{22} \quad (۲-۴۲)$$

$$k_{22}\mu^2 + (k_{12} + k_{21})\mu + k_{11} = 0 \quad (۲-۴۳)$$

همانطور که مشخص است این معادله دو ریشه دارد دقت شود، تنها ریشه‌ای قابل قبول است که $\text{img} > 0$ داشته باشد [۲۶].

در نهایت مانند بخش قبل توابع غنی‌سازی گره‌های اطراف نوک ترک برحسب مختصات محلی نوک ترک (مانند حالت جا به جایی) به صورت زیر بدست می‌آیند.

$$\{F_i(r, \theta)\} = \left\{ \sqrt{r} \cos \frac{\theta}{2} \sqrt{g(\theta)}, \sqrt{r} \sin \frac{\theta}{2} \sqrt{g(\theta)} \right\} \quad (۲-۴۴)$$

که $g_k(\theta)$ و θ_k از روابط (۲-۴۶) و (۲-۴۷) بدست می‌آیند [۲۶].

$$g = \sqrt{(\cos \theta + \mu \sin \theta)^2} \quad (۲-۴۵)$$

$$\theta = \arctan\left(\frac{\mu \sin \theta}{\cos \theta + \mu \sin \theta}\right) \quad (۲-۴۶)$$

همانطور که پیشتر ذکر شد اگر تئوری ترموالاستیسیته مورد استفاده در تحلیل مسائل حرارتی تئوری-های جفت شده مثل لردشلمان^۱ باشد، لازم است تعداد توابع غنی‌سازی دمایی و جا به جایی برابر باشد

^۱ در ادامه در این مورد بیشتر توضیح داده می‌شود.

زیرا در حالت ترموالاستیسیته جفت شده^۱ که معادلات انرژی و ناویر (معادلات به صورت توام و جفت شده حل می‌شوند^۲ در نتیجه درجات آزادی گره‌ها به صورت یکپارچه در غالب بردار u مطابق معادله (۴۸-۲) چیده می‌شوند). (مطابق آنچه در معادله (۵-۲) مشاهده شد).

$$\{u\} = \begin{bmatrix} U_1 \\ V_1 \\ U_2 \\ V_2 \\ \cdot \\ \cdot \\ \cdot \\ T_1 \\ T_2 \\ T_3 \\ \cdot \\ \cdot \\ \cdot \end{bmatrix} \quad (47-2)$$

همانطور که مشاهده می‌شود چون تمام درجات آزادی در حالت کوپل داخل یک بردار واحد قرار دارند. بنابراین عدم برابری توابع غنی‌سازی باعث اختلال در ابعاد ماتریس B برای جا به جایی و دما می‌شود، که این اتفاق سبب حل نشدن معادلات شده و جوابی بدست نمی‌آید. اما در حالت غیر کوپل^۳ چون معادلات انرژی و ناویر (مربوط به دما و جا به جایی) جداگانه حل می‌شوند، می‌تواند تعداد توابع غنی‌سازی دمایی^۲ و تعداد توابع غنی‌سازی جا به جایی^۴ باشد. (همانگونه که در این بخش و بخش قبل معرفی شدند) با توجه به این توضیحات برای برابر کردن تعداد توابع غنی‌سازی دمایی در حالت کوپل هر دو تابع را در تابع زاویه‌ای $\sin(\theta)$ ضرب می‌کنیم و داریم :

^۲ ترمو الاستیسیته کوپل یا Coupled Thermoelectricity

^۳ Classic Thermoelectricity

$$\{F_1(r, \theta)\} = \left\{ \sqrt{r} \cos \frac{\theta}{2} \sqrt{g(\theta)}, \sqrt{r} \sin \frac{\theta}{2} \sqrt{g(\theta)}, \sqrt{r} \cos \frac{\theta}{2} \sqrt{g(\theta)} \sin(\theta), \right. \\ \left. \sqrt{r} \sin \frac{\theta}{2} \sqrt{g(\theta)} \sin(\theta) \right\} \quad (48-2)$$

یعنی در حقیقت

$$F1 = \left\{ \sqrt{r} \cos \frac{\theta}{2} \sqrt{g(\theta)} \right\} \quad (49-2)$$

$$F2 = \left\{ \sqrt{r} \sin \frac{\theta}{2} \sqrt{g(\theta)} \right\}$$

$$F3 = \{F_1 \times \sin(\theta)\}$$

$$F4 = \{F_2 \times \sin(\theta)\}$$

توضیحات بیشتر در این مورد در فصول آتی ارائه می‌گردد.

۴-۲-۳-۲ توضیحات تکمیلی

اکنون با توجه به توضیحاتی که درباره غنی‌سازی ارائه گردید می‌توان با انتخاب گره‌های مناسب اسپلیت و نوک ترک^۱ مشابه بخش ۲-۱-۲ فرمول‌بندی جدیدی را برای گره‌های غنی شده ارائه داد. در این حالت تنها ماتریس B برای گره‌های اسپلیت و نوک ترک گسترده تر شده و توسعه می‌یابد. به طور مثال اگر گره a نیاز به غنی‌سازی نداشته باشد^۲ در حالت دو بعدی، ۲ درجه آزادی خواهد داشت و سهم آن در ماتریس [B] به صورت زیر خواهد بود: (مانند معادله (۸-۲))

$$B_a'' = \begin{bmatrix} N_{1,x} & 0 \\ 0 & N_{1,y} \\ N_{1,y} & N_{1,x} \end{bmatrix} \quad (50-2)$$

^۱ برای این کار روش‌های هندسی مختلفی وجود دارد که خارج از بحث این تحقیق است
^۲ گره معمولی باشد

اگر گره b نیاز به غنی‌سازی از طریق تابع $H(Z)$ داشته باشد^۱ در حالت دو بعدی ۴ درجه آزادی خواهد داشت و سهم آن در ماتریس $[B]$ به صورت زیر به دست می‌آید:

$$B_b = \begin{bmatrix} N_{1,x} & 0 & (\tilde{N}_j H(x_j))_{,x} & 0 \\ 0 & N_{1,y} & 0 & (\tilde{N}_j H(x_j))_{,y} \\ N_{1,y} & N_{1,x} & (\tilde{N}_j H(x_j))_{,y} & (\tilde{N}_j H(x_j))_{,x} \end{bmatrix} \quad (51-2)$$

اگر گره c نیاز به غنی‌سازی از طریق توابع غنی‌سازی^۲ داشته باشد در حالت دو بعدی ۱۰ درجه آزادی خواهد داشت و سهم آن در ماتریس $[B]$ به صورت رابطه (۵۳-۲) خواهد بود [۲۸]:

$$B_c|_{l=1,2,3,4} = \begin{bmatrix} N_{1,x} & 0 & (\tilde{N}_k F_k^l(x_k))_{,x} & 0 \\ 0 & N_{1,y} & 0 & (\tilde{N}_k F_k^l(x_k))_{,y} \\ N_{1,y} & N_{1,x} & (\tilde{N}_k F_k^l(x_k))_{,y} & (\tilde{N}_k F_k^l(x_k))_{,x} \end{bmatrix} \quad (52-2)$$

و به این صورت مانند بخش ۲-۱-۲ ماتریس سفتی و سفتی کل محاسبه می‌شوند.

۴-۲ روش انتگرال برهم‌کنش

۱-۴-۲ معرفی روش انتگرال برهم‌کنش

می‌توان نشان داد که میدان تنش در حوزه نوک ترک در یک پیوستار جامد مطابق معادله زیر

می‌باشد:

^۱ گره اسپلیت باشد
^۲ گره نوک ترک باشد

$$\sigma_{ij} = K_I (2\pi r)^{\frac{1}{2}} f_{ij}^I(\theta) + K_{II} (2\pi r)^{\frac{1}{2}} f_{ij}^{II}(\theta) \quad (53-2)$$

در این معادله K_I و K_{II} به ترتیب ضرایب شدت تنش مود اول و دوم هستند. [۲۹ و ۳۲]
 در سالیان اخیر روش‌های زیادی برای محاسبه ضرایب شدت تنش در مواد مختلف پیشنهاد شده است، این روش‌ها غالباً به دو دسته کلی زیر تقسیم بندی می‌شوند.

◆ روش‌های مستقیم: روش‌هایی هستند که مقادیر ضرایب شدت تنش به طور مستقیم از نتایج عددی استخراج می‌شوند مانند روش انطباق نقطه‌ای^۱ که با استفاده از تغییر مکان گره‌ها ضرایب شدت تنش را محاسبه می‌کنند.

◆ روش‌های انرژی: در این روش‌ها ابتدا نرخ رهایش انرژی محاسبه شده و سپس با استفاده از آن ضرایب شدت تنش محاسبه می‌شود. مثل روش انتگرال برهم‌کنش

معمولاً روش‌های با مبنا انرژی دقیق‌تر هستند و بر روش‌های مستقیم ترجیح داده می‌شوند. اما روش‌های مستقیم نیز قابلیت‌هایی دارند به خصوص برای چک کردن سنجیدن صحت جواب‌های حاصل شده از روش انرژی مفید می‌باشند.

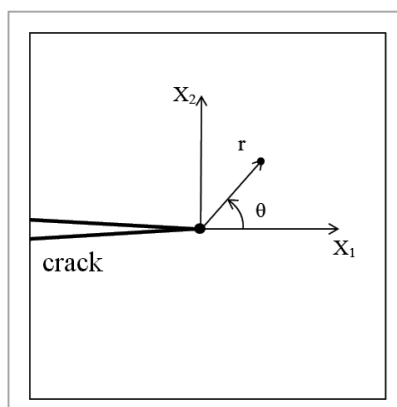
در این بخش از روش انتگرال برهم‌کنش برای محاسبه ضرایب شدت تنش در یک ماده اورتوتروپیک استفاده می‌گردد. محاسبه پارامترهای ضرایب شدت تنش با استفاده از انتگرال برهم‌کنش نیازمند استفاده از میدان‌های کمکی نظیر میدان جابجایی، میدان کرنش و میدان تنش است. در تحلیل مکانیک شکست مواد مرکب معمولاً از میدان‌های کمکی مواد همگن استفاده می‌شود.

^۱ Point matching method

۲-۴-۲ میدان‌های کمکی در روش انتگرال برهم کنش

همانطور که پیشتر ذکر شد، بکارگیری انتگرال برهم کنش نیازمند کاربرد میدان‌های کمکی جا به جایی u^{aux} ، کرنش ε^{aux} و تنش σ^{aux} است. میدان‌های کمکی مذکور بر حسب نوع کمیت مورد محاسبه یعنی ضرایب شدت تنش تعریف می‌شود. این میدان‌ها معمولاً یا از روش‌های عددی و یا تحلیلی بدست آمده و مورد استفاده قرار می‌گیرند.

به منظور محاسبه ضرایب شدت تنش، معمولاً از حل تحلیلی ویلیامز برای یک ترک لبه‌ای در مواد همگن استفاده می‌شود. میدان‌های مذکور برای مواد اورتوتروپیک با در نظر گرفتن خصوصیات ماده در نوک ترک بدست می‌آیند. به شکل ۴-۲ توجه کنید، ترک لبه‌ای با مختصات محلی قطبی (r, θ) و دکارتی (X_1, X_2) قابل مشاهده است.



شکل ۴-۲ صفحه دوبعدی اورتوتروپیک شامل ترک لبه‌ای به همراه مختصات‌های قطبی و دکارتی محلی نوک ترک

در مسئله شکل ۴-۲ توابع کمکی به صورت معادلات ۵۵-۲ و ۵۶-۲ در نظر گرفته می‌شوند.

$$\sigma_{ij}^{aux} = K_I^{aux} (2\pi r)^{-\frac{1}{2}} f_{ij}^I(\theta) + K_{II}^{aux} (2\pi r)^{-\frac{1}{2}} f_{ij}^{II}(\theta) \quad (54-2)$$

$$u_i^{aux} = K_I^{aux} \sqrt{\frac{2r}{\pi}} g_i^I(\theta) + K_{II}^{aux} \sqrt{\frac{2r}{\pi}} g_i^{II}(\theta) \quad (55-2)$$

در این معادلات K_I^{aux} و K_{II}^{aux} ضرایب شدت تنش موده‌های I و II کمکی می‌باشند، همچنین

توابع زاویه‌ای $f_{ij}(\theta)$ و $g_i(\theta)$ نیز در بخش قبل معرفی گردیده‌اند. (بخش ۲-۳-۲-۲) [۳۳]

۳-۴-۲ فرمول بندی حل با انتگرال برهم کنش

انتگرال برهم کنش در واقع عبارت برهم کنش دو حالت بارگذاری مستقل و قابل قبول برای سازه حاوی ترک است که در انتگرال های پایستار الاستیسیته پدید می آید. در این بخش روند بدست آوردن انتگرال مذکور بررسی می شود.

فرم معمول انتگرال J برای یک ترک بدون اعمال نیرو به سطوح آن، بصورت زیر است [۳۲]:

$$J = \lim_{\Gamma_s \rightarrow 0} \int_{\Gamma_s} (W\delta_{1j} - \sigma_{ij}u_{i,1})n_j d\Gamma_s \quad (۵۶-۲)$$

در رابطه (۴۸-۲) u_i مولفه های بردار تغییر مکان n_j بردار یکه و عمود رو به خارج منحنی و W چگالی انرژی کرنشی مکانیکی به صورت زیر است (معادله (۵۸-۲)):

$$W = \frac{1}{2} \sigma_{ij} \varepsilon_{ij}^m = \frac{1}{2} \sigma_{ij} (e_{ij} - \varepsilon_{ij}^{th}) \quad (۵۷-۲)$$

بدلیل محاسبه آسان تر و دقیق تر انتگرال های سطح به صورت عددی، مناسب است انتگرال خطی فوق بصورت یک انتگرال ناحیه ای معادل نوشته شود.

برای تبدیل فرم کانتوری انتگرال J به یک فرم ناحیه ای معادل انتگرال کانتوری زیر تعریف می شود:

$$I = \int_{\Gamma} (W\delta_{1j} - \sigma_{ij}u_{i,1})m_j q d\Gamma \quad (۵۸-۲)$$

که در آن، $\Gamma = \Gamma_o + \Gamma^+ - \Gamma_s + \Gamma^-$ و m_i بردار یکه و عمود رو به خارج کانتور Γ می باشد. (یعنی $m_i = n_i$ روی Γ_o و $m_i = -n_i$ روی Γ_s) در این رابطه، q تابع وزنی دلخواه و همواری می باشد که از $q = 1$ روی Γ_s تا $q = 0$ روی Γ_o تغییر می کند. (به شکل ۵-۲ توجه کنید).

$$J^s = \int_A \left[(\sigma_{ij} + \sigma_{ij}^{aux})(u_{i,1} + u_{i,1}^{aux}) - \frac{1}{2}(\sigma_{ik} + \sigma_{ik}^{aux})(\varepsilon_{ik} + \varepsilon_{ik}^{aux})\delta_{1j} \right] q_{,j} dA \quad (۶۱-۲)$$

$$+ \int_A \left[(\sigma_{ij} + \sigma_{ij}^{aux})(u_{i,1} + u_{i,1}^{aux}) - \frac{1}{2}(\sigma_{ik} + \sigma_{ik}^{aux})(\varepsilon_{ik} + \varepsilon_{ik}^{aux})\delta_{1j} \right] q dA$$

در نتیجه می‌توان رابطه (۶۲-۲) را به صورت رابطه (۶۳-۲) نوشت:

$$J^s = J + J^{aux} + M \quad (۶۲-۲)$$

که در آن J^{aux} از معادله (۶۴-۲) حساب می‌شود

$$J^{aux} = \int_A (\sigma_{ij}^{aux} u_{i,1}^{aux} - W^{aux} \delta_{1j}) q_{,j} dA + \int_A (\sigma_{ij}^{aux} u_{i,1}^{aux} - W^{aux} \delta_{1j}) q dA \quad (۶۳-۲)$$

که داریم:

$$W^{aux} = \frac{1}{2} \sigma_{ik}^{aux} \varepsilon_{ik}^{aux} \quad (۶۴-۲)$$

و در نهایت انتگرال برهم‌کنش M نیز از رابطه (۶۶-۲) حاصل می‌شود [۳۴]:

$$M = \int_A (\sigma_{ij} u_{i,1}^{aux} + \sigma_{ij}^{aux} u_{i,1} - W^{int} \delta_{1j}) q_{,j} dA \quad (۶۵-۲)$$

$$+ \int_A (\sigma_{ij} u_{i,1}^{aux} + \sigma_{ij}^{aux} u_{i,1} - W^{int} \delta_{1j}) q dA$$

که در آن W^{int} تابع چگالی انرژی کرنشی مکانیکی برهم‌کنش است و تعریف می‌شود

[۳۱ و ۳۴ و ۱۹]:

$$W^{int} = \sigma_{ik} \varepsilon_{ik}^{aux} \quad (۶۶-۲)$$

۴-۴-۲ استخراج ضرایب شدت تنش

رابطه بین انتگرال برهم‌کنش و ضرایب شدت تنش K_I و K_{II} بصورت زیر قابل بیان است [۳۴]:

$$M = 2c_{11} K_I K_I^{aux} + c_{12} (K_I K_{II}^{aux} + K_I^{aux} K_{II}) + 2c_{22} K_{II} K_{II}^{aux} \quad (۶۷-۲)$$

و داریم:

$$c_{11} = -\frac{a_{22}}{2} \operatorname{Im}\left(\frac{\mu_1 + \mu_2}{\mu_1 \mu_2}\right) \quad (68-2)$$

$$c_{12} = -\frac{a_{22}}{2} \operatorname{Im}\left(\frac{1}{\mu_1 \mu_2}\right) + \frac{a_{11}}{2} \operatorname{Im}(\mu_1 \mu_2)$$

$$c_{22} = \frac{a_{11}}{2} \operatorname{Im}(\mu_1 + \mu_2)$$

در رابطه بالا a_{ij} اعضاء ماتریس نرمی کاهش یافته می‌باشند که پیشتر درباره آن‌ها توضیحاتی ارائه شد.

با انتخاب مناسب میدان‌های کمکی ضرایب شدت تنش، K_I و K_{II} با حل رابطه زیر بدست می‌آید

[۳۴].

$$M^{(1)} = 2c_{11}K_I + c_{12}K_{II} \leftarrow (K_I^{aux} = 1, K_{II}^{aux} = 0) \quad (69-2)$$

$$M^{(2)} = c_{12}K_I + 2c_{22}K_{II} \leftarrow (K_I^{aux} = 0, K_{II}^{aux} = 1)$$

با حل دو معادله، دو مجهول بالا بر حسب $M^{(1)}$ و $M^{(2)}$ ، مقادیر K_I و K_{II} بدست می‌آید (رابطه

(۷۱-۲) [۳۴].

$$K_I = \frac{2c_{22}M^{(1)} - c_{12}M^{(2)}}{4c_{11}c_{22} - c_{12}^2} \quad (70-2)$$

$$K_{II} = \frac{2c_{11}M^{(2)} - c_{12}M^{(1)}}{4c_{11}c_{22} - c_{12}^2}$$

در نهایت با داشتن ضرایب شدت تنش در یک مسئله می‌توان آن مسئله را تحلیل کرد.

فصل ۳: تحلیل دینامیکی

(۱) مقدمه

(۲) معادلات حاکم و گسسته‌سازی در حالت دینامیکی

(۳) انتگرال برهم‌کنش در حالت دینامیکی

۱-۳ مقدمه

این قسمت به شبیه سازی تجزیه و تحلیل دینامیکی ترک ثابت در مواد اورتوتروپیک با استفاده از روش المان محدود توسعه یافته اختصاص یافته است. این کار در واقع گسترش مسائل دینامیکی اورتوتروپیک است که به تازگی توسعه یافته و از روش المان محدود توسعه یافته برای تجزیه و تحلیل شکست مواد اورتوتروپیک استفاده می شود.

در این فصل نیز، همانند فصل قبل، توابع هویساید و توابع غنی سازی نزدیک به نوک در قالب یک پیکربندی واحد برای مدل سازی ناپیوستگی ترک و نوک ترک در روش المان محدود استفاده می شود. برای تعیین خواص شکست، ضرایب شدت تنش دینامیکی^۱ مانند فصل قبل با استفاده از انتگرال برهم کنش ارزیابی می شود.

۲-۳ معادلات حاکم و گسسته سازی در حالت دینامیکی

همانطور که در بخش ۱-۳ اشاره شد تحلیل ها در این رساله دینامیکی است. از این رو علاوه بر پارامترهای معرفی شده در فصل ۲ زمان نیز در مسئله ادغام می شود. از این جهت ابتدا توضیح مختصری درباره پارامتر زمان و اضافه شدن آن در مسئله داده می شود

۱-۲-۳ تاثیر پارامتر زمان در معادلات حاکم

همانطور که ذکر شد در این فصل زمان نیز وارد مسأله می شود، در این حالت معادلات حرکت و شرایط مرزی و شرایط اولیه (به علت وجود پارامتر زمان) به صورت معادله (۱-۳) و (۲-۳) می باشند:

^۱ DSIFs

$$\nabla \cdot \sigma + b = \rho \ddot{u} \quad \text{in } \Omega \quad (1-3)$$

$$\sigma \cdot n = \bar{t} \quad \text{on } \Gamma_t \quad (2-3)$$

$$\sigma \cdot n = 0 \quad \text{on } \Gamma_d$$

$$u(x, t = 0) = \bar{u}(0)$$

$$\dot{u}(x, t = 0) = \bar{\dot{u}}(0)$$

که n بردار نرمال یکه می باشد. در بالا σ تانسور تنش کوشی و b چگالی نیروی حجمی است.

همچنین معادله زیر جایگزین معادله (۲-۲) در فصل ۲ می گردد:

$$M \ddot{u} + K u = f^{ext} \quad (3-3)$$

مقدار بردار نیرو f^{ext} و ماتریس سفتی K مشابه فصل ۲ بدست می آیند. ماتریس M ، ماتریس جرم

می باشد و مطابق زیر بدست می آید

۳-۲-۲ محاسبه ماتریس جرم برای انواع المان ها

ماتریس جرم هر المان به صورت زیر به دست می آید:

$$M_e = \int_{\Omega^h} [N]^T \rho [N] d\Omega \quad (4-3)$$

در رابطه (۲-۴)، ρ چگالی ماده است و $[N]$ ماتریس گسسته سازی شده توابع شکل توسعه یافته

می باشد و مولفه های آن به صورت زیر است:

$$[N] = [N_i^u \quad N_j^a \quad N_k^{b1} \quad N_k^{b2} \quad N_k^{b3} \quad N_k^{b4}] \quad (5-3)$$

در این رابطه:

$$N_i^u = \begin{bmatrix} N_i & 0 \\ 0 & N_i \end{bmatrix} \quad (6-3)$$

$$N_j^a = \begin{bmatrix} N_j H(x_j) & 0 \\ 0 & N_j H(x_j) \end{bmatrix} \quad (7-3)$$

$$N_k^{bl} \Big|_{l=1,2,3,4} = \begin{bmatrix} N_k F_k'(x_k) & 0 \\ 0 & N_k F_k'(x_k) \end{bmatrix} \quad (8-3)$$

فقط باید به معیارهای غنی‌سازی که در قسمت توضیحات تکمیلی فصل ۲ (بخش ۲-۳-۲-۴) ذکر

شد توجه کرد. برای جلوگیری از اتلاف وقت و حوصله از تکرار مجدد آن مطالب صرف نظر می‌کنیم.

مونتاز کردن ماتریس M و کلا تمام ماتریس‌ها در المان محدود مانند مونتاز کردن ماتریس سفتی

است که در بخش ۲-۱-۲-۵ توضیح داده شد.

۳-۲-۳ حل مسئله دینامیکی

برای حل مسائل دینامیکی به روش عددی راه‌های زیادی وجود دارد. در این مطالعه، روش

نیومارک نیرو کنترل^۱ مورد استفاده قرار می‌گیرد.

در هر مرحله زمانی n، معادلات نهایی گسسته به طور همزمان بیان شده:

$$\ddot{u}_n = \frac{F - K \left(u_{n-1} + \Delta t \dot{u}_{n-1} + (1-2\beta) \frac{\Delta t^2}{2} \ddot{u}_{n-1} \right) - C (\dot{u}_{n-1} + (1-\alpha) \Delta t \ddot{u}_{n-1})}{(M + \beta \Delta t^2 K + \alpha \Delta t C)} \quad (9-3)$$

$$\dot{u}_n = \dot{u}_{n-1} + (1-\alpha) \Delta t \ddot{u}_{n-1} + \alpha \Delta t \ddot{u}_n$$

$$u_n = u_{n-1} + \Delta t \dot{u}_{n-1} + (1-2\beta) \frac{\Delta t^2}{2} \ddot{u}_{n-1} + \beta \Delta t^2 \ddot{u}_n$$

^۱ Load control

که در آن u_n ، \dot{u}_n و \ddot{u}_n به ترتیب بردار جابجایی، بردار سرعت و بردار شتاب گره‌ها می‌باشند. M ، K و C به ترتیب ماتریس جرم، سفتی و ماتریس میرایی (دمپینگ) می‌باشند. F بردار نیرو و Δt افزایش زمان در هر گام (n) می‌باشد. در اینجا، پارامترهای $\alpha=0.5$ و $\beta=0.25$ در نظر گرفته می‌شوند [۳۶، ۲۲ و ۱۸].

در صورتی که میرایی وجود نداشته باشد روابط بالا به صورت زیر تغییر می‌کنند.

$$\ddot{u}_n = \frac{F - K \left(u_{n-1} + \Delta t \dot{u}_{n-1} + (1-2\beta) \frac{\Delta t^2}{2} \ddot{u}_{n-1} \right)}{(M + \beta \Delta t^2 K + \alpha \Delta t C)} \quad (۱۰-۳)$$

$$\dot{u}_n = \dot{u}_{n-1} + (1-\alpha) \Delta t \ddot{u}_{n-1} + \alpha \Delta t \ddot{u}_n$$

$$u_n = u_{n-1} + \Delta t \dot{u}_{n-1} + (1-2\beta) \frac{\Delta t^2}{2} \ddot{u}_{n-1} + \beta \Delta t^2 \ddot{u}_n$$

۳-۳ انتگرال برهم‌کنش در حالت دینامیکی

با اضافه کردن یک ترم به انتگرال برهم‌کنش در حالت استاتیکی، انتگرال برهم‌کنش در حالت دینامیکی نیز بدست می‌آید. میدان‌های کمکی مانند قبل می‌باشند (رابطه (۲-۶۷)) [۳۴].

$$M = \int_A (\sigma_{ij} u_{i,1}^{aux} + \sigma_{ij}^{aux} u_{i,1} - W^{int} \delta_{1j}) q_{,j} dA + \int_A (\rho \ddot{u}_i u_{i,1}^{aux}) q dA \quad (۱۱-۳)$$

در این رابطه u_i مولفه‌های بردار تغییر مکان است، و \ddot{u}_i مولفه‌های بردار شتاب است، که در بخش قبلی برای تمامی گره‌ها بدست آمده است.

با توجه به مولفه‌های بردار تغییر مکان و جایگذاری در روابط ((۴-۱) و ((۸-۲) مقدار تنش σ_{ij} نیز بدست می‌آید. مقادیر تنش و جابه‌جایی‌های کمکی نیز با توجه به روابط ((۵۵-۲) و ((۵۶-۲) بدست خواهند آمد. رابطه بین انتگرال برهم‌کنش و ضرایب شدت تنش K_I و K_{II} نیز در بخش ۲-۴-۴ به حد کافی توضیح داده شده‌اند. انتخاب مناسب میدان‌های کمکی (مود I و مود II) ضرایب شدت تنش K_I و K_{II} مشابه آنچه در آخرین بخش فصل قبل ذکر شد محاسبه می‌شوند.

^۱ روابط تنش کرنش و کرنش جا به جایی

فصل ۴: تحلیل و نتایج ورق اورتوتروپیک ترک‌دار تحت شوک حرارتی

با تئوری غیر کوپل^۱

(۱) مقدمه

(۲) معرفی معادلات حاکم و گسسته‌سازی

(۳) چیدمان درجات آزادی در برنامه رایانه‌ای

(۴) حل مثال‌های عددی و تحلیل نتایج

^۱ Un Coupled

همانطور که در فصول گذشته ذکر شد، در این تحقیق هدف محاسبه ضرایب شدت تنش در یک ورق محدود اورتوتروپیکی است که تحت شوک حرارتی قرار گرفته است. برای این منظور جهت تحلیل و محاسبه ضرایب شدت تنش به دو معادله ناویر که همان معادلات اساسی الاستیسیته است که بر حسب جا به جایی نوشته شده (که خود در فضای دو بعدی شامل دو معادله است)، و معادله انرژی نیاز داریم. با توجه به تئوری ترموالاستیسیته مورد استفاده معادله انرژی قابل بازنویسی است [۱۹ و ۳۵]. در این فصل و فصول آتی نتایج سه تئوری غیرکوپل، کوپل و لرد شلمان به ترتیب بررسی شده است.^۱

در ترموالاستیسیته غیرکوپل معادلات حاکم، یعنی معادلات ناویر و معادله انرژی، با یکدیگر جفت نشده و به صورت جدا و بررسی شده و در انتها اثر هریک از آن‌ها در مسئله اعمال می‌شود. با توجه به تئوری غیرکوپل، وجود کرنش مکانیکی باعث بالارفتن دما نمی‌شود و بالعکس [۳۵].

توضیح این نکته ضروری است که معادلات ناویر، همان معادلات حرکت هستند که با تلفیق معادلات ساختاری و سینماتیک بر حسب جابه‌جایی‌ها نوشته شده‌اند. در فصل بعد نحوه بدست آوردن معادلات ناویر به طور کامل توضیح داده شده است [۱۹].

۴-۲ معرفی معادلات حاکم و گسسته سازی

همانطور که در مقدمه ذکر شد معادلات ترموالاستیسیته غیرکوپل شامل معادلات ناویر (در فضای دو بعدی دو معادله) و معادله انرژی (یک معادله) می‌باشند، که جدا از هم گسسته شده و فرم ماتریسی المان محدود توسعه یافته آن‌ها نوشته می‌شود.

^۱ در فصل ششم بخش ۴ توضیح تکمیلی درباره این تئوری‌ها داده شده است.

۴-۲-۱ معادلات ناویر

همانطور که در مقدمه ذکر شد معادلات ناویر همان معادلات حرکت هستند که برحسب جا به جایی نوشته شده است. گسسته‌سازی این معادلات در فصل گذشته انجام شده است. (لازم به ذکر است در فصل گذشته برای سهولت در محاسبات مربوط به گسسته‌سازی از معادلات حرکت به جای معادلات ناویر استفاده شد.) در اینجا تنها برای یادآوری فرم ماتریسی معادلات و پارامترها را یادآوری می‌کنیم. فرم ماتریسی معادله حرکت:

$$M\ddot{u} + K u = f^{ext} \quad (1-4)$$

مقدار بردار نیرو f^{ext} و ماتریس سفتی K مشابه فصل ۲ بدست می‌آیند. ماتریس M ، ماتریس جرم می‌باشد. و داریم:

ماتریس سفتی:

$$K = \int_{\Omega} [B]^T [C] [B] d\Omega \quad (2-4)$$

ماتریس جرم:

$$M = \int_{\Omega} [N]^T \rho [N] d\Omega \quad (3-4)$$

که در این روابط Ω قلمرو المان مورد نظر برای انتگرال است.

یادآوری و ذکر چند نکته در اینجا ضروری به نظر می‌رسد:

۱) ماتریس‌های معادلات (۳-۴) و (۲-۴) در مختصات جهانی نوشته شده‌اند. برای حساب کردن

آن‌ها در مختصات محلی باید مانند معادله (۷-۲) انتگرال در دترمینان ژاکوبین $(\det(j))$ ضرب

شود.

۲) باید به معیارهای غنی‌سازی که در قسمت توضیحات تکمیلی فصل ۲ (بخش ۲-۳-۲-۴) ذکر شد توجه کرد.

۲-۲-۴ معادله انرژی

قانون اول ترمودینامیک، تعادل انرژی گرمایی در یک پیوستار جامد را به صورت زیر بیان می‌کند:

$$-div(q) + Q = \rho c \frac{\partial T}{\partial t} \quad (۳-۴)$$

که در آن q بردار شار حرارتی، Q نرخ تولید انرژی داخلی در پیوستار در واحد حجم و زمان واحد، T میدان اسکالر دمای مطلق، ρ چگالی جرمی و c حرارت ویژه جامد است. قانون تجربی هدایت گرمایی فوریه در یک جامد غیر همسانگرد مولفه‌های بردار شار حرارتی را به گرادیان‌های دما مربوط می‌کند.

$$q = -K^{cond} grad(T) \quad (۴-۴)$$

در این عبارت، K^{cond} بردار ثابت‌های هدایت گرمایی برای یک جامد غیر همسانگرد است. در حالت کلی، مولفه‌های ماتریس K^{cond} تابع دما می‌باشد، اما برای گستره کم دمایی، می‌توان این ضرایب را با تقریب قابل قبولی مستقل از دما و ثابت فرض نمود. بردار شار حرارتی q و ماتریس هدایت گرمایی K^{cond} در حالت صفحه‌ای به صورت زیر تعریف می‌شوند:

$$q = \begin{Bmatrix} q_1 \\ q_2 \end{Bmatrix} \quad (۵-۴)$$

$$K^{cond} = \begin{bmatrix} K_{11} & K_{12} \\ K_{21} & K_{22} \end{bmatrix} \quad (۶-۴)$$

با جایگزینی روابط شار حرارتی (۵-۴) و (۶-۴) در معادله تعادل گرمایی (۳-۴)، معادله حاکم بر

توزیع دما در یک پیوستار جامد طی فرآیند هدایت گرمایی بدست می‌آید [۱۸].

شرط اولیه معادله حاکم به صورت معادله (۷-۴) است:

$$T(x, y, z, 0) = T_0(x, y, z) \quad \text{in } t=0 \quad (۷-۴)$$

شرایط مرزی نیز مطابق شکل ۱-۴ به صورت یکی یا ترکیبی از شرایط زیر است:

۱- دمای سطح S_1 طی فرآیند انتقال گرما معلوم و برابر T_s باشد:

$$T(x, y, z, t) = T_s \quad \text{on } S_1 \quad \& \quad t > 0 \quad (۸-۴)$$

۲- شار حرارتی منتقل شده از سطح S_2 طی فرآیند انتقال دما:

$$-q.n = q'' \quad \text{on } S_2 \quad \& \quad t > 0 \quad (۹-۴)$$

که در آن، n بردار یکه عمود بر سطح در هر نقطه از S_2 می باشد.

۳- روی سطح S_3 جامد با سیالی به صورت همرفت تبادل گرما داشته باشد.

$$-q.n + h(T - T_\infty) = 0 \quad \text{on } S_3 \quad (۱۰-۴)$$

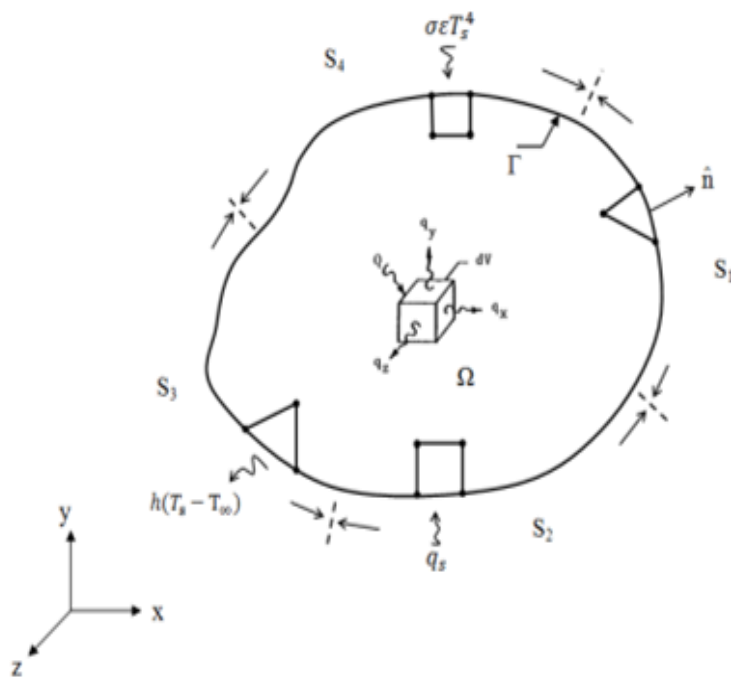
در این عبارت، h ضریب همرفت و T_∞ دمای محیط است.

سطح S_4 در معرض تابش قرار داشته باشد.

$$-q.n + \sigma \varepsilon T^4 = \alpha q_r \quad \text{on } S_4 \quad \& \quad t > 0 \quad (۱۱-۴)$$

در این عبارت، σ ثابت استفان بولتزمن، ε ثابت تابش سطح مرزی، α ضریب جذب سطح

مرزی و q_r نرخ شار حرارتی واحد سطح است که به سطح مرزی می رسد [۱۸].



شکل ۱-۴) شرایط مرزی مختلف اعمال شده در حالت کلی [۱۸]

۲-۲-۲-۴ فرم ضعیف معادله انرژی

طبق روش گلرکین، با عمود کردن توابع شکل بر باقیمانده معادله تعادل گرمایی، رابطه (۴-۱۲)

بدست می‌آید: [۱۸ و ۲۲].

$$\int_{\Omega} \left(-\text{div}(q) + Q - \rho c \frac{\partial T}{\partial t} \right) \eta d\Omega = 0 \quad (۴-۱۲)$$

در این رابطه η تابع شکل است.

با استفاده از قضیه انتگرال گاوس و انتگرال گیری جز به جز، می‌توان فرم ضعیف رابطه بالا را

بدست آورد. با در نظر گرفتن رابطه (۶-۱۳) داریم:

$$\nabla(\eta q) = \nabla \eta \cdot q + \nabla q \cdot \eta \quad (13-4)$$

عبارت اول رابطه (12-4) به صورت زیر نوشته می شود.

$$\int_{\Omega} -\eta \nabla q d\Omega = \int_{\Omega} -\nabla(\eta q) d\Omega + \int_{\Omega} \nabla \eta \cdot q d\Omega \quad (14-4)$$

بطور مشابه ، با استفاده از قضیه انتگرال گاوس عبارت اول طرف راست رابطه (14-4) به انتگرال

مرزی تبدیل می شود:

$$\int_{\Omega} -\eta \nabla q d\Omega = \int_S -\eta q \cdot n dS + \int_{\Omega} \nabla \eta \cdot q d\Omega \quad (15-4)$$

جایگزینی رابطه (15-4) در رابطه (12-4) منجر به معادله زیر می شود:

$$\int_{\Omega} \rho c \frac{\partial T}{\partial t} \eta d\Omega - \int_{\Omega} \nabla \eta \cdot q d\Omega = \int_{\Omega} Q \eta d\Omega - \int_S \eta q \cdot n dS \quad (16-4)$$

اکنون مطابق با شرایط مرزی مسأله که یکی یا ترکیبی از روابط (4-8 تا 4-11) روی هر قسمت

مرز می تواند باشد. انتگرال روی مرز این معادله (16-4) به انتگرال روی قسمت‌هایی از مرز شکسته

می شود. با لحاظ کردن شرایط مرزی فرم ضعیف معادله بر هدایت گرمایی به صورت رابطه (4-17)

نوشته می شود [18].

$$\int_{\Omega} \rho c \frac{\partial T}{\partial t} \eta d\Omega - \int_{\Omega} \nabla \eta \cdot q d\Omega = \int_{\Omega} Q \eta d\Omega - \int_{S_r} \eta (q \cdot n) dS - \int_{S_q} \eta (q'' \cdot n) dS - \int_{S_{conv}} h (T - T_{\infty}) dS - \int_{\Gamma_{rad}} \eta (\sigma \varepsilon T^4 - \alpha q_r) d\Gamma \quad (17-4)$$

طبق قانون فوریه، گرادیان دما و شار حرارتی در جهت‌های مختلف با رابطه زیر به هم مربوط می

شوند:

$$q = -K^{cond} \nabla T \quad (18-4)$$

با جایگزینی رابطه بالا در معادله (17-4) ، فرم ضعیف معادله حاکم بر هدایت گرمایی به صورت

زیر نوشته می شود [18].

$$\int_{\Omega} \rho c \frac{\partial T}{\partial t} \eta d\Omega - \int_{\Omega} \nabla \eta \cdot K^{cond} \nabla T d\Omega = \int_{\Omega} Q \eta d\Omega \quad (19-4)$$

$$- \int_{S_r} \eta (q \cdot n) dS - \int_{S_q} \eta (q'' \cdot n) dS - \int_{S_{conv}} h (T - T_{\infty}) dS - \int_{S_{rad}} \eta (\sigma \varepsilon T^4 - \alpha q_r) dS$$

طبق تقریب المان محدود گالرکین توابع شکل همان توابع شکل هستند [۲۲]. پس از این به بعد در روابط به جای η از تابع شکل (N) استفاده می‌کنیم.

۳-۲-۲-۴ گسسته‌سازی معادله انرژی و نکات پیرامون آن

اکنون از تقریب المان محدود^۱ استفاده می‌کنیم.

$$t^h = N t \quad (20-4)$$

در این عبارت، N بردار توابع شکل، n تعداد گره‌های ناحیه و t بردار دمای گره‌های ناحیه تکیه‌گاهی نقطه مورد نظر است. رابطه (۲۰-۴) را می‌توان به مانند رابطه (۱-۲) نوشت:

$$t^h = \sum_i^n N_i t_i \quad (21-4)$$

که در آن، N_i تابع شکل گره i ام و t_i دمای گرهی آن است. درست مانند چیزی که در فصل دوم برای معادلات حرکت (ناویر) داشتیم.

با استفاده از تقریب المان محدود گرادیان دما به شکل رابطه (۲۲-۴) نوشته می‌شود.

$$\nabla t^h = \begin{bmatrix} \frac{\partial}{\partial x} \\ \frac{\partial}{\partial y} \end{bmatrix} [N_1 \quad \dots \quad N_n] \begin{Bmatrix} t_1 \\ \vdots \\ t_n \end{Bmatrix} = \begin{bmatrix} \frac{\partial N_1}{\partial x} & \dots & \frac{\partial N_n}{\partial x} \\ \frac{\partial N_1}{\partial y} & \dots & \frac{\partial N_n}{\partial y} \end{bmatrix} \begin{Bmatrix} t_1 \\ \vdots \\ t_n \end{Bmatrix} = B_{(3 \times n)}^{th} t_{(n \times 1)} \quad (22-4)$$

^۱ توابع شکل در حالت مکانیکی و حرارتی یکسان هستند و تنها به تعداد گره‌های یک المان بستگی دارند.
^۲ فصل دوم رابطه (۱-۲)

مشابه ماتریس B که در رابطه (۲-۸) فصل دوم برای حالت مکانیکی تعریف شد^۱، در اینجا برای

حالت حرارتی نیز ماتریس B^{TH} تعریف می‌شود، که به آن ماتریس عملگر گرادیان می‌گویند [۱۸].

همانطور که قابل مشاهده است ردیف‌های دو ماتریس B و B^{TH} برای یک المان مشابه یکی است.

اما ستون‌های ماتریس B برای یک المان مشابه دو برابر ستون‌های ماتریس B^{TH} است. به عبارت بهتر

اگر n تعداد گره‌های یک المان مشخص باشد. (با احتساب گره‌های مجازی در المان‌های اسپلیت و

نوک ترک) سائز این دو ماتریس از رابطه (۴-۲۳) حساب می‌شود.

$$size(B) = (3 \times 2n) \quad (۴-۲۳)$$

$$size(B^{TH}) = (2 \times n)$$

در حقیقت این دو ماتریس، جز اصلی‌ترین ماتریس‌ها در محاسبات المان محدود (چه کلاسیک و

چه توسعه یافته هستند).

اکنون با توجه به روابطی که ذکر شد می‌توان جمله دوم فرم ضعیف معادله را (رابطه ۴-۱۹) به

صورت رابطه (۴-۲۴) بازسازی کرد [۱۸ و ۲۲].

$$\int_{\Omega} (\nabla N)^T (K^{cond} \nabla t) d\Omega = \int_{\Omega} \left(\sum_i^n B_i^{th} t_i \right)^T \left(\sum_J^n K^{cond} B_J^{th} t_J \right) d\Omega \quad (۴-۲۴)$$

$$= \int_{\Omega} \sum_i^n \sum_J^n N_i^T [B_i^{th T} K^{cond} B_J^{th}] t_J d\Omega$$

لازم به یادآوری است علامت T در بالای ماتریس B به معنی ترانپوز است.

تا اینجا، گره‌ها در ناحیه محلی تکیه‌گاهی شماره‌گذاری می‌شوند، i و J شماره‌های محلی گره‌ها

هستند. از این پس، شماره‌گذاری گره‌ها از سیستم‌های محلی به شماره‌گذاری آن‌ها در سیستم کل

تغییر می‌کند. در سیستم کل (بعد از مونتاژ کردن ماتریس‌ها)^۲ تمام گره‌های مساله دارای یک شماره

^۱ ماتریس کرنش جابه‌جایی گره‌ها؛ به فصل دوم رابطه ۲-۸ رجوع شود.

^۲ مشابه بخش ۲-۱-۵

واحد از ۱ تا n می‌باشند. بنابراین در رابطه (۴-۲۴) شماره گره‌های I و J می‌تواند از ۱ تا n تغییر کند. اگر I و J در یک ناحیه تکیه‌گاهی واحد قرار نداشته باشند؛ عبارت داخل انتگرال رابطه (۴-۲۴) صفر می‌شود. با در نظر گرفتن شماره گذاری در کل سیستم رابطه (۴-۲۴) به صورت زیر بیان می‌شود [۱۸].

$$\int_{\Omega} (\nabla N)^T (K^{cond} \nabla \theta) d\Omega = \int_{\Omega} \sum_i^n \sum_J^n N_i^T [B_i^{th T} K^{cond} B_J^{th}] t_J d\Omega \quad (۴-۲۵)$$

می‌توان عملگر انتگرالگیری را به داخل عملگرهای جمع منتقل نمود (رابطه ۴-۲۶).

$$\int_{\Omega} (\nabla N)^T (K^{cond} \nabla t) d\Omega = \sum_i^n \sum_J^n N_i^T \left[\int_{\Omega} [B_i^{th T} K^{cond} B_J^{th}] d\Omega t_J \right] \quad (۴-۲۶)$$

در نهایت از رابطه (۴-۲۶) رابطه ماتریس سفتی حرارتی به صورت زیر بدست می‌آید.

$$K^{th} = \int_{\Omega} [B_i^{th T} K^{cond} B_J^{th}] d\Omega \quad (۴-۲۷)$$

این رابطه از لحاظ ماهیت و شکل بسیار شبیه به ماتریس سفتی مکانیکی می‌باشد. منتها به دلیل تفاوت در سایز ماتریس B با ماتریس B^{th} ، سایز ماتریس سفتی حرارتی با مکانیکی نیز تفاوت می‌کند. در حقیقت این تفاوت سایز در تفاوت بین درجات آزادی سیستم‌های مکانیکی و حرارتی است. سیستم‌های مکانیکی در حالت دوبعدی دارای دو درجه آزادی هستند (u, v) ، حال اینکه سیستم‌های حرارتی تنها یک درجه آزادی دارند (t) ، از این رو طبق رابطه (۲-۱۱) که برای یادآوری دوباره آنرا تحت عنوان رابطه (۴-۲۸) در زیر ذکر کردیم سایز ماتریس سفتی در حالت مکانیکی در دوبعد؛ ۲ برابر سایز ماتریس سفتی حرارتی است. یادآوری این نکته ضروری است که این مقایسه تنها و تنها برای المان‌های مشابه صحیح است. یعنی نمی‌توان سایز ماتریس سفتی مکانیکی در یک المان معمولی را با سایز ماتریس سفتی حرارتی در المان نوک ترک مقایسه کرد. (زیرا همانطور که بارها ذکر شد در المان‌های اسپلیت و نوک ترک مجازی و افزایش سایز داریم).

$$\text{size}([K]_{n \times n}) = (DOF \times ND) \times (DOF \times ND) \quad (28-4)$$

در حقیقت در حالت مکانیکی DOF برابر ۲ و اما در حالت حرارتی برابر ۱ است. با در نظر گرفتن تعریف ماتریس سفتی حرارتی طبق معادله (۲۷-۴)، رابطه (۲۶-۴) را به صورت زیر می‌توان بیان کرد [۱۸]:

$$\int_{\Omega} (\nabla N)^T (K^{cond} \nabla t) d\Omega = \sum_i^n \sum_j^n N_i^T K_{ij}^{th} t_j \quad (29-4)$$

بسط عبارت سمت راست در رابطه (۲۹-۴) فرآیند مونتاژ را نشان می‌دهد (همانند چیزی که برای حالت مکانیکی در فصل ۲ ذکر شد).

در نهایت فرم معادله (۲۹-۴) به صورت معادله (۳۰-۴) باز می‌شود: [۱۸ و ۱۹] (توجه به این نکته ضروری است که طبق قواعد جمع اندیسی هر دو اندیس K ، یعنی i و j مجازی^۱ هستند و عمل جمع روی آن‌ها صورت می‌گیرد [۱۹]).

$$\begin{aligned} \sum_i^n \sum_j^n N_i^T K_{ij}^{th} t_j &= N_1^T K_{11}^{th} t_1 + N_1^T K_{12}^{th} t_2 + \dots + N_1^T K_{1n}^{th} t_n \\ &+ N_2^T K_{21}^{th} t_1 + N_2^T K_{22}^{th} t_2 + \dots + N_2^T K_{2n}^{th} t_n \\ &\vdots \\ &+ N_N^T K_{N1}^{th} t_1 + N_N^T K_{N2}^{th} t_2 + \dots + N_N^T K_{NN}^{th} t_N \end{aligned} \quad (30-4)$$

که در آن K_{IJ}^{th} ماتریس سفتی کل سیستم است. با توجه به نکاتی که پیشتر در باب سایز ماتریس سفتی ذکر شد حالت باز شده ماتریس سفتی حرارتی در این مسئله با n گره به صورت رابطه (۳۱-۴) و با سایز $n \times n$ است:

^۱ Dummy

$$K^{th} = \begin{bmatrix} K_{11} & K_{12} & \cdots & K_{1N} \\ K_{21} & K_{22} & \cdots & K_{2N} \\ \vdots & \vdots & \ddots & \vdots \\ K_{M1} & K_{M2} & \cdots & K_{MN} \end{bmatrix} \quad (31-4)$$

با در نظر گرفتن روابط (30-4) و (31-4)، فرم نهایی رابطه (29-4) به صورت زیر است.

$$\int_{\Omega} (\nabla N)^T (K^{cond} \nabla t) d\Omega = N^T K^{th} \Theta \quad (32-4)$$

در این رابطه، بردار Θ ، بردار دمای کل سیستم است و شامل دمای گره‌های تمام گره‌های مسأله می‌باشد.

$$\Theta = \begin{bmatrix} t_1 \\ t_2 \\ t_3 \\ t_4 \\ \cdot \\ \cdot \\ \cdot \\ t_n \end{bmatrix} \quad (33-4)$$

به طور مشابه، فرم گسسته عبارت‌های دیگر رابطه (19-4) قابل بیان است، به طور مثال جمله

اول رابطه (19-4) را می‌توان به صورت رابطه (34-4) بازنویسی کرد [18].

$$\int_{\Omega} \rho c \frac{\partial T}{\partial t} \eta d\Omega = \int_{\Omega} \rho c \dot{T} \eta d\Omega \quad (34-4)$$

با جایگزینی تابع شکل N به جای تابع η ^۱، فرم گسسته رابطه بالا به صورت زیر می‌باشد:

$$\int_{\Omega} \rho c \frac{\partial T}{\partial t} \eta d\Omega = \int_{\Omega} \rho c N \dot{T} t d\Omega = \dot{T} \int_{\Omega} N \rho c t d\Omega \quad (35-4)$$

^۱ یادآور می‌شود که در تقریب المان محدود گالرکین توابع شکل همان توابع شکل هستند یعنی $N = \eta$ برای توضیحات بیشتر به مرجع ۲۲ مراجعه کنید.

عبارت (۳۵-۴) بر حسب دمای گره به صورت زیر قابل بیان است.

$$\int_{\Omega} \rho c \frac{\partial T}{\partial t} \eta d\Omega = \dot{T} \int_{\Omega} \rho c \sum_i^n N_i N_i \sum_j^n N_j N_j d\Omega = \dot{T} \sum_i^n \sum_j^n N_i \left(\int_{\Omega} \rho c N_i N_j d\Omega \right) t_j \quad (۳۶-۴)$$

با استفاده از رابطه (۳۶-۴) ماتریس کامپلیانس^۱ به شکل زیر تعریف می شود [۱۸].

$$C^{th} = \int_{\Omega} [N_i^T \rho c N_j] d\Omega \quad (۳۷-۴)$$

در این تعریف N توابع شکل و ρ, c نیز به ترتیب ظرفیت گرمایی ویژه^۲ و چگالی می باشند.

فرم گسسته عبارت متناظر با تولید انرژی داخلی^۳ در رابطه (۴-۱۹) نیز به صورت زیر است [۱۸]:

$$\int_{\Omega} Q N d\Omega = \int_{\Omega} Q \sum_i^n N_i N_i d\Omega = \sum_i^n N_i \int_{\Omega} Q N_i d\Omega = \sum_i^n N_i F_i^{gen} \quad (۳۸-۴)$$

در این عبارت انرژی داخلی به صورت رابطه زیر تعریف می شود.

$$F_i^{gen} = \int_{\Omega} Q N_i d\Omega \quad (۳۹-۴)$$

فرم گسسته عبارت متناظر با شار حرارتی عبوری از مرزهای سیستم در رابطه (۴-۱۹) نیز به

صورت معادله زیر است:

$$\int_{S_q} q'' N d\Omega = \int_{S_q} q'' \sum_i^n N_i N_i dS = \sum_i^n N_i \int_{S_q} Q q'' dS = \sum_i^n N_i F_i^{flux} \quad (۴۰-۴)$$

در این عبارت:

^۱ Compliance

^۲ Specific capacity

^۳ Heat Generation

$$F_i^{flux} = \int_{S_q} q'' N_i dS \quad (41-4)$$

فرم گسسته عبارت متناظر با شرایط مرزی همرفتی مرزهای سیستم در رابطه (4-19) شامل دو

ترم به صورت زیر است [18]:

$$\int_{S_{conv}} htNd\Omega = \int_{S_{conv}} h \left(\sum_i^n N_i N_i \right) \left(\sum_j^n N_j N_j \right) dS \quad (42-4)$$

$$= \sum_i^n N_i \sum_j^n N_j \int_{S_{conv}} h N_i N_j dS = \sum_i^n K_{ij}^{conv} t_j N_i \quad (43-4)$$

در این عبارات همانگونه که پیشتر تعریف شد:

$$K_{ij}^{conv} = \int_{S_{conv}} h N_i N_j dS \quad (44-4)$$

$$F_i^{conv} = \int_{S_{conv}} ht_{\infty} N_i dS \quad (45-4)$$

با جایگزینی روابط فوق در رابطه (4-19)، معادله گسسته حاکم بر هدایت گرمایی به شکل رابطه

زیر بدست می‌آید:

$$C^{th} \dot{\bar{T}} + (K^{th} + K^{conv} + K^{rad}) \bar{T} = f^{gen} + f^{flux} + f^{conv} + f^{rad} = f^{th} \quad (46-4)$$

که K^{th} ماتریس سفتی کل سیستم و C^{th} نیز ماتریس کامپلیانس کل سیستم می‌باشد [18].

در این تحقیق، برای حل معادله (4-46) از روش کرانک-نیکلسون استفاده شده است. طبق

این روش داریم:

$$\begin{aligned} [2C^{th} + (K^{th} + K^{conv} + K^{rad})\Delta t] \{T\}^n = \\ \Delta t \left(\{f^{th}\}^{n-1} + \{f^{th}\}^n \right) + [2C^{th} - (K^{th} + K^{conv} + K^{rad})\Delta t] \{T\}^{n-1} \end{aligned} \quad (47-4)$$

می‌توان معادله (4-47) را به صورت معادله (4-48) بازنویسی کرد:

$$K^{EQ} \{T\}^n = F^{EQ} \quad (48-4)$$

و تعریف می‌شوند:

$$K^{EQ} = [2C^{th} + (K^{th} + K^{conv} + K^{rad})\Delta t] \quad (49-4)$$

$$F^{EQ} = \Delta t \left(\{f^{th}\}^{n-1} + \{f^{th}\}^n \right) + [2C^{th} - (K^{th} + K^{conv} + K^{rad})\Delta t] \{T\}^{n-1}$$

از این رو برای محاسبه T در هر مرحله زمانی داریم [۲۲]:

$$\{T\}^n = F^{EQ} \times (K^{EQ})^{-1}. \quad (50-4)$$

۳-۴ چیدمان درجات آزادی در برنامه رایانه‌ای

برای حل مسائل ترموالاستیسیته غیرکوپل از نرم‌افزار Matlab استفاده شده است. دلیل استفاده از

این نرم‌افزار، قدرت و توانایی این نرم‌افزار در استفاده و به کارگیری ماتریس‌ها می‌باشد.

قبل از بررسی مثال‌ها و نتایج در این بخش نحوه چیدمان درجات آزادی را برای برنامه

ترموالاستیسیته غیرکوپل شرح می‌دهیم. همانطور که پیشتر توضیح داده شد در مسائل

ترموالاستیسیته غیرکوپل معادلات ناویز (حرکت) و انرژی جدا از هم حل می‌شوند، از این جهت

درجات آزادی آن‌ها نیز جدا مرتب و کد نویسی می‌شود. برای مرتب کردن درجات آزادی ابتدا درجات

آزادی گره‌های حقیقی و سپس مجازی قرار می‌گیرند. از این رو درجات آزادی مکانیکی مطابق زیر کد

نویسی می‌شوند.

$$\{U\} = \begin{bmatrix} u_1 \\ v_1 \\ u_2 \\ v_2 \\ \cdot \\ \cdot \\ u_n \\ v_n \\ du_1 \\ dv_1 \\ du_2 \\ dv_2 \\ \cdot \\ \cdot \\ du_n \\ dv_n \end{bmatrix} \quad (51-4)$$

در رابطه (51-4) تا u_1, v_1 تا u_n, v_n درجات آزادی گره‌های حقیقی هستند و du_1, dv_1 تا

du_n, dv_n درجات آزادی مجازی هستند.

برای چیدمان درجات آزادی معادله انرژی (دمایی) نیز داریم:

$$\{T\} = \begin{bmatrix} t_1 \\ t_2 \\ \cdot \\ \cdot \\ t_n \\ dt_1 \\ dt_2 \\ \cdot \\ \cdot \\ dt_n \end{bmatrix} \quad (52-4)$$

در رابطه (۵۲-۴) نیز t_1 تا t_n درجات آزادی گره‌های حقیقی هستند و dt_1 تا dt_n درجات آزادی گره‌های مجازی هستند.

در بخش ۲-۳-۱ برای محاسبه تمام درجات آزادی یک سیستم چه گره‌های حقیقی و چه مجازی این توضیح داده شد که: " درجات آزادی اضافی به ازای هر گره اسپلیت یک و به ازای هر گره نوک ترک به تعداد توابع غنی‌سازی است". این مطلب را در کد به صورت رابطه (۵۳-۴) برای قسمت مکانیکی (معادلات حرکت) و رابطه (۵۴-۴) برای قسمت حرارتی (معادله انرژی) می‌توان نوشت.

$$unknownDOF = 2 \times (A + B \times 1 + C \times D); \quad (53-4)$$

$$unknownDOF^{TH} = 1 \times (A + B \times 1 + C \times D); \quad (54-4)$$

که D, C, B, A به ترتیب بیان‌گر تعداد گره‌های حقیقی؛ تعداد گره‌های اسپلیت؛ تعداد گره‌های نوک ترک و تعداد توابع غنی‌سازی هستند.

۴-۴ حل مسائل عددی و تحلیل آن‌ها

۱-۴-۴ ترک لبه‌ای استاتیکی و صحت سنجی کد

در این مثال دو هدف را دنبال می‌کنیم، هم یک مسئله با روش XFEM (که در فصل ۲ معرفی شد) حل کنیم و هم کد را صحت سنجی کنیم. از این رو مسئله ترک لبه‌ای استاتیکی را که پسترناک^۱ [۳۷] با روش المان مرزی^۲ حل کرده‌است را حل کرده و نتایج را مقایسه می‌کنیم. مسئله به شرح زیر است.

^۱ Pasternak

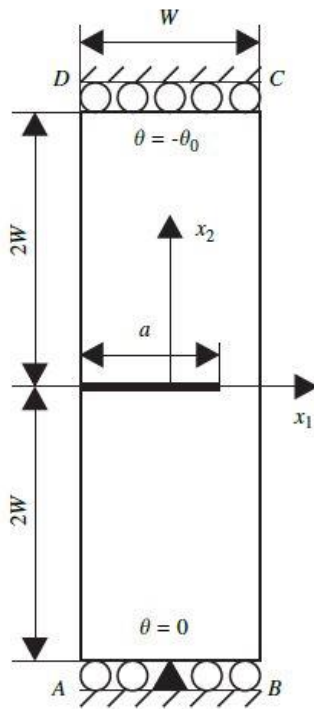
^۲ Boundary Element Method (BEM)

مطابق شکل ۲-۴ یک صفحه اورتوتروپیک محدود با مشخصات مکانیکی مطابق جدول ۱-۴ موجود است. شرایط حل تنش صفحه‌ای فرض شده است. شرایط مرزی (همانطور که در شکل مشخص است) برای لبه بالایی دما تا θ_0 پایین می‌آید و لبه پایینی نیز عایق حرارتی است. پارامتر k_0 نیز برای بی‌بعد کردن ضریب شدت تنش مود اول، برحسب دما به صورت زیر تعریف شده است.

$$k_0 = -1 \times E_{22} \times \alpha_{11} \times \theta_0 \times \sqrt{\pi \times a} \quad (۵۵-۴)$$

جدول ۱-۴ (خواص مکانیکی ماده [۳۷])

E11	55GPA
E22	21GPA
v12	0.25
G12	9.7GPA
α_{11}	$6.3 \times 10^{-6} \text{K}^{-1}$
α_{22}	$2 \times 10^{-6} \text{K}^{-1}$
k11/k22	3.045/0.35



شکل (۲-۴) شرایط و هندسه مسئله ۱-۴-۴

این مثال با انتخاب نسبت a/w و با چند مش مختلف حل شده و با نتایج پسترناک [۳۷] مقایسه

شده است. (جدول ۲-۴)

جدول (۲-۴) مقایسه نتایج با نتایج پسترناک

a/w	0.1	0.2	0.3	0.4	0.5
$K1/k0$					
BEM(0.576	0.601	0.631	0.645	0.637
Pasternak)					
XFEM					
Mesh size					
60×160	0.5501	0.5885	0.6204	0.6353	0.6320
190×240	0.5600	0.5810	0.6220	0.6361	0.6325
120×320	0.5662	0.5846	0.6325	0.6453	0.6330
150×400	0.5689	0.5884	0.6356	0.6557	0.6356
180×480	0.5701	0.5981	0.6396	0.6598	0.6368

همانطور که مشاهده می‌شود هرچه مش ریزتر شود، اختلاف جواب‌های بدست آمده با جواب‌های پسترناک کم‌تر می‌شود. در جدول ۳-۴ درصد خطا جواب‌های محاسبه شده با ریزترین مش (480×180) با جواب‌های پسترناک نشان داده شده است.

جدول ۳-۴ مقایسه جواب‌ها با روش XFEM و BEM

a/w	0.1	0.2	0.3	0.4	0.5
درصد خطا با پسترناک	1.02	0.4	1.03	2.1	0.1

همانطور که مشاهده می‌شود خطاها بسیار کم است پس می‌توان نتیجه گرفت کد نوشته شده صحیح است. (البته که با یک مثال نمی‌توان به طور قطعی قضاوت کرد!)

۲-۴-۴ ترک لبه‌ای برای ماده اورتوتروپیک در حالت دینامیکی

مسئله دومی که حل می‌کنیم مسئله‌ای است که هم ساچز و همکاران با روش المان مرزی [۶] و هم حاجی محمدی با روش المان محدود توسعه یافته با توابع غنی سازی پیشنهادی خودشان [۱۸] آنرا حل کردند. در اینجا قصد داریم مسئله را با روش المان محدود توسعه یافته با توابع غنی سازی اورتوتروپیک (که در فصل ۲ معرفی شد) حل کرده و جواب‌های بدست آمده را با جواب‌های سانچز مقایسه کنیم (در حالت On Axis). در انتها نیز مسئله را با تغییر زوایای الیاف (حالت Off Axis) حل خواهیم کرد. و اما شرح مسئله به شکل زیر است.

یک صفحه اورتوتروپیک با عرض $2h = 40$ واحد و ارتفاع $w = 52$ واحد در نظر گرفته می‌شود که دارای ترک مستقیم لبه‌ای به طول $a = 12$ واحد است، صفحه تحت تنش ثابت σ قرار دارد (مطابق شکل ۳-۴ [۱۸]). ناهمسانگردی می‌تواند نسبت به محور افقی زاویه (α) داشته باشد. مشخصات ماده

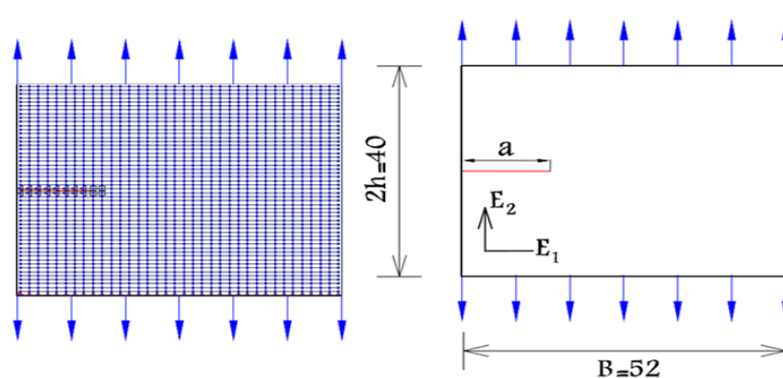
و شرایط تنش صفحه ای فرض شده است. همچنین استپ‌های زمانی برابر $t_{ow} = a/\sqrt{c_1}$ در نظر گرفته شده است، که $c_1 = \sqrt{\frac{c_{22}}{\rho}}$ می باشد و c_{22} مولفه ماتریس سفتی می باشد، $(\sigma = C \varepsilon)$ [۶ و ۸].

درضمن ضریب شدت تنش مود اول (K_I) مطابق رابطه زیر برحسب مقدار تنش بی بعد شده است.

$$K_{In} = \frac{K_I}{\sigma \sqrt{a\pi}} \quad (۵۶-۴)$$

لازم به ذکر است که نتایج همگی برحسب مقدار ضریب شدت تنش مود اول بی بعد (K_{In}) بیان

شده‌اند.



(ب)

(الف)

شکل ۴-۳) صفحه اورتوتروپیک دارای ترک لبه‌ای تحت بار دینامیکی هندسه (الف) بارهای وارده و مش بندی صفحه

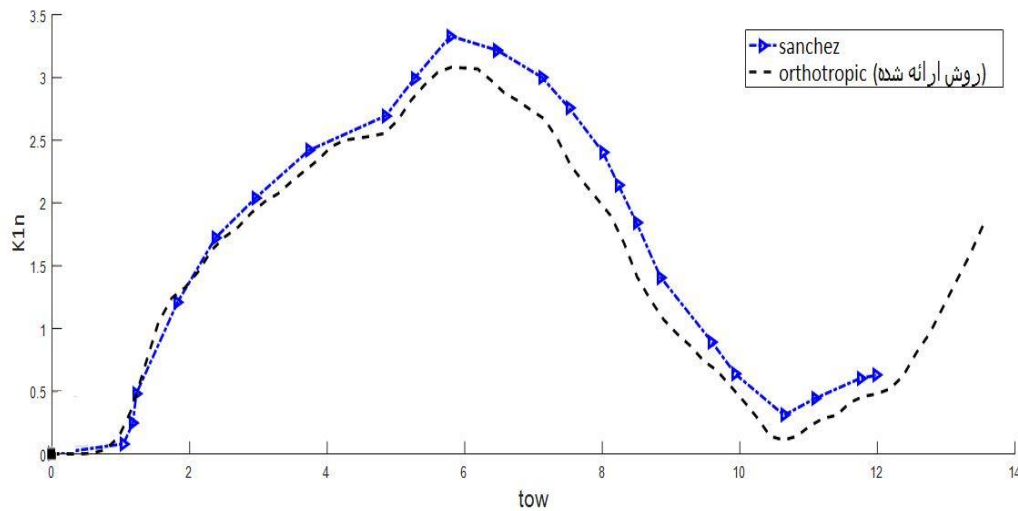
(ب)

مقدار ضریب شدت تنش دینامیکی بی بعد K_{In} برای زمان‌های مختلف با مش ۷۸×۶۰ (مش)

انتخابی ساچز [۶] و زاویه الیاف صفر درجه^۱ محاسبه شده است و نتایج در شکل ۴-۴ آورده شده

^۱ On Axis

است. بعلاوه، نتایج بدست آمده با ضریب شدت تنش دینامیکی K_{In} ارائه شده توسط سانچز [۶] مقایسه گردیده است.



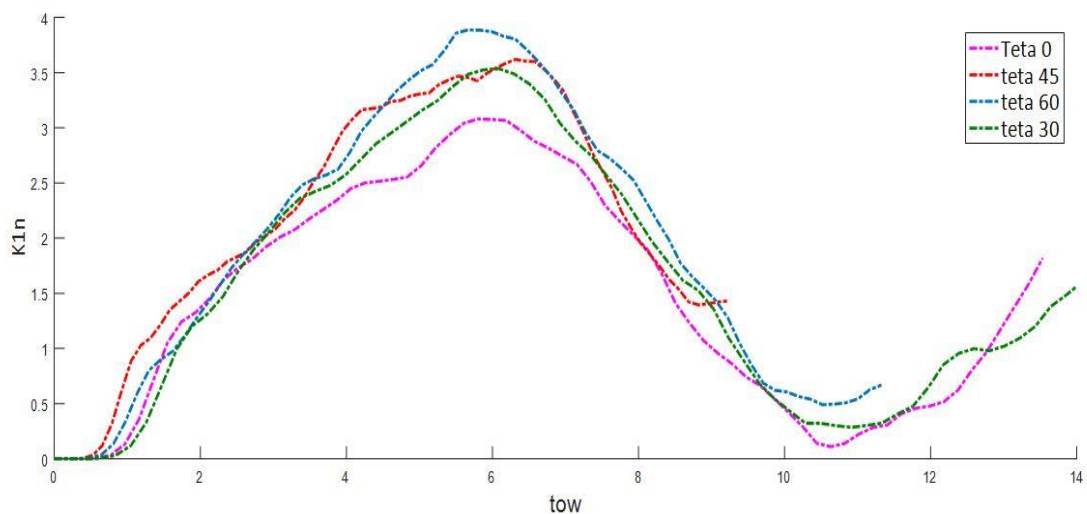
شکل ۴-۴) مقایسه نتایج حل به روش XFEM (حل ارائه شده) با حل به روش BEM (حل سانچز) در زمان بی بعد

TOW

همانطور که مشاهده می شود ماکزیمم مقدار K_{In} در حل ارائه شده ۵,۷ است که در زمان ۳,۳ رخ داده است، در حالی که این مقادیر برای حل سانچز به ترتیب ۵,۸ و ۳,۰۸ است. بر این اساس درصد خطا روش ارائه شده (XFEM با توابع غنی سازی اورتوتروپیک) با روش سانچز (BEM) در مقدار K_{In} و زمان به ترتیب ۱,۷۲ و ۱,۵۹ درصد می باشد. که قابل قبول است.

همین مسئله با روش XFEM این بار به صورت Off Axis حل شده و نتایج در شکل ۴-۵ با هم

مقایسه گردیدند.



شکل ۴-۵) حل با زوایای مختلف الیاف

همانطور که در شکل ۴-۵ قابل مشاهده است، مقدار ضریب شدت تنش بیشینه در زاویه الیاف صفر درجه کمترین مقدار و در زاویه الیاف ۶۰ درجه بیشترین مقدار را دارد.

۴-۴-۳ ترک لبه‌ای برای ماده اورتوتروپیک در حالت دینامیکی تحت بار حرارتی

این مسئله که آخرین مسئله این بخش نیز هست، بارگذاری حرارتی در مسائل مکانیک شکست را با استفاده از توابع غنی‌سازی اورتوتروپیک و توابع غنی‌سازی دمایی جدید (که در فصل دوم رابطه ۲-۴۹ معرفی شدند) و تئوری ترموالاستیسیته غیرکوپل مورد بررسی قرار می‌دهد و توسط حاجی محمدی [۱۸] با توابع غنی‌سازی ایزوتروپیک و تئوری ترموالاستیسیته غیرکوپل نیز حل شده است، شرح مسئله به صورت زیر است.

صفحه دو بعدی اورتوتروپیک با طول $h = 4\text{ mm}$ و عرض $w = 1\text{ mm}$ در نظر گرفته می‌شود که دارای ترک مستقیم به طول $a = 0.4\text{ mm}$ است (شکل ۴-۶). صفحه در لبه چپ به سرعت تا دمای 10°C درجه (T_e) سرد می‌شود. تمامی لبه‌های دیگر عایق و شرایط کرنش صفحه‌ای در نظر گرفته شده است.

مشخصات ماده $E_1 = 116,36 \text{ GPa}$ ، $\nu_{32} = 0,14$ ، $\nu_{31} = 0,21$ ، $\nu_{13} = 0,27$ ، $\nu_{12} = 0,28$ ، $E_2 = 90,43 \text{ GPa}$ و $G_{12} = 38,21 \text{ GPa}$ و $\rho = 3980 \text{ Kg/m}^3$ می باشد. همچنین ضریب انبساط حرارتی $\alpha_1 = 7,5 \times 10^{-6} \text{ K}^{-1}$ ، $\alpha_2 = 8 \times 10^{-6} \text{ K}^{-1}$ ، $\alpha_3 = 9 \times 10^{-6} \text{ K}^{-1}$ ، ظرفیت گرمایی ویژه $C = 775 \text{ J/kg.K}$ و ضریب هدایت حرارتی $k_1 = 29,82 \text{ W/m.K}$ ، $k_2 = 21,25 \text{ W/m.K}$ می باشد. و مقدار زمان t و K_I و K_{II} مطابق فرمول های زیر بی بعد شده اند [۱۸].

لازم به ذکر است همین مسئله در فصل بعد و فصل آخر نیز با تئوری های ترموالاستیسیته کوپل و لردشلمان نیز حل شده است.

$$Ct/h = \frac{k_{xx}t}{\rho c W^2} \quad (57-4)$$

$$K_I = \frac{K_I}{\alpha E \sqrt{W} \Delta T} , \quad (58-4)$$

$$K_{II} = \frac{K_{II}}{\alpha E \sqrt{W} \Delta T}$$

در رابطه (۵۸-۴) K_I و K_{II} به ترتیب حالت بی بعد K_I و K_{II} هستند. همچنین ΔT نیز اختلاف دما اولیه و دما معلوم T_e است. (رابطه (۵۹-۴))

$$\Delta T = T_0 - T_e \quad (59-4)$$

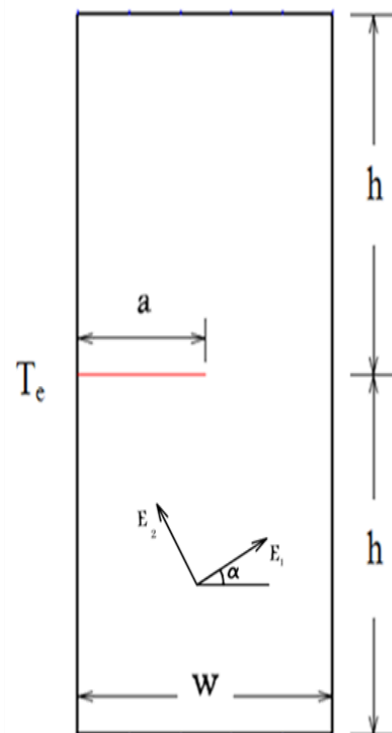
همچنین برای حل این مسئله مقدار dt مطابق رابطه (۶۰-۴) حساب شده است.

$$dt = \frac{10 \times t_0}{(k_{xx})} \times (\rho \times c \times w^2), \quad (60-4)$$

$$t_0 = \frac{(finaltime - starttime)}{1000}$$

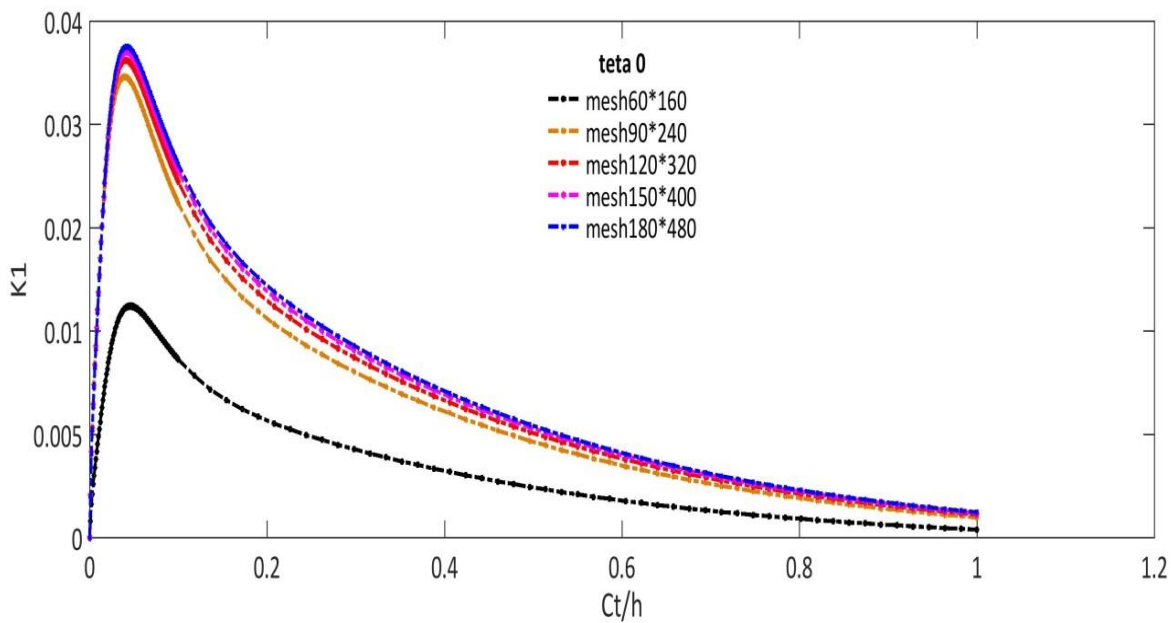
که در این مسئله مقدار $finaltime$ و $starttime$ به ترتیب ۱ و ۰ ثانیه می باشند. بنابراین با توجه به مشخصات ماده مقدار dt برابر با $dt = 2.79 \times 10^{-4}$ می باشد.

ابتدا مسئله برای رسیدن به همگرایی با چند مش مختلف حل می‌شود (انجام تست همگرایی) و سپس حل مسئله با مش همگرا شده را با حل حاجی محمدی (حل با توابع غنی‌سازی ایزوتروپیک) مقایسه خواهد شد.



شکل ۴-۶) صفحه اورتوتروپیک ترک دار تحت با حرارتی

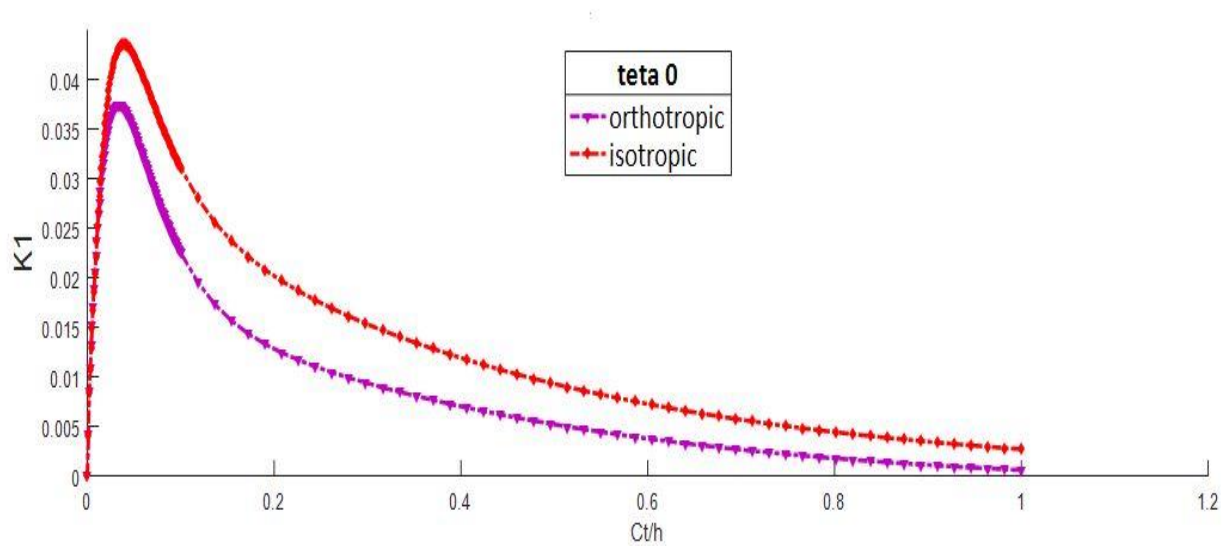
شکل ۴-۷؛ تست همگرایی مسئله را نشان می‌دهد، در این تست مسئله با ۵ مش مختلف حل شده و نتایج با هم مقایسه شده‌اند تا همگرایی آن‌ها چک شود. در شکل مشخص است که جواب‌های مسئله از مش 90×240 وارد ناحیه همگرایی شده‌است. مش 180×480 را به عنوان مش همگرا برای مسئله انتخاب کرده و تمامی نتایج را با این مش بدست می‌آوریم.



شکل ۴-۷) تست همگرایی صفحه اورتوتروپیک ترک دار تحت بار حرارتی با توابع غنی سازی اورتوتروپیک و جدید

شکل ۴-۸ حل مسئله با روش ارائه شده^۱ را با حل حاجی محمدی در حالت On axis مقایسه می کند. لازم به ذکر است که در این شکل منظور از θ زاویه الیالف، isotropic؛ حل آقای حاجی محمدی [۱۸] (حل با توابع غنی سازی ایزوتروپیک) و orthotropic؛ حل نگارنده (حل با توابع غنی سازی اورتوتروپیک و جدید دمایی، معرفی شده در فصل ۲) می باشد.

^۱ توابع غنی سازی اورتوتروپیک و توابع غنی سازی دمایی جدید



شکل ۴-۸) مقایسه حل نگارنده با حل حاجی محمدی

در شکل ۴-۸ قابل مشاهده است که پیک نمودار حاجی محمدی (isotropic) مقدار $K1=0.043$

در زمان بی بعد 0.042 می باشد. این مقادیر در نمودار Orthotropic به ترتیب $K1=0.039$ در زمان

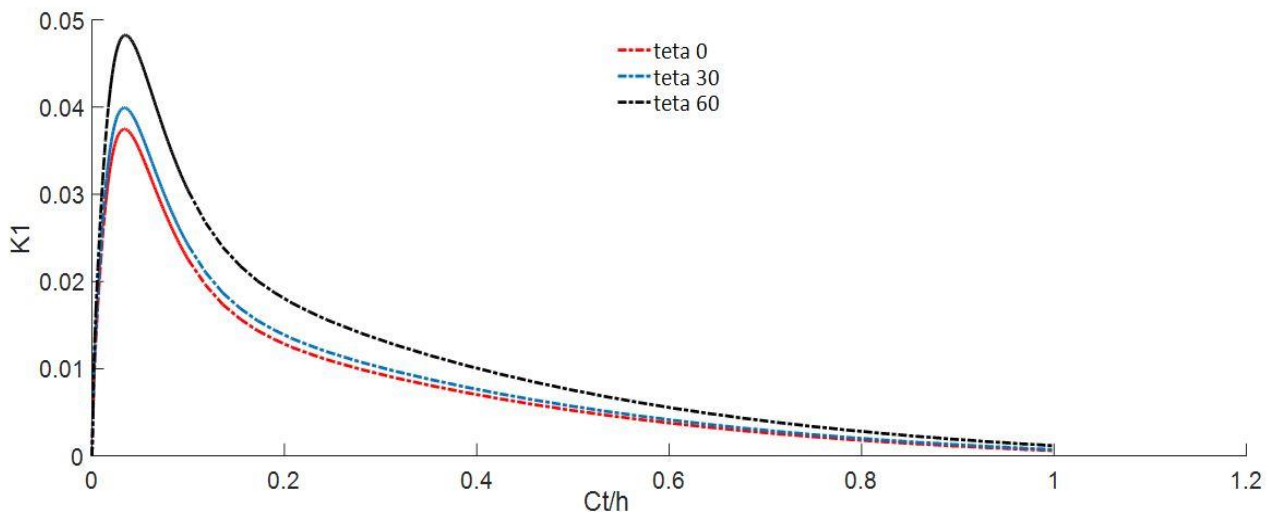
بی بعد 0.037 می باشد. که درصد خطای دو نمودار برای $K1$ چیزی در حدود ۹ درصد و برای زمان

بی بعد چیزی در حدود ۱۱ درصد می باشد و این بدین معناست که حل پیشنهادی اینجانب نتایج

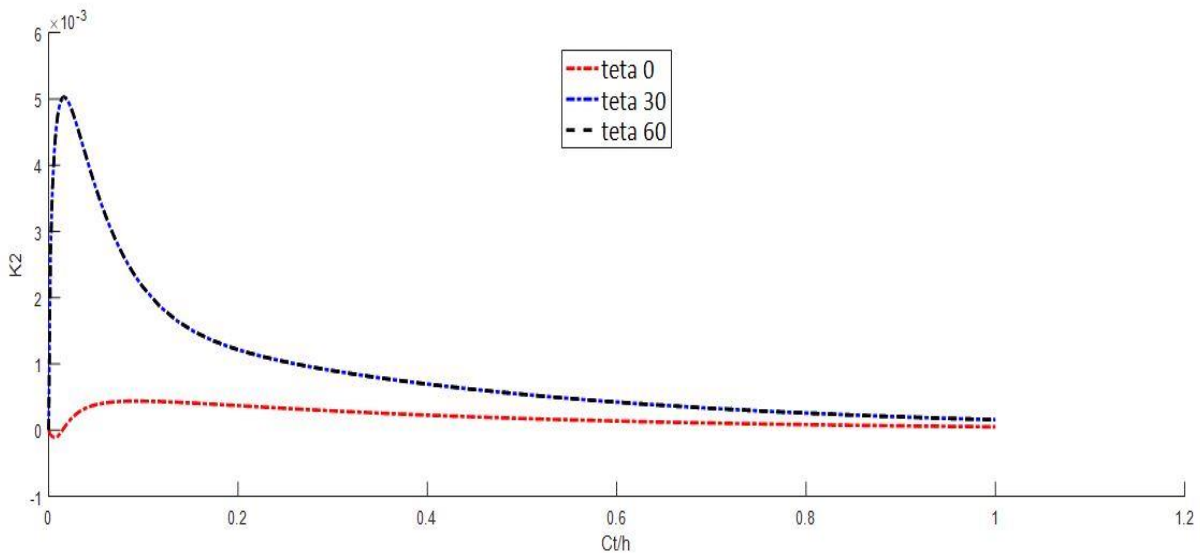
صحیحی به همراه دارد.

در ادامه نیز مسئله را برای چند زاویه الیاف مختلف حل و نمودار $K1$ و $K2$ آن ها با یکدیگر مقایسه

گردیده است. (شکل ۴-۹ و شکل ۴-۱۰)



شکل ۹-۴) مقادیر K_1 صفحه اورتوتروپیک ترک‌دار تحت بار حرارتی با روش ارائه شده در حالت Off axis.



شکل ۱۰-۴) مقادیر K_2 صفحه اورتوتروپیک ترک‌دار تحت بار حرارتی با روش ارائه شده در حالت Off axis.

با افزایش زاویه ناهمسانگردی مقدار بیشینه ضریب شدت تنش دینامیکی K_1 و K_2 نیز افزایش

می یابد.

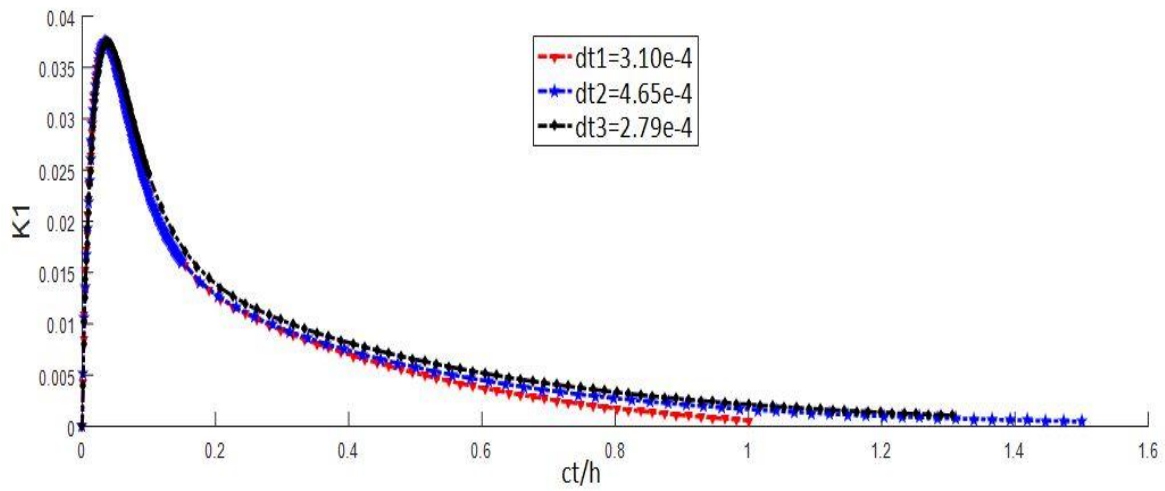
در انتها نیز همین مسئله با دو dt دیگر نیز حل شده است. همانطور که در شکل ۴-۱۱ مشاهده

می‌شود، نمودارها در dt های مختلف برهم منطبق هستند و این یعنی حل مسئله مستقل از مقدار dt

است و تنها باید نسبت ثابتی بین dt و تعداد استپ‌های زمانی ($numstep$) برقرار باشد. (رابطه ۴-)

((۶۱))

$$dt_1 \times (numstep)_1 = dt_2 \times (numstep)_2 = \dots \quad (۶۱-۴)$$



شکل ۴-۱۱) حل مسئله با چند dt

فصل ۵: تحلیل و نتایج ورق اورتوتروپیک ترک‌دار تحت شوک حرارتی

با تئوری کوپل^۱

(۱) مقدمه

(۲) معرفی معادلات حاکم و گسسته‌سازی

(۳) چیدمان درجات آزادی در برنامه رایانه‌ای

(۴) حل مثال عددی و تحلیل نتایج

^۱ Coupled

۵-۱ مقدمه

در این فصل توضیحاتی درباره تئوری کوپل داده می‌شود. در تئوری کوپل معادلات ناویر و انرژی توام با یکدیگر گسسته و حل می‌شوند. در این تئوری، بر خلاف تئوری غیرکوپل، وجود کرنش مکانیکی باعث بالارفتن دما می‌شود و بالعکس [۳۵].

همانطور که در فصل ۲ به طور کامل توضیح داده شد، برای حل مسئله با تئوری کوپل باید تعداد توابع غنی‌سازی مکانیکی و حرارتی^۱ با یکدیگر برابر باشد (هر کدام ۴ تابع).

لازم به ذکر است که تئوری‌های کوپل و غیرکوپل زیر مجموعه ترموالاستیسیته کلاسیک^۲ می‌باشد یعنی سرعت انتقال موج گرما در آن‌ها بی‌نهایت است [۳۵]. در واقع تئوری کوپل و غیرکوپل به نحوه گسسته-سازی و حل معادلات حاکم به صورت توام و یا جدا اشاره دارد.

در این فصل نیز مانند فصل قبل ابتدا معادلات حاکم معرفی و گسسته می‌شوند (شکل و روش گسسته-سازی معادلات در این فصل با فصل ۳ و ۴ تفاوت دارد)، سپس درجات آزادی و چیدمان آن‌ها در برنامه رایانه‌ای توضیح داده شده و در انتها مثال عددی حل خواهد شد.

۵-۲ معرفی معادلات حاکم و گسسته‌سازی

معادلات حرکت و انرژی حاکم بر مسئله ترموالاستیسیته کوپل را می‌توان به شکل زیر نوشت. توجه شود برای راحتی در نوشتن معادلات حاکم از اندیس گذاری انیشتین استفاده می‌شود [۳۰]:

^۱ همانطور که پیشتر ذکر شد توابع غنی‌سازی حرارتی در این تحقیق جدید می‌باشند (فصل ۲)

^۲ Classic thermoelectricity

$$\sigma_{ij,j} + X_i - \rho \ddot{u}_i = 0 \quad i, j = 1, 2 \quad (1) \quad (1-5)$$

$$[k_{ij} t_{,j}]_{,i} + \rho c \dot{t} + \beta_{ij} t_0 \dot{u}_{i,j} - Q = 0 \quad i, j = 1, 2 \quad (2)$$

معادله (۱)، که در فضای دو بعد شامل ۲ معادله است، همان معادلات حرکت معرفی شده در معادله (۱-۳) هستند. معادله (۲) نیز معادله انرژی در تئوری کوپل است. جمله دوم این معادله شامل ترم کوپل u است، تنها فرق این معادله با معادله (۳-۴)، که معادله انرژی در تئوری غیر کوپل بود نیز همین جمله است.

در معادلات (۱-۵) σ_{ij} مولفه‌های تانسور تنش کوشی، u میدان جا به جایی، b_i مولفه‌های نیروی حجمی^۱، Q نرخ تولید انرژی داخلی در پیوستار در واحد حجم و زمان واحد، k_{ij} مولفه‌های ماتریس هدایت گرمایی (رابطه (۴-۶))، t میدان اسکالر دمای مطلق، t_0 دمای اولیه، ρ چگالی جرمی و c حرارت ویژه جامد است. β نیز مدول تنش حرارت نامیده می‌شود. که در فضای سه‌بعدی از رابطه (۲-۵) محاسبه می‌شود [۳۵].

$$\beta_{ij} = - \frac{\partial \sigma_{ij}}{\partial \Delta t} \quad (2-5)$$

رابطه تنش کرنش با حضور کرنش‌های حرارتی در فضای سه‌بعدی به صورت رابطه (۳-۵) می‌باشد [۳۰ و ۲۱].

$$\sigma_{ij} = C_{ijkl} \epsilon_{kl}^{mechanic} \quad (3-5)$$

رابطه (۳-۵) را می‌توان برحسب کرنش دمایی به صورت زیر بازنویسی کرد

$$\sigma_{ij} = C_{ijkl} (\epsilon_{kl}^{total} - \epsilon_{kl}^{thermal}) \quad (4-5)$$

^۱ Body force

کرنش دمایی نیز به تنهایی از رابطه (۵-۵) محاسبه می‌شود [۲۱].

$$\varepsilon_{kl}^{thermal} = \alpha_{kl} \Delta t \quad (۵-۵)$$

با تلفیق روابط (۵-۵) و (۴-۵) در رابطه (۳-۵) داریم:

$$\sigma_{ij} = C_{ijkl} (\varepsilon_{kl}^{total} - \alpha_{kl} \Delta t) \quad (۶-۵)$$

در روابط فوق α , C , σ , $\varepsilon^{mechanic}$, $\varepsilon^{thermal}$ و ε^{total} به ترتیب معرف ضریب انبساط دمایی^۱، ماتریس سفتی ماده اورتوتروپیک، ماتریس تنش، ماتریس کرنش مکانیکی، ماتریس کرنش حرارتی و ماتریس کرنش کل^۲ می‌باشند.

با توجه به روابط (۲-۵) و (۶-۵) می‌توان در فضای سه‌بعدی رابطه زیر را برای β نوشت

$$\beta_{ij} = C_{ijkl} \alpha_{kl} \quad (۷-۵)$$

با توجه به نکاتی که در فصل ۱ ذکر شد، معادله (۲-۵) را در حالت دوبعدی می‌توان به صورت

بازشده زیر نوشت. (رجوع شود به بخش ۱-۴-۳)

$$\begin{Bmatrix} \beta_1 \\ \beta_2 \\ \beta_{12} \end{Bmatrix} = \begin{bmatrix} Q_{11} & Q_{12} & Q_{16} \\ Q_{21} & Q_{22} & Q_{26} \\ Q_{61} & Q_{62} & Q_{33} \end{bmatrix} \begin{Bmatrix} \alpha_1 \\ \alpha_2 \\ \alpha_{12} \end{Bmatrix} \quad (۸-۵)$$

در این رابطه ماتریس Q ماتریس سفتی کاهش یافته است که از رابطه (۱۵-۱) (فصل اول بخش

۱-۴-۳) بدست می‌آید.

روابط کرنش جا به جایی نیز به صورت زیر است.

$$\varepsilon_{ij} = \frac{1}{2} (u_{i,j} + u_{j,i}) \quad i, j = 1, 2 \quad (۹-۵)$$

^۱ Thermal expansion

^۲ مجموع ماتریس کرنش مکانیکی و حرارتی

همانطور که در فصل پیش نیز اشاره شد با تلفیق معادلات کرنش جا به جایی و تنش کرنش در معادله حرکت معادلات ناویر حاصل می‌شود، این معادلات و معادله انرژی معادلات حاکم مسئله ترموالاستیسیته کوپل را تشکیل می‌دهند [۱۹ و ۳۰].

با فرض صفر بودن X و Q معادلات ناویر به صورت (۵-۱۰) بازسازی می‌شوند (در دستگاه دوبعد

(x_1, x_2)). لازم به ذکر است در تمام معادلات این فصل t نماد زمان و T نماد میدان دما می‌باشند.

$$\begin{aligned} Q_{11} \frac{\partial^2 u_1}{\partial x_1^2} + Q_{12} \frac{\partial^2 u_2}{\partial x_1 \partial x_2} + Q_{13} \frac{\partial^2 u_1}{\partial x_1 \partial x_2} + Q_{13} \frac{\partial^2 u_2}{\partial x_1^2} + Q_{31} \frac{\partial^2 u_1}{\partial x_1 \partial x_2} + Q_{32} \frac{\partial^2 u_2}{\partial x_2^2} \\ + Q_{33} \frac{\partial^2 u_1}{\partial x_1 \partial x_2} + Q_{33} \frac{\partial^2 u_2}{\partial x_1 \partial x_2} - \beta_1 \frac{\partial T}{\partial x_1} - \beta_{12} \frac{\partial T}{\partial x_2} - (\rho \frac{\partial^2 u_1}{\partial t^2}) = 0 \quad (1) \end{aligned} \quad (10-5)$$

$$\begin{aligned} Q_{13} \frac{\partial^2 u_1}{\partial x_1^2} + Q_{32} \frac{\partial^2 u_2}{\partial x_1 \partial x_2} + Q_{33} \frac{\partial^2 u_1}{\partial x_1 \partial x_2} + Q_{33} \frac{\partial^2 u_2}{\partial x_1 \partial x_2} + Q_{21} \frac{\partial^2 u_1}{\partial x_1 \partial x_2} + Q_{22} \frac{\partial^2 u_2}{\partial x_2^2} \\ + Q_{23} \frac{\partial^2 u_1}{\partial x_2^2} + Q_{23} \frac{\partial^2 u_2}{\partial x_1 \partial x_2} - \beta_{12} \frac{\partial T}{\partial x_1} - \beta_2 \frac{\partial T}{\partial x_2} - (\rho \frac{\partial^2 u_1}{\partial t^2}) = 0 \quad (2) \end{aligned}$$

معادله انرژی نیز به صورت زیر باز می‌شود.

$$\begin{aligned} k_{11} \frac{\partial^2 T}{\partial x_1^2} + k_{21} \frac{\partial^2 T}{\partial x_1 \partial x_2} + k_{12} \frac{\partial^2 T}{\partial x_1 \partial x_2} + k_{22} \frac{\partial^2 T}{\partial x_2^2} - \rho c \left(\frac{\partial T}{\partial t} \right) - \beta_{10} t_0 \frac{\partial^2 u_1}{\partial x_1 \partial t} \\ - \beta_{20} T_0 \frac{\partial^2 u_2}{\partial x_2 \partial t} - \beta_{12} T_0 \frac{\partial^2 u_1}{\partial x_2 \partial t} = 0 \end{aligned} \quad (11-5)$$

رابطه (۲-۶) را به صورت زیر برای درجات آزادی بازنویسی می‌کنیم:

$$\begin{pmatrix} u \\ v \\ T \end{pmatrix} = \sum_{i=1}^4 N_{i(x_1, x_2)} \begin{pmatrix} u_i \\ v_i \\ T_i \end{pmatrix}_{(T)} \quad (12-5)$$

با توجه به رابطه فوق و نکاتی که در فصل ۲ ذکر شد معادله اول ناویر در قلمرو المانی Ω به شکل زیر متعامد می‌شود. لازم به ذکر است برای اختصار در نوشتار از اندیس گذاری نیوتنی استفاده شده است.

$$\int_{\Omega} [Q_{11}N_{i,11}u_1 + Q_{12}N_{i,12}u_2 + Q_{13}(N_{i,12}u_1 + N_{i,11}u_2) + Q_{31}N_{i,12}u_1 + Q_{32}N_{i,22}u_2 + Q_{33}(N_{i,12}u_2 + N_{i,12}u_1) - (\beta_1N_{i,1}T) - (\beta_2N_{i,2}T) - N_i \rho(\ddot{u}_i)] N_j d\Omega = 0 \quad (13-5)$$

همانطور که در فصل قبل ذکر شد، برای پایین تر آوردن درجه پیوستگی معادله (۱۳-۵) فرم ضعیف

آن به شکل معادله (۱۴-۵) نوشته می‌شود.

$$\int_{\Omega} [Q_{11}N_{i,1}N_{j,1}u_1 + Q_{12}N_{i,1}N_{j,2}u_2 + Q_{13}(N_{i,1}N_{j,2}u_1 + N_{i,1}N_{j,2}u_2) + Q_{31}N_{i,1}N_{j,2}u_1 + Q_{32}N_{i,2}N_{j,2}u_2 + Q_{33}(N_{i,1}N_{j,2}u_2 + N_{i,1}N_{j,2}u_1) - (\beta_1N_iN_{j,1}T) - (\beta_2N_iN_{j,2}T) - N_i N_j \rho(\ddot{u}_i)] d\Omega = F_1 \quad (14-5)$$

در معادله فوق ماتریس ستونی F_1 شامل تمام ترم‌های بیرون از انتگرال در فرم ضعیف می‌باشد.

به این ترتیب فرم ضعیف معادله دوم ناویر نیز به صورت رابطه (۱۵-۵) نوشته می‌شود.

$$\int_{\Omega} [Q_{31}N_{i,1}N_{j,1}u_1 + Q_{32}N_{i,1}N_{j,2}u_2 + Q_{33}(N_{i,1}N_{j,2}u_1 + N_{i,1}N_{j,2}u_2) + Q_{21}N_{i,1}N_{j,2}u_1 + Q_{23}N_{i,2}N_{j,2}u_2 + Q_{23}(N_{i,2}N_{j,2}u_1 + N_{i,1}N_{j,2}u_2) - (\beta_2N_iN_{j,2}T) - (\beta_{12}N_iN_{j,1}T) - N_i N_j \rho(\ddot{u}_i)] d\Omega = F_2 \quad (15-5)$$

در معادله فوق ماتریس ستونی F_2 شامل تمام ترم‌های بیرون از انتگرال در فرم ضعیف می‌باشد.

همین مراحل برای معادله انرژی نیز طی می‌شود. یعنی ابتدا معادله انرژی به صورت زیر متعامد

می‌شود.

$$\int_{\Omega} [k_{11}N_{i,11}T + k_{21}N_{i,12}T + k_{12}N_{i,21}T + k_{22}N_{i,22}T - N_i \rho c \dot{T} - \beta_1 T_0 N_{i,1} \dot{u}_1 - \beta_2 T_0 N_{i,2} \dot{u}_2 - \beta_{12} T_0 N_{i,2} \dot{u}_1] N_j d\Omega = 0 \quad (16-5)$$

به این ترتیب فرم ضعیف معادله انرژی نیز به شکل معادله زیر است.

$$\int_{\Omega} [k_{11}N_{i,1}N_{j,1}T + k_{21}N_{i,1}N_{j,2}T + k_{12}N_{i,1}N_{j,2}T + k_{22}N_{i,2}N_{j,2}T - N_i N_j \rho c \dot{T} - \beta_1 T_0 N_i N_{j,1} \dot{u}_1 - \beta_2 T_0 N_i N_{j,2} \dot{u}_2 - \beta_{12} T_0 N_i N_{j,2} \dot{u}_1] d\Omega = F_q \quad (17-5)$$

در معادله (۱۷-۵)؛ F_q نیز مانند F_1 و F_2 شامل تمام ترم‌های بیرون از انتگرال در فرم ضعیف معادله انرژی می‌باشد.

در المان محدود فرم کلی معادلات در حالت دینامیکی به صورت معادله (۱۸-۵) می‌باشد [۲۲ و ۳۶].

$$M\ddot{\Delta} + C\dot{\Delta} + K\Delta = F \quad (18-5)$$

که در رابطه (۱۸-۵) M ، C ، K ، Δ ، F به ترتیب ماتریس جرم، دمپر، سفتی، درجات آزادی و نیرو می‌باشند.

معادله (۱۸-۵) را می‌توان به صورت زیر باز کرد.

$$\begin{bmatrix} M_{11} & M_{12} & M_{13} \\ M_{21} & M_{22} & M_{23} \\ M_{31} & M_{32} & M_{33} \end{bmatrix} \begin{Bmatrix} \ddot{u}_1 \\ \ddot{u}_2 \\ \dot{T} \end{Bmatrix} + \begin{bmatrix} C_{11} & C_{12} & C_{13} \\ C_{21} & C_{22} & C_{23} \\ C_{31} & C_{32} & C_{33} \end{bmatrix} \begin{Bmatrix} \dot{u}_1 \\ \dot{u}_2 \\ T \end{Bmatrix} + \begin{bmatrix} K_{11} & K_{12} & K_{13} \\ K_{21} & K_{22} & K_{23} \\ K_{31} & K_{32} & K_{33} \end{bmatrix} \begin{Bmatrix} u_1 \\ u_2 \\ T \end{Bmatrix} = \begin{Bmatrix} F_1 \\ F_2 \\ F_q \end{Bmatrix} \quad (19-5)$$

با مرتب کردن فرم گسسته معادلات ناویر و انرژی (معادلات (۱۴-۵) و (۱۵-۵) و (۱۷-۵)) برحسب

مشتقات زمانی درجات آزادی مولفه‌های ماتریس‌های معادله (۱۹-۵) به صورت روابط (۲۰-۵) تا (۲۵-۵)

(۴۶) محاسبه می‌شوند

$$M_{11} = \int_{\Omega} \rho N_i N_j d\Omega \quad (20-\delta)$$

$$M_{12} = 0 \quad (21-\delta)$$

$$M_{13} = 0 \quad (22-\delta)$$

$$M_{21} = 0 \quad (23-\delta)$$

$$M_{23} = 0 \quad (24-\delta)$$

$$M_{31} = 0 \quad (25-\delta)$$

$$M_{32} = 0 \quad (26-\delta)$$

$$M_{33} = 0 \quad (27-\delta)$$

$$M_{22} = M_{11} = \int_{\Omega} N_i N_j d\Omega \quad (28-\delta)$$

$$C_{11} = 0 \quad (29-\delta)$$

$$C_{12} = 0 \quad (30-\delta)$$

$$C_{13} = 0 \quad (31-\delta)$$

$$C_{21} = 0 \quad (32-\delta)$$

$$C_{22} = 0 \quad (33-\delta)$$

$$C_{23} = 0 \quad (34-\delta)$$

$$C_{31} = T_0 \int_{\Omega} \beta_1 N_i N_{j,1} + \beta_{12} N_i N_{j,2} d\Omega \quad (35-\delta)$$

$$C_{32} = T_0 \int_{\Omega} \beta_2 N_i N_{j,2} d\Omega \quad (36-\delta)$$

$$C_{33} = \int_{\Omega} \rho c N_i N_j d\Omega \quad (37-\delta)$$

$$K_{11} = \int_{\Omega} Q_{11} N_{i,1} N_{j,1} + Q_{13} N_{i,1} N_{j,2} + Q_{31} N_{i,2} N_{j,1} + Q_{33} N_{i,2} N_{j,2} d\Omega \quad (38-5)$$

$$K_{12} = \int_{\Omega} Q_{11} N_{i,1} N_{j,2} + Q_{13} N_{i,1} N_{j,1} + Q_{32} N_{i,2} N_{j,2} + Q_{33} N_{i,1} N_{j,2} d\Omega \quad (39-5)$$

$$K_{13} = - \int_{\Omega} \beta_1 N_i N_{j,1} + \beta_2 N_i N_{j,2} d\Omega \quad (40-5)$$

$$K_{21} = K_{12} = \int_{\Omega} Q_{11} N_{i,1} N_{j,2} + Q_{13} N_{i,1} N_{j,1} + Q_{32} N_{i,2} N_{j,2} + Q_{33} N_{i,1} N_{j,2} d\Omega \quad (41-5)$$

$$K_{22} = \int_{\Omega} Q_{32} N_{i,1} N_{j,2} + Q_{33} N_{i,1} N_{j,2} + Q_{22} N_{i,2} + Q_{23} N_{i,1} N_{j,2} d\Omega \quad (42-5)$$

$$K_{23} = - \int_{\Omega} \beta_1 N_i N_{j,1} + \beta_2 N_i N_{j,2} d\Omega \quad (43-5)$$

$$K_{31} = 0 \quad (44-5)$$

$$K_{32} = 0 \quad (45-5)$$

$$K_{33} = \int_{\Omega} k_{11} N_{i,1} N_{j,1} + k_{21} N_{i,1} N_{j,2} + k_{12} N_{i,2} N_{j,1} + k_{22} N_{i,2} N_{j,2} d\Omega \quad (46-5)$$

ماتریس نیرو نیز با استفاده از شرایط مرزی نیرویی بدست می‌آید. (در این رساله شرایط مرزی از

نوع جا به جایی است از این رو ماتریس F برابر ۰ است).

برای ساده نویسی بردار درجات آزادی را به صورت رابطه زیر تعریف می‌کنیم:

$$\Delta = \begin{Bmatrix} U \\ T \end{Bmatrix} = \begin{Bmatrix} u_1 \\ u_2 \\ T \end{Bmatrix} \quad (47-5)$$

با استفاده از رابطه (47-5) و سایر روابط ذکر شده معادله (48-5) به صورت زیر بازنویسی می‌شود.

$$\begin{bmatrix} M_u & 0 \\ 0 & 0 \end{bmatrix} \begin{Bmatrix} \ddot{U} \\ \ddot{T} \end{Bmatrix} + \begin{bmatrix} 0 & 0 \\ C_u & C_\theta \end{bmatrix} \begin{Bmatrix} \dot{U} \\ \dot{T} \end{Bmatrix} + \begin{bmatrix} K_{uu} & K_{u\theta} \\ 0 & K_{\theta\theta} \end{bmatrix} \begin{Bmatrix} U \\ T \end{Bmatrix} = F \quad (48-5)$$

در واقع در معادله بالا ترم $K_{u\theta}$ ترم کوپل است، اگر این ترم صفر باشد به معادلات غیر کوپل می‌رسیم. با توجه به تمام روابط ذکر شده، پارامترهای معادله (48-5) به صورت زیر تعریف می‌شوند.

$$M_u = \begin{bmatrix} M_{11} & 0 \\ 0 & M_{22} \end{bmatrix} \quad (49-5)$$

$$C_u = [C_{31} \quad C_{32}] \quad (50-5)$$

$$C_\theta = [C_{33}] \quad (51-5)$$

$$K_{uu} = \begin{bmatrix} K_{11} & K_{12} \\ K_{21} & K_{22} \end{bmatrix} \quad (52-5)$$

$$K_{u\theta} = \begin{bmatrix} K_{13} \\ K_{23} \end{bmatrix} \quad (53-5)$$

$$K_{\theta\theta} = [K_{33}] \quad (54-5)$$

تعریف می‌کنیم:

$$N_U = \begin{bmatrix} N_i & 0 \\ 0 & N_i \end{bmatrix} \quad (55-5)$$

$$N_\theta = [N_i] \quad (56-5)$$

اکنون با توجه به تعریف B و B^{th} (که در فصل 2 و 4 در روابط (2-8) و (4-22) تعریف شدند.) و

روابط (55-5) و (56-5) برای ساده سازی و کدنویسی بهتر، می‌توان معادلات (49-5) تا (54-5) را به

صورت انتگرال‌های زیر بازنویسی کرد.

$$M_u = \rho \int_{\Omega} N_U^T N_U d\Omega \quad (57-5)$$

$$C_u = T_0 \int_{\Omega} N_{\theta}^T \beta^T B d\Omega \quad (58-5)$$

$$C_{\theta} = \rho c \int_{\Omega} N_{\theta}^T N_{\theta} d\Omega \quad (59-5)$$

$$K_{uu} = \int_{\Omega} B Q B^T d\Omega \quad (60-5)$$

$$K_{u\theta} = - \int_{\Omega} B^T \beta N^T d\Omega \quad (61-5)$$

$$K_{\theta\theta} = \int_{\Omega} B^{th T} k B^{th} d\Omega \quad (62-5)$$

تمامی این ماتریس‌ها در قلمرو المان (Ω) تعریف شده‌اند. با مونتاژ کردن این ماتریس‌ها می‌توان آن‌ها را برای کل سازه محاسبه کرد.

سایز این ماتریس‌ها با توجه به نکاتی که در فصل ۲ و ۴ ذکر شد محاسبه می‌گردد. با محاسبه، مونتاژ و جایگذاری این ماتریس‌ها در معادله اصلی (۴۸-۵) و استفاده از روش حل دینامیکی نیومارک (که در فصل ۳ بخش ۳-۲-۳ توضیح داده‌شد) مقادیر ماتریس درجه آزادی محاسبه می‌گردد.

۳-۵ چیدمان درجات آزادی در برنامه رایانه‌ای

در فصل ۴ بخش ۴-۳ به طور کامل درباره درجات آزادی توضیح داده‌شد که از تکرار آن‌ها صرف نظر می‌کنیم. چیدمان درجات آزادی در حالت کوپل به صورت رابطه (۶۳-۵) می‌باشد.

(۶۳-۵)

$$\{\Delta\} = \begin{bmatrix} u_1 \\ v_1 \\ \cdot \\ \cdot \\ \cdot \\ u_n \\ v_n \\ du_1 \\ dv_2 \\ \cdot \\ \cdot \\ \cdot \\ du_n \\ dv_n \\ T_1 \\ \cdot \\ \cdot \\ \cdot \\ dT_1 \\ \cdot \\ \cdot \\ \cdot \\ dT_n \end{bmatrix}$$

در رابطه (۶۳-۵) تا T_1, u_1, v_1 تا T_n, u_n, v_n درجات آزادی گره‌های حقیقی هستند و dT_1, du_1, dv_1 تا dT_n, du_n, dv_n درجات آزادی مجازی هستند. به عبارت بهتر چیدمان درجات آزادی به این صورت است که ابتدا درجات آزادی گره‌های حقیقی مکانیکی (هرگره دو درجه آزادی) سپس درجات آزادی مجازی مکانیکی بعد از آن درجات آزادی گره‌های حقیقی حرارتی (هرگره یک درجه آزادی) و در انتها نیز درجات آزادی مجازی حرارتی.

درجه آزادی کل سیستم نیز از جمع درجات آزادی مکانیکی و حرارتی که در روابط (۴-۵۳) و (۴-۴)

(۵۴) ذکر شد محاسبه می‌گردد.

۴-۵ حل مثال عددی و تحلیل نتایج

در این قسمت مسئله ۴-۴-۴ فصل قبل یعنی ترک لبه‌ای برای ماده اورتوتروپیک در حالت دینامیکی تحت بار حرارتی با معادلات کوپل حل شده‌است. برای یادآوری صورت مسئله را دوباره در زیر شرح می‌دهیم. (لازم به ذکر است که توابع غنی‌سازی برای حل این مسئله در فصل ۲ معرفی شدند.) صفحه دو بعدی اورتوتروپیک با طول $h = 4\text{ mm}$ و عرض $w = 1\text{ mm}$ در نظر گرفته می‌شود که دارای ترک مستقیم به طول $a = 0.4\text{ mm}$ است (شکل ۵-۱). صفحه در لبه چپ به سرعت تا دمای 10°C درجه (T_e) سرد می‌شود. تمامی لبه‌های دیگر عایق و شرایط کرنش صفحه‌ای در نظر گرفته شده است.

مشخصات ماده $E_1 = 116.36\text{ GPa}$ ، $\nu_{32} = 0.14$ ، $\nu_{31} = 0.21$ ، $\nu_{13} = 0.27$ ، $\nu_{12} = 0.28$ ، $E_2 = 90.43\text{ GPa}$ و $G_{12} = 38.21\text{ GPa}$ و $\rho = 3980\text{ Kg/m}^3$ می‌باشد. همچنین ضریب انبساط حرارتی $\alpha_1 = 7.5 \times 10^{-6}\text{ K}^{-1}$ ، $\alpha_2 = 8 \times 10^{-6}\text{ K}^{-1}$ ، $\alpha_3 = 9 \times 10^{-6}\text{ K}^{-1}$ ، ظرفیت گرمایی ویژه 775 J/kg.K و C و ضریب هدایت حرارتی $k_1 = 29.82\text{ W/m.K}$ ، $k_2 = 21.25\text{ W/m.K}$ می‌باشد. و مقدار زمان t و K_I و K_{II} مطابق فرمول‌های زیر بی بعد شده‌اند [۱۸].

$$Ct/h = \frac{k_{xx} t}{\rho c W^2} \quad (64-5)$$

$$K_I = \frac{K_I}{\alpha E \sqrt{W} \Delta T}, \quad (65-5)$$

$$K_{II} = \frac{K_{II}}{\alpha E \sqrt{W} \Delta T}$$

در رابطه (۶۵-۵) K_I و K_{II} به ترتیب حالت بی بعد K_I و K_{II} هستند. همچنین ΔT نیز اختلاف دما اولیه و دما معلوم T_e است. (رابطه (۶۶-۵))

$$\Delta T = T_0 - T_e \quad (66-5)$$

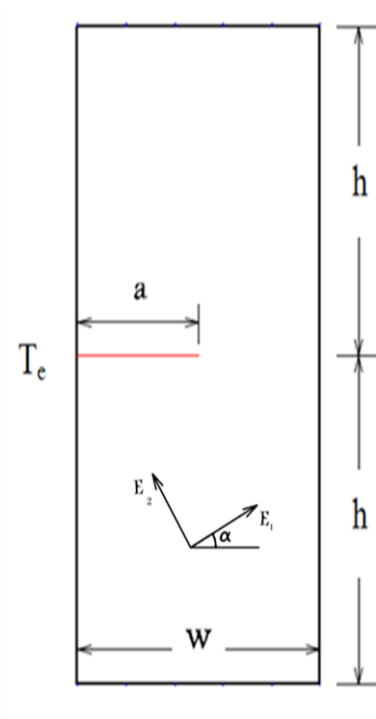
همچنین برای حل این مسئله مقدار dt مطابق رابطه (۵-۶۷) حساب شده است.

$$dt = \frac{10 \times t_0}{(k_{xx})} \times (\rho \times c \times w^2), \quad (۵-۶۷)$$

$$t_0 = \frac{(finaltime - starttime)}{1000}$$

که در این مسئله مقدار $finaltime$ و $starttime$ به ترتیب ۱ و ۰ ثانیه می‌باشند. بنابراین با توجه

به مشخصات ماده مقدار dt برابر با $dt = 2.79 \times 10^{-4}$ می‌باشد.

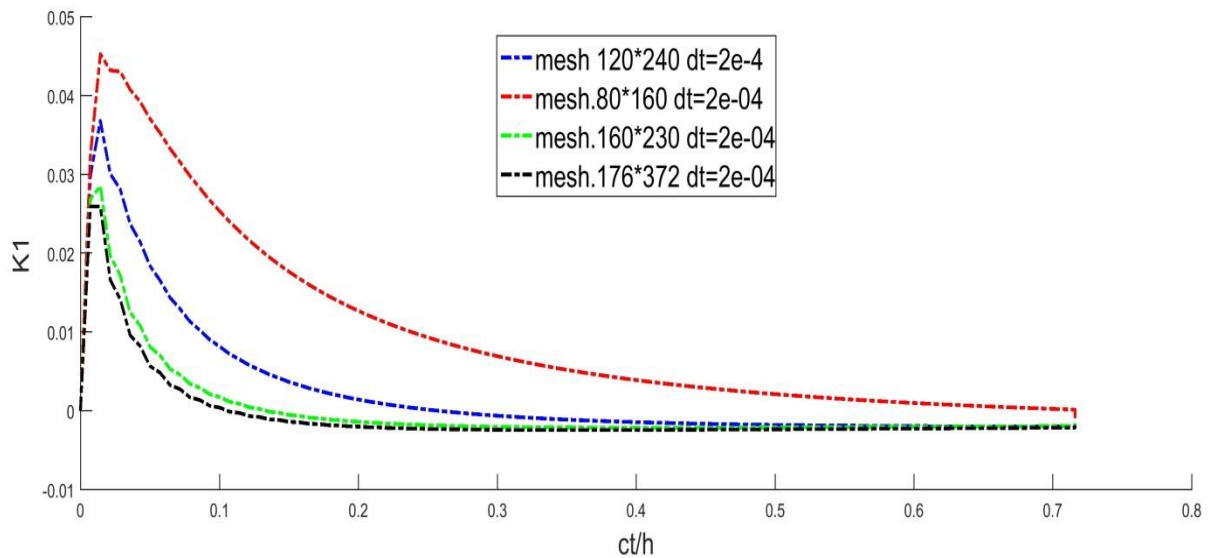


شکل (۵-۱) صفحه اورتوتروپیک ترک دار تحت با حرارتی

فرایند حل و تحلیل مسئله درست مانند بخش ۴-۴-۴ است یعنی ابتدا برای رسیدن به مش مطلوب

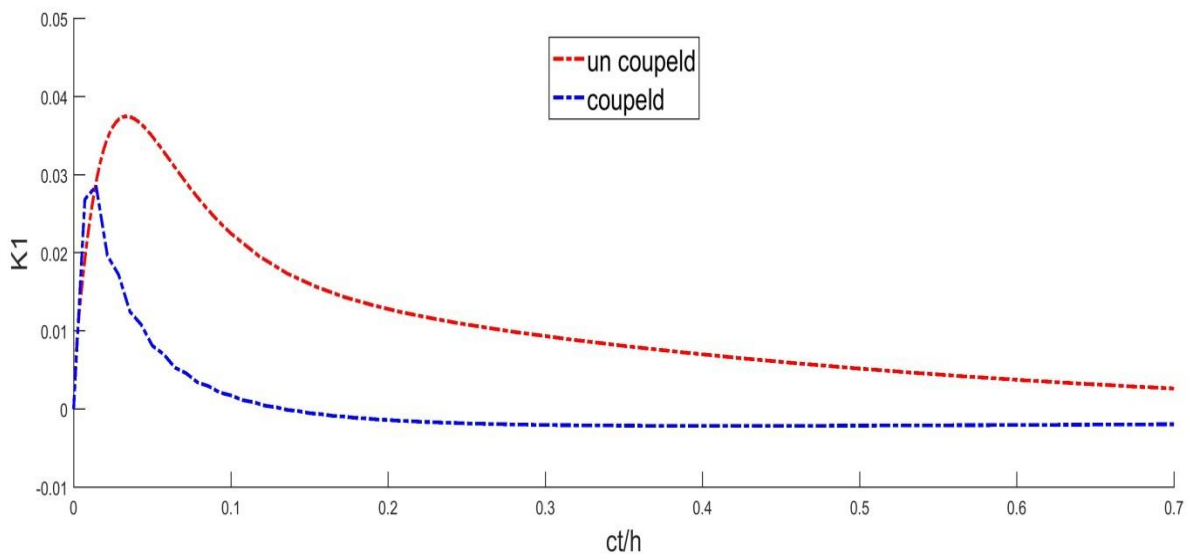
تست همگرایی را با چند مش انجام داده شده است. نتیجه تست همگرایی در شکل ۵-۲ قابل مشاهده-

است.



شکل ۲-۵) تست همگرایی صفحه اورتوتروپیک ترک‌دار تحت بار حرارتی با توابع غنی‌سازی اورتوتروپیک و جدید همانطور که در شکل فوق مشخص است مش مطلوب برای حل مسئله مش 160×230 می‌باشد و تمام تحلیل‌ها و نتایج این مسئله با این مش گرفته شده‌است. این درحالی است که مش مطلوب برای حل همین مسئله در حالت غیرکوپل (فصل ۴) مش 180×480 بود. در حقیقت لزومی ندارد که نتایج تست همگرایی برای مسائل یکسان با روش حل‌های متفاوت یکسان باشد.

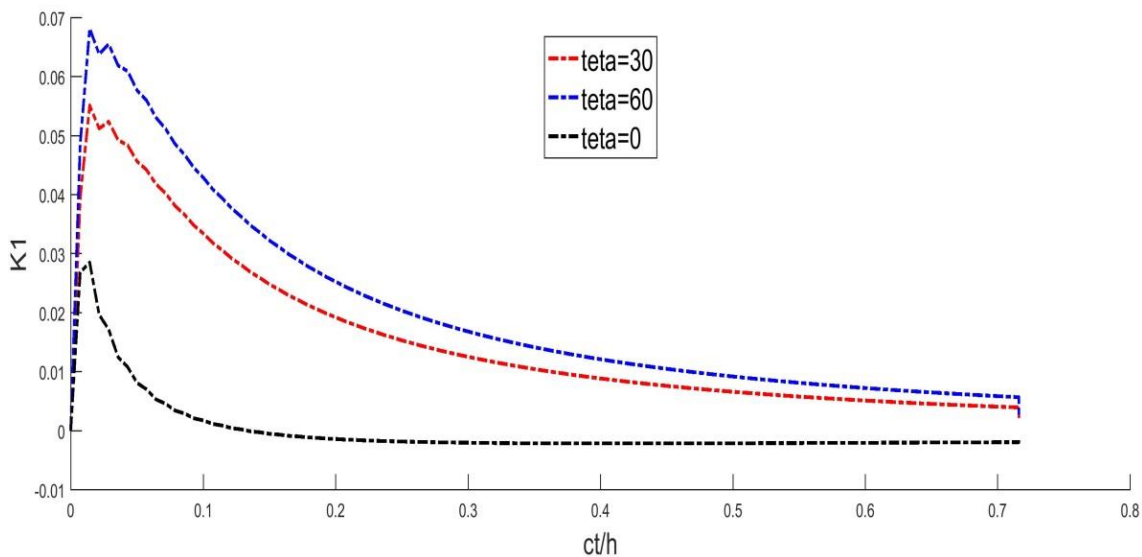
شکل ۳-۵) مقایسه حل کوپل و غیرکوپل این مسئله را برای حالت On axis نشان می‌دهد.



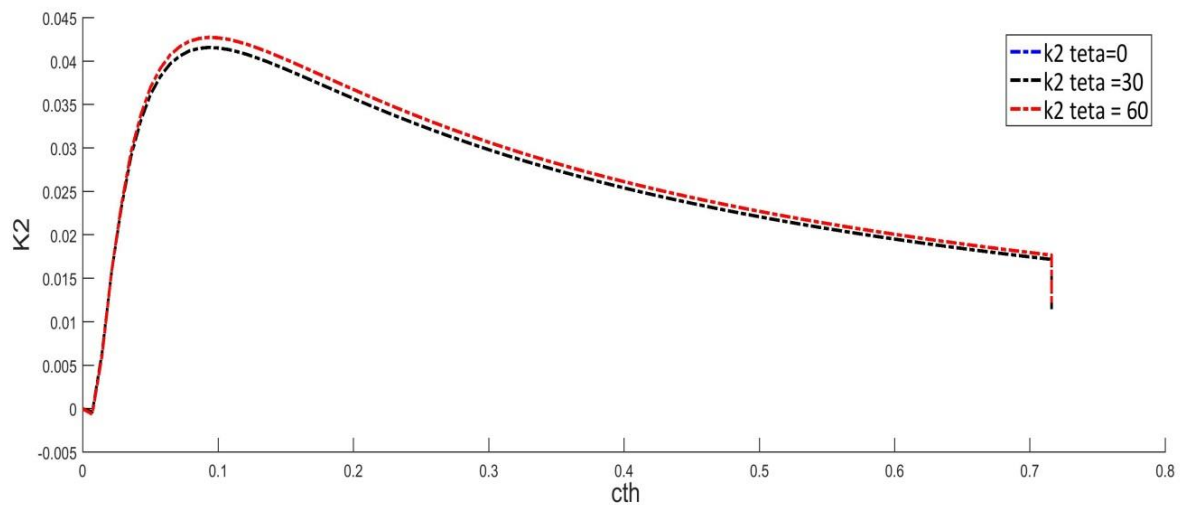
شکل ۳-۵) مقایسه حل کوپل و غیرکوپل

همانطور که در شکل ۳-۵ قابل مشاهده است، پیک نمودار un coupled به ترتیب $K1 = 0.039$ در زمان بی بعد 0.037 می باشد. که این مقادیر برای نمودار Coupled به ترتیب $K1 = 0.029$ در زمان بی بعد 0.014 می باشد. که درصد اختلاف دو نمودار برای $K1$ چیزی در حدود ۲۵ درصد و برای زمان بی بعد چیزی در حدود ۶۰ درصد می باشد. این اختلاف، اختلاف حل تئوری کوپل و غیر کوپل را نشان می دهد.

در ادامه نیز مسئله را برای چند زاویه الیاف مختلف حل و نمودار $K1$ و $K2$ آن ها با یکدیگر مقایسه گردیده است. (شکل ۴-۵ و شکل ۵-۵)



شکل ۴-۵) مقادیر $K1$ صفحه اورتوتروپیک ترک دار تحت بار حرارتی با روش ارائه شده در حالت Off axis.



شکل ۵-۵) مقادیر K_2 صفحه اورتوتروپیک ترک‌دار تحت بار حرارتی با روش ارائه شده در حالت **Off axis**.

همانطور که در شکل ۴-۵ و شکل ۵-۵ مشاهده می‌شود مثل حالت غیرکوپل با افزایش زاویه

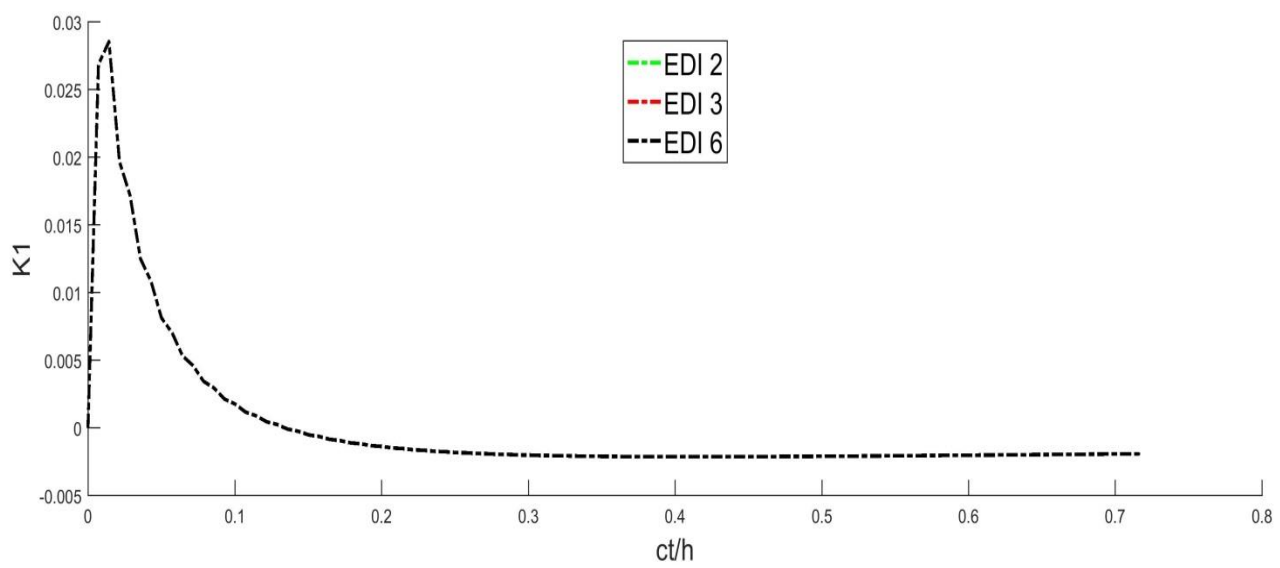
ناهمسانگردی مقدار بیشینه ضریب شدت تنش دینامیکی K_1 و K_2 نیز افزایش می‌یابد.

۵-۴-۲ تست استقلال از مسیر انتگرال برهم‌کنش

یکی از نکات مهم در انتگرال زه، استقلال از مسیر آن است. یعنی وابسته به ناحیه و مسیر انتخابی

برای انتگرال‌گیری نمی‌باشد. در شکل ۶-۵ قابل مشاهده است که نتایج برای ۳ شعاع مختلف انتگرال-

گیری کاملاً مشابه و نمودارها منطبق برهم است.



شکل ۵-۶) تست استقلال از مسیر

فصل ۶: تحلیل و نتایج ورق اورتوتروپیک ترک‌دار تحت شوک حرارتی

با تئوری لرد شلمان^۱

(۱) مقدمه

(۲) معرفی معادلات حاکم و گسسته‌سازی

(۳) چیدمان درجات آزادی در برنامه رایانه‌ای

(۴) حل مثال عددی و تحلیل نتایج

(۵) توضیحات تکمیلی حول ترموالاستیسیته لردشلمان و کوپل

^۱ Lord-Shulman (L-S)

۱-۶ مقدمه

در تئوری ترموالاستیسیته لردشلمان برخلاف تئوری کلاسیک (کوپل و غیر کوپل) سرعت انتقال موج گرما بی نهایت نیست و محدود است [۳۵]. در این تئوری معادله انرژی و ناویر توام با یکدیگر گسسته و حل می‌شوند. (به مانند فصل قبل) اما با توجه به نکته‌ای که درباره سرعت محدود موج در تئوری لردشلمان ذکر شد معادله انرژی در آن متفاوت است، ولی معادله ناویر (همانطور که در فصول قبل ذکر شد از معادله حرکت نتیجه می‌شود) دقیقاً شبیه فرم کلاسیک (فصل قبل) است. در این فصل نیز به مانند دو فصل قبل ابتدا معادلات حاکم معرفی و گسسته می‌شوند، سپس درجات آزادی و چیدمان آن‌ها در برنامه رایانه‌ای توضیح داده شده و در انتها مثال عددی حل شده در دو فصل قبل؛ این بار با تئوری لردشلمان حل^۱ و نتایج آن تحلیل خواهد شد.

۲-۶ معرفی معادلات حاکم و گسسته‌سازی

در رابطه (۱-۵) فصل قبل معادلات حاکم بر یک سیستم ترموالاستیسیته کوپل را به صورت زیر بیان شد.

$$\sigma_{ij,j} + X_i - \rho \ddot{u}_i = 0 \quad i, j = 1, 2 \quad (1) \quad (1-6)$$

$$[k_{ij} t_{,j}]_{,i} + \rho c t + \beta_{ij} t_{,0} \dot{u}_{i,j} - Q = 0 \quad i, j = 1, 2 \quad (2)$$

^۱ با همان توابع غنی سازی معرفی شده فصل دوم

با توجه به سرعت انتقال موج گرما محدود در تئوری لردشلمان، معادله انرژی کمی تغییر یافته و

در نتیجه معادلات حاکم به فرم معادلات (۲-۶) درمی آیند [۳۵]:

$$\sigma_{ij,j} + X_i - \rho \ddot{u}_i = 0 \quad i, j = 1, 2 \quad (1) \quad (2-6)$$

$$[k_{ij} t_{,j}]_{,i} - \rho c \dot{t} - \rho c \tau_0 \dot{t} - \beta_{ij} t_0 [\dot{u}_{i,j} + \tau_0 \ddot{u}_{i,j}] - Q = 0 \quad i, j = 1, 2 \quad (2)$$

همانطور که انتظار می‌رفت، معادله ناویر در هر دو حالت ثابت باقی‌ماند^۱. در معادله انرژی سیستم

لردشلمان (معادله دوم (۲-۶)) τ_0 زمان تاخیر^۲ نامیده شده و بیانگر زمانی است که طول می‌کشد تا

گرما انتقال یابد. و می‌توان آن را از رابطه زیر محاسبه کرد [۳۵].

$$\tau_0 = \frac{k}{\rho c C_T^2} \quad (3-6)$$

که در این رابطه k هدایت گرمایی؛ ρ چگالی جرمی و c حرارت ویژه جامد و C_T نیز سرعت موج

گرما^۳ می‌باشد.

مانند فصل قبل نیروی حجمی و نرخ تولید انرژی داخلی در پیوستار در واحد حجم و زمان واحد

را صفر در نظر می‌گیریم. ($X=Q=0$) گسسته‌سازی معادلات لردشلمان کاملاً مشابه گسسته‌سازی

معادلات کوپل در فصل گذشته است. لازم به ذکر است که به علت وجود ضریب زمان تاخیر در معادله

انرژی سیستم لردشلمان برای جملات \dot{T}, \ddot{u} ^۴ (معادلات حاکم (۲-۶)) تنها ماتریس جرم در سیستم

لردشلمان با ماتریس جرم در حالت کوپل تفاوت دارد و از رابطه زیر محاسبه می‌گردد.

^۱ تنها تفاوت معادلات کوپل و لردشلمان سرعت انتقال موج است. که این اختلاف تنها بر روی معادله انرژی اثر می‌گذارد.

^۲ Relaxation Time

^۳ در آزمایشگاه قابل اندازه‌گیری است.

^۴ همانطور که در فصل پنجم و بخش ۵-۲ به طور کامل توضیح داده شد جملاتی که مشتق مرتبه دوم زمان دارند در ماتریس جرم (M) نمایان می‌شوند.

$$\tilde{M}_L = (\tilde{C} \times \tau_0) + \tilde{M} \quad (4-6)$$

در این رابطه \tilde{C} همان ماتریس دمپر و \tilde{M} نیز ماتریس جرم معرفی شده در فصل قبل می‌باشد، همچنین \tilde{M}_L نیز ماتریس جرم سیستم لردشلمان است که از ترکیب خطی ماتریس دمپر کوپل؛ جرم کوپل و زمان تاخیر بدست می‌آید.

از رابطه فوق به سادگی پیداست که اگر زمان تاخیر صفر باشد ماتریس جرم همان ماتریس جرم سیستم کوپل (کلاسیک) می‌شده و سرعت موج انتقال گرما بی‌نهایت می‌گردد. و به این ترتیب معادله (48-5) معرفی شده در فصل قبل به صورت زیر درمی‌آید.

$$\left\{ \begin{bmatrix} M_u & 0 \\ 0 & 0 \end{bmatrix} + \left\{ \begin{bmatrix} 0 & 0 \\ C_u & C_\theta \end{bmatrix} \times \tau_0 \right\} \right\} \left\{ \begin{matrix} \ddot{U} \\ \ddot{t} \end{matrix} \right\} + \begin{bmatrix} 0 & 0 \\ C_u & C_\theta \end{bmatrix} \left\{ \begin{matrix} \dot{U} \\ \dot{t} \end{matrix} \right\} + \begin{bmatrix} K_{uu} & K_{u\theta} \\ 0 & K_{\theta\theta} \end{bmatrix} \left\{ \begin{matrix} U \\ t \end{matrix} \right\} = F \quad (5-6)$$

$$[M_L] = \begin{bmatrix} M_u & 0 \\ 0 & 0 \end{bmatrix} + \left\{ \begin{bmatrix} 0 & 0 \\ C_u & C_\theta \end{bmatrix} \times \tau_0 \right\}$$

و مانند فصل گذشته داریم:

$$M_u = \begin{bmatrix} M_{11} & 0 \\ 0 & M_{22} \end{bmatrix} \quad (6-6)$$

$$C_u = [C_{31} \quad C_{32}] \quad (7-6)$$

$$C_\theta = [C_{33}] \quad (8-6)$$

$$K_{uu} = \begin{bmatrix} K_{11} & K_{12} \\ K_{21} & K_{22} \end{bmatrix} \quad (9-6)$$

$$K_{u\theta} = \begin{bmatrix} K_{13} \\ K_{23} \end{bmatrix} \quad (10-6)$$

$$K_{\theta\theta} = [K_{33}] \quad (11-6)$$

برای ساده سازی و کدنویسی بهتر، می‌توان معادلات فوق را به صورت انتگرال‌های زیر بازنویسی

کرد. (مانند چیزی که در فصل پیش ذکر شد)

$$M_u = \rho \int_{\Omega} N_U^T N_U d\Omega \quad (12-6)$$

$$C_u = t_0 \int_{\Omega} N_{\theta}^T \beta^T B d\Omega \quad (13-6)$$

$$C_{\theta} = \rho c \int_{\Omega} N_{\theta}^T N_{\theta} d\Omega \quad (14-6)$$

$$K_{uu} = \int_{\Omega} B Q B^T d\Omega \quad (15-6)$$

$$K_{u\theta} = - \int_{\Omega} B^T \beta N^T d\Omega \quad (16-6)$$

$$K_{\theta\theta} = \int_{\Omega} B^{th T} k B^{th} d\Omega \quad (17-6)$$

۳-۶ چیدمان درجات آزادی در برنامه رایانه‌ای

در فصل ۵ بخش ۳-۵ به طور کامل درباره درجات آزادی توضیح داده شد که از تکرار آن‌ها صرف

نظر می‌کنیم. چیدمان درجات آزادی در ترموالاستیسیته لردشلمان کاملاً مشابه چیدمان درجات آزادی

در ترموالاستیسیته کوپل می‌باشد. داریم:

(۱۸-۶)

$$\{\Delta\} = \begin{bmatrix} u_1 \\ v_1 \\ \cdot \\ \cdot \\ u_n \\ v_n \\ du_1 \\ dv_2 \\ \cdot \\ \cdot \\ \cdot \\ du_n \\ dv_n \\ t_1 \\ \cdot \\ \cdot \\ \cdot \\ dt_1 \\ \cdot \\ \cdot \\ dt_n \end{bmatrix}$$

در رابطه فوق t_1, u_1, v_1 تا t_n, u_n, v_n درجات آزادی گره‌های حقیقی هستند و dt_1, du_1, dv_1 تا dt_n, du_n, dv_n درجات آزادی مجازی هستند. به عبارت بهتر چیدمان درجات آزادی به این صورت است که ابتدا درجات آزادی گره‌های حقیقی مکانیکی (هرگره دو درجه آزادی) سپس درجات آزادی مجازی مکانیکی بعد از آن درجات آزادی گره‌های حقیقی حرارتی (هرگره یک درجه آزادی) و در انتها نیز درجات آزادی مجازی گره‌های حرارتی.

درجه آزادی کل سیستم نیز از جمع درجات آزادی مکانیکی و حرارتی که در روابط (۴-۵۳) و (۴-۵۴)

(۵۴) ذکر شد محاسبه می‌گردد.

۴-۶ حل مثال عددی و تحلیل نتایج

در این قسمت مسئله ۴-۴-۴ دوفصل قبل (که در فصل پیش نیز بررسی شد) یعنی ترک لبه‌ای برای ماده اورتوتروپیک در حالت دینامیکی تحت بار حرارتی با معادلات ترموالاستیسیته لردشلمان حل شده‌است. برای یادآوری صورت مسئله را دوباره در زیر شرح می‌دهیم. (لازم به ذکر است که توابع غنی‌سازی در حل این مسئله مانند فصول ۴ و ۵ است.)^۱

صفحه دو بعدی اورتوتروپیک با طول $h = 4 \text{ mm}$ و عرض $w = 1 \text{ mm}$ در نظر گرفته می‌شود که دارای ترک مستقیم به طول $a = 0.4 \text{ mm}$ است (شکل ۶-۱). صفحه در لبه چپ به سرعت تا دمای 10°C درجه (T_e) سرد می‌شود. تمامی لبه‌های دیگر عایق و شرایط کرنش صفحه‌ای در نظر گرفته شده است.

مشخصات ماده $\nu_{12} = 0.28$ ، $\nu_{13} = 0.27$ ، $\nu_{31} = 0.21$ ، $\nu_{32} = 0.14$ ، $E_1 = 116.36 \text{ GPa}$ ، $E_2 = 90.43 \text{ GPa}$ و $G_{12} = 38.21 \text{ GPa}$ و $\rho = 3980 \text{ Kg/m}^3$ می‌باشد. همچنین ضریب انبساط حرارتی $\alpha_1 = 7.5 \times 10^{-6} \text{ K}^{-1}$ ، $\alpha_2 = 8 \times 10^{-6} \text{ K}^{-1}$ ، $\alpha_3 = 9 \times 10^{-6} \text{ K}^{-1}$ ، ظرفیت گرمایی ویژه 775 J/kg.K و ضریب هدایت حرارتی $k_1 = 29.82 \text{ W/m.K}$ ، $k_2 = 21.25 \text{ W/m.K}$ می‌باشد. و مقدار زمان t و K_I و K_{II} مطابق فرمول‌های زیر بی بعد شده‌اند [۱۸]. ضمناً برای حل این مسئله مقدار زمان تاخیر 0.1 در نظر گرفته شده است. یعنی $\tau_0 = 0.1$

$$Ct/h = \frac{k_{xx}t}{\rho c W^2} \quad (۱۹-۶)$$

$$K_I = \frac{K_I}{\alpha E \sqrt{W} \Delta T}, \quad (۲۰-۶)$$

$$K_{II} = \frac{K_{II}}{\alpha E \sqrt{W} \Delta T}$$

^۱ به فصل دوم رجوع شود

در رابطه (۶-۲۰) K_1 و K_2 به ترتیب حالت بی‌بعد K_I و K_{II} هستند. همچنین ΔT نیز اختلاف دما اولیه و دما معلوم T_e است. (رابطه (۶-۲۱))

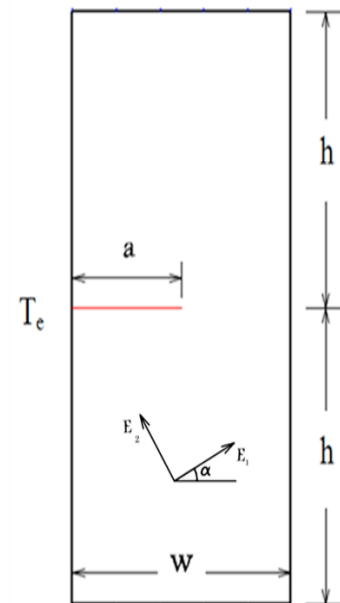
$$\Delta T = T_0 - T_e \quad (۶-۲۱)$$

همچنین برای حل این مسئله مقدار dt مطابق رابطه (۶-۲۲) حساب شده است.

$$dt = \frac{10 \times t_0}{(k_{xx})} \times (\rho \times c \times w^2), \quad (۶-۲۲)$$

$$t_0 = \frac{(\text{finaltime} - \text{starttime})}{1000}$$

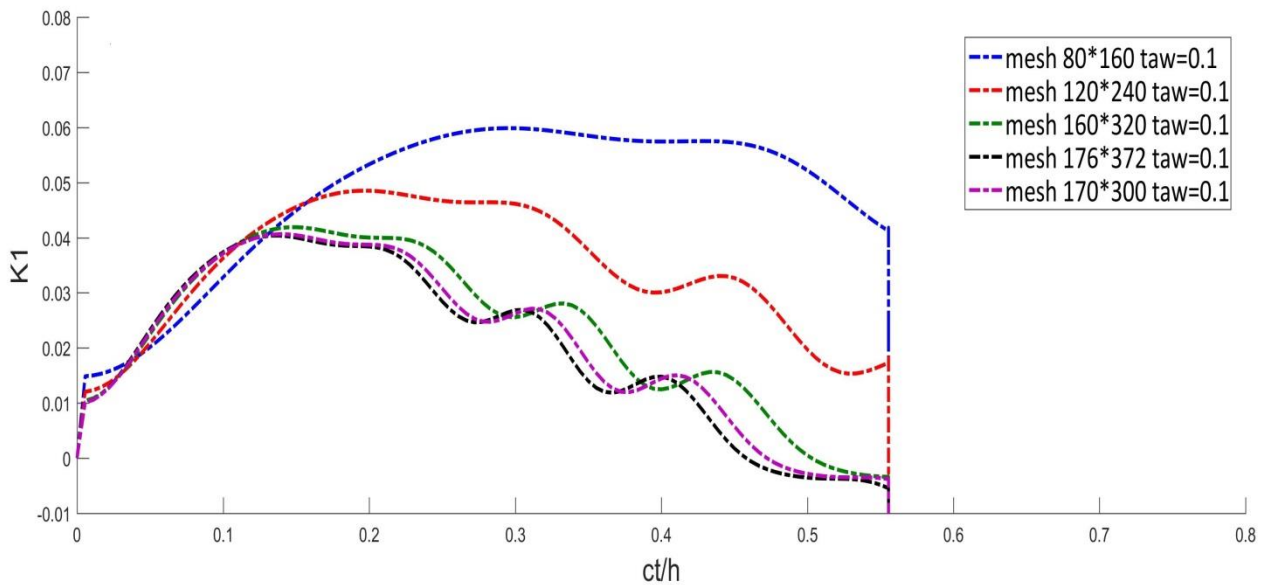
که در این مسئله مقدار finaltime و starttime به ترتیب ۱ و ۰ ثانیه می‌باشند. بنابراین با توجه به مشخصات ماده مقدار dt برابر با $dt = 2.79 \times 10^{-4}$ می‌باشد.



شکل (۶-۱) صفحه اورتوتروپیک ترک دار تحت با حرارتی

فرایند حل و تحلیل مسئله درست مانند قبل است یعنی ابتدا برای رسیدن به مش مطلوب تست

همگرایی را با چند مش انجام داده شده است. نتیجه این تست در شکل ۶-۲ قابل مشاهده است.



شکل ۶-۲) تست همگرایی صفحه اورتوتروپیک ترک‌دار تحت بار حرارتی با توابع غنی سازی اورتوتروپیک و جدید با

$$\tau_0 = 0.1 \text{ در نظر گرفتن ترموالاستیسیته لرد شلمان و}$$

همانطور که در شکل فوق مشخص است مش مطلوب برای حل مسئله مش 176×372 می‌باشد و

تمام تحلیل‌ها و نتایج این مسئله با این مش گرفته شده‌است.

در شکل زیر برای درک بهتر تاثیر زمان تاخیر^۱ نتایج ترموالاستیسیته لردشلمان با نتایج دوفصل

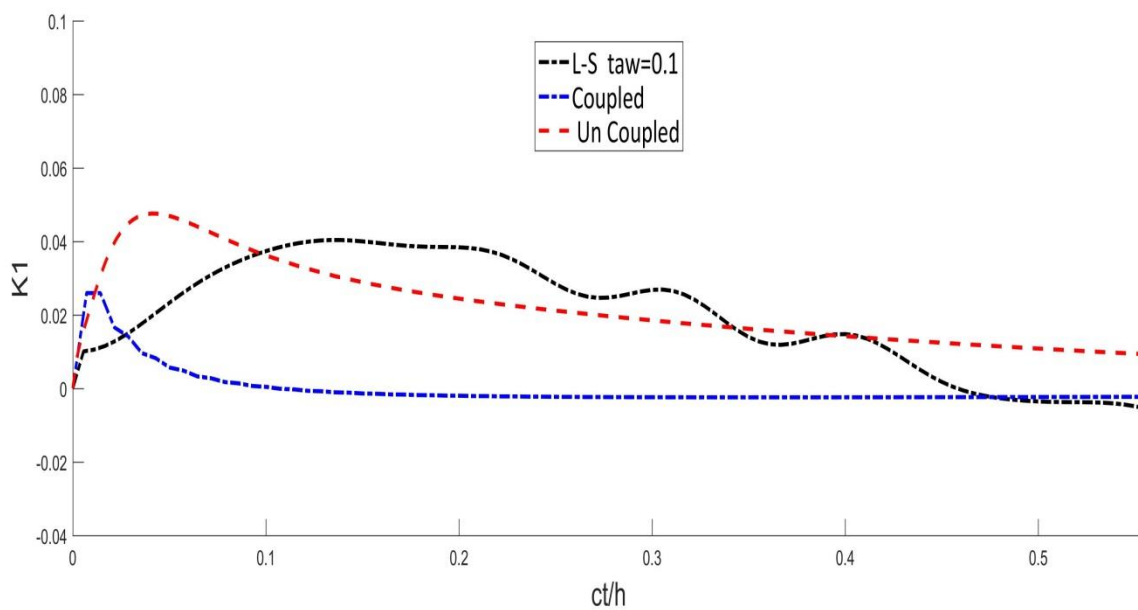
قبل یعنی ترموالاستیسیته کوپل^۲ و غیر کوپل^۳ مقایسه شده‌است. لازم به ذکر است که این مقایسه در

حالت on axis و برای K1 انجام شده است. (شکل ۶-۳)

^۱ در این مسئله $\tau_0 = 0.1$

^۲ فصل پنجم

^۳ فصل چهارم

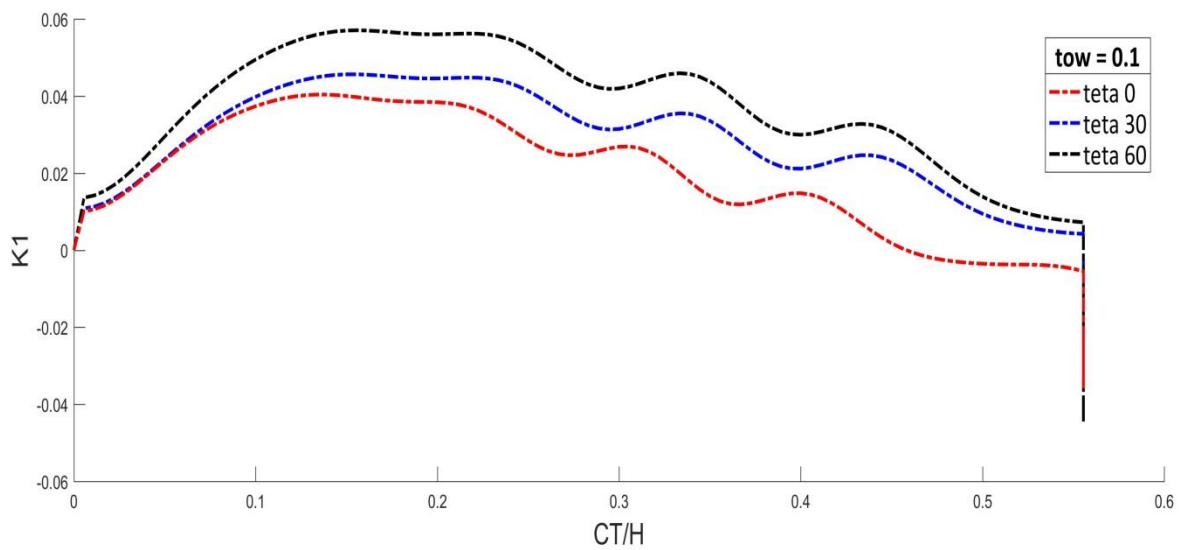


شکل ۶-۳) مقایسه حل کوپل و غیر کوپل با حل لردشلمان

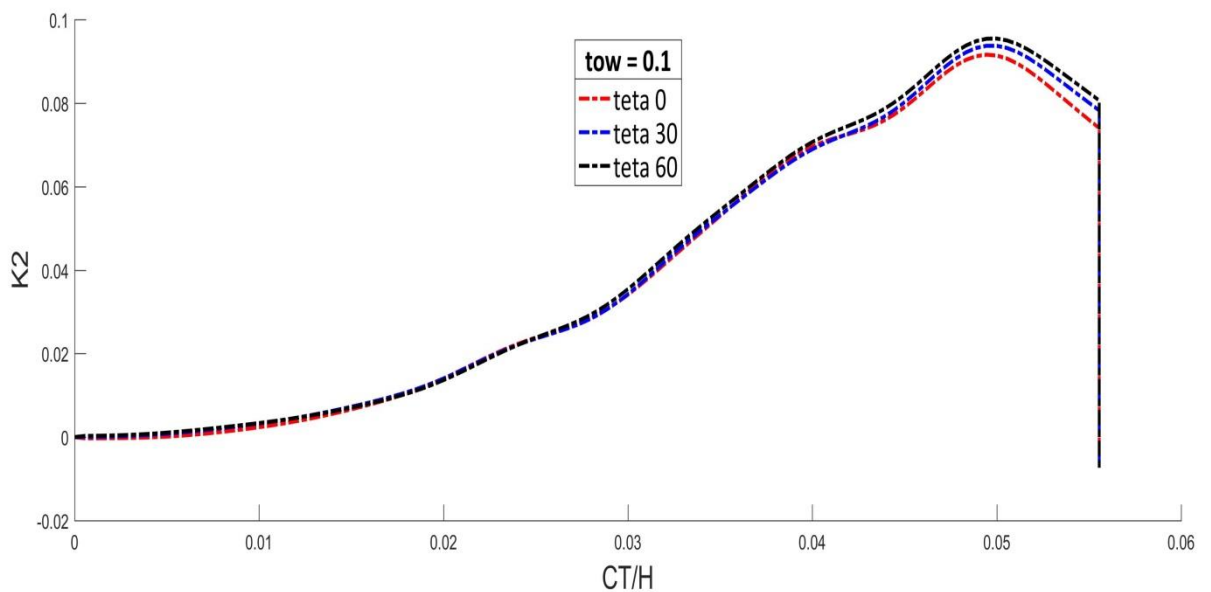
همانطور که در شکل فوق قابل مشاهده است پیک نمودار لردشلمان به دلیل وجود زمان تاخیر دیرتر از حالت کوپل اتفاق می افتد.

در ادامه نیز مسئله را برای چند زاویه الیاف مختلف حل و نمودار $K1$ و $K2$ آن‌ها با یکدیگر مقایسه گردیده است. توجه شود که در تمام زوایا مقدار زمان تاخیر همان $0,1$ است (شکل ۶-۴ و شکل ۶-۵

(



شکل ۴-۶) مقادیر $K1$ صفحه اورتوتروپیک ترک‌دار تحت بار حرارتی با روش ارائه شده در حالت **Off axis**.



شکل ۵-۶) مقادیر $K2$ صفحه اورتوتروپیک ترک‌دار تحت بار حرارتی با روش ارائه شده در حالت **Off axis**.

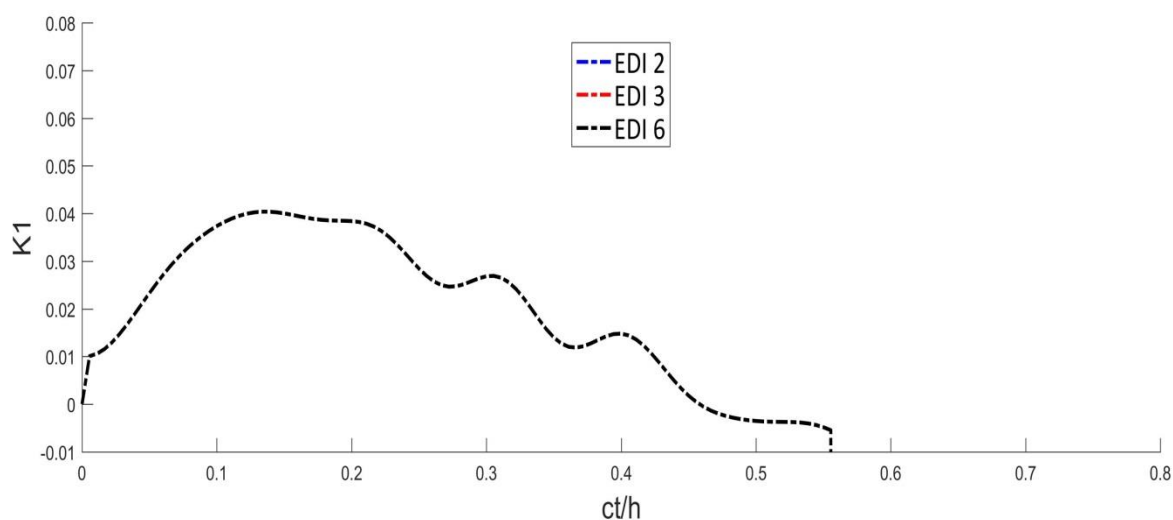
همانطور که در اشکال فوق مشاهده می‌شود مثل قبل با افزایش زاویه ناهمسانگردی مقدار بیشینه

ضریب شدت تنش دینامیکی $K1$ و $K2$ نیز افزایش می‌یابد. که این افزایش در مقدار $K1$ مشهودتر

است.

۲-۴-۶ تست استقلال از مسیر انتگرال برهم کنش

همانطور که در فصل گذشته ذکر شد؛ تست استقلال از مسیر برای سه مسیر انتخابی انتگرال گیری م مطابق شکل زیر انجام شده است.



شکل ۶-۶) تست استقلال از مسیر

همانطور که در شکل ۵-۶ قابل مشاهده است که نتایج برای هر سه شعاع مختلف انتگرال گیری کاملاً مشابه و نمودارها منطبق برهم است.

۵-۶ توضیحات تکمیلی حول ترموالاستیسیته لردشلمان و کوپل

اکنون در انتهای این رساله قصد داریم تا درباره ترموالاستیسیته لردشلمان و کوپل که نتایج آنها در این فصل و فصل قبل بررسی شد اندکی بیشتر توضیح دهیم. همانطور که در این فصل و فصل پیش مشاهده شد معادلات حاکم در ترموالاستیسیته کوپل و لردشلمان به صورت جفت شده گسسته سازی شده اند. (و یا در حل تحلیلی به صورت ریاضی حل شده اند) درست برخلاف ترموالاستیسیته غیر کوپل.

تفاوت اصلی ترموالاستیسیته کوپل و لردشلمان در نوع تئوری انتقال گرما استفاده شده در آنهاست، در ترموالاستیسیته کوپل (که به آن کلاسیک کوپل نیز گفته می‌شود) تئوری انتقال گرما استفاده شده تئوری کلاسیک فوریه می‌باشد^۱ و بر اساس آن سرعت انتقال موج گرما بی‌نهایت است. در مسائل دوبعدی معادله انتقال حرارت فوریه که معادله انرژی حاکم بر ترموالاستیسیته کوپل^۲ از آن بدست می‌آید به صورت زیر است [۳۵].

$$q_i = -k_{ij}T_{,i} \quad i, j = 1, 2 \quad (۲۳-۶)$$

در رابطه فوق q_i شار گرمایی؛ k_{ij} مولفه‌های ماتریس هدایت گرمایی و $T_{,i}$ گرادیان دما می‌باشند. در مسائل دوبعدی گرادیان دما در هر دو جهت و مطابق رابطه (۲۴-۶) محاسبه می‌شود [۱۹ و ۳۵].

$$T_{,i} = \begin{Bmatrix} \frac{\partial T}{\partial x_1} \\ \frac{\partial T}{\partial x_2} \end{Bmatrix} \quad (۲۴-۶)$$

اما در ترموالاستیسیته لردشلمان تئوری انتقال گرما توسعه یافته لردشلمان استفاده شده است که براساس آن سرعت انتقال گرما بی‌نهایت نیست و محدود است. معادله (۲۷-۶)، معادله انتقال حرارت لردشلمان می‌باشد [۳۵].

$$q_i + \tau_0 \dot{q}_i = -k_{ij}T_{,i} \quad i, j = 1, 2 \quad (۲۵-۶)$$

τ_0 همان زمان تاخیر می‌باشد. همانطور که قابل مشاهده است معادله انتقال حرارت در تئوری لردشلمان یک جمله بیشتر از تئوری ترموالاستیسیته کوپل (کلاسیک) دارد. همچنین توجه شود که اگر

^۱ درست مثل ترموالاستیته غیر کوپل. در حقیقت تنها تفاوت ترموالاستیسه کوپل و غیر کوپل جفت بودن و یا جفت نبودن معادلات آنهاست نه تئوری استفاده شده.

^۲ و غیر کوپل

زمان تاخیر برابر صفر شد معادله (۶-۲۵) به معادله تئوری کوپل (رابطه (۶-۲۳)) تبدیل می‌شود. در

حقیقت پارامتر تاخیر زمان است که سرعت انتقال موج را کنترل می‌کند.

فصل ۷: نتیجه گیری کلی و پیشنهادات

(۱) خلاصه نتیجه گیری

(۲) پیشنهادات برای پژوهش‌های بعدی

۱-۷ خلاصه نتیجه‌گیری

تلاش نگارنده این رساله این بوده است که روند نگارش فصول به شکلی باشد که با مقدمه شروع و با نتیجه‌گیری به پایان برسد. (انشالله که موفقیت آمیز بوده‌باشد!) اما به هر حال در این بخش خلاصه نتیجه این رساله و تحقیق نگارنده آورده شده است.

در این رساله، روش المان محدود توسعه یافته برای تحلیل دینامیکی مسائل مکانیک شکست در محیط‌های دوبعدی از مواد اورتوتروپیک تحت بارگذاری حرارتی با سه تئوری ترموالاستیسته غیر کوپل؛ کوپل و لردشلمان (برای هر کدام یک فصل مجزا از ابتدا تا انتها^۱) به کار رفته است. با آوردن چند مثال، دقت روش نگارنده با روش‌های دیگر مقایسه گردیده است. در انتها مقادیر ضریب شدت تنش در صفحه اورتوتروپیک تحت بارگذاری حرارتی بدست آمده است. در ضمن در این رساله در هر سه فصل نتایج با تغییر زوایای ناهمسانگردی نیز بدست آمده است. لازم به ذکر است که توابع غنی‌سازی دمایی برای حل مسائل این رساله (در هر سه فصل) جدید بوده و تا به حال توسط شخص دیگری ارائه نشده است؛ این توابع نتایج خوب و صحیحی را به همراه داشتند و می‌توان در تحلیل‌های آتی از آن‌ها استفاده کرد. و در پایان اگر بخواهیم در یک جمله نتایج این رساله را خلاصه کنیم، آن جمله این است که در تئوری ترموالاستیسته لردشلمان نسبت به تئوری‌های کلاسیک کوپل و غیر کوپل به علت وجود تاخیر زمانی، ضریب شدت تنش دینامیکی مود اول شکست (K_I) دیرتر به مقدار پیک می‌رسد.

۲-۷ پیشنهادات برای پژوهش‌های بعدی

موضوعات زیر به نظر نگارنده برای پژوهش‌های آتی جالب است.

^۱ فصول ۴، ۵ و ۶

- بررسی رشد ترک در مواد اورتوتروپیک
- بررسی دما نوک ترک در انواع مواد با تئوری‌های مختلف ترموالاستیسیته
- بررسی ضرایب شدت تنش دینامیکی تحت بار حرارتی و مقایسه ترموالاستیسیته لردشلمان و گرین نقدی
- بررسی ضرایب شدت تنش دینامیکی تحت بار ترکیبی مکانیکی و حرارتی برای انواع مواد کامپوزیتی
- بررسی ضرایب شدت تنش دینامیکی تحت شار گرمایی متناوب با تئوری‌های ترموالاستیسیته تعمیم یافته برای انواع مواد (ایزوتروپیک، FGM و ...)

و در آخر به قول سعدی: به پایان آمد این دفتر حکایت همچنان باقی

جوانشیر لطفی

شهریور ۱۳۹۸

- [1] Muskhelishvili NI., Some basic problems on the mathematical theory of elasticity, Translated by Radok JRM. Noordhoof, Groningen; 1953.
- [2] Lekhnitskii SG., Theory of an anisotropic elastic body, San Francisco: Holden-Day; 1963.
- [3] Sih GC., Paris PC., Irwin GR., “On cracks in rectilinearly anisotropic bodies” International Journal of Fracture Mechanics, Vol. 1, 1965, pp. 189-203.
- [4] Nobile L., Carloni C., “Fracture analysis for orthotropic cracked plates” Compos Struct , Vol. 68, No. 3, 2005, pp. 285-293.
- [5] Aliabadi M.H., Sollero P., “Crack growth analysis in homogeneous orthotropic laminates” Compos Sci Technol, Vol. 58 , 1998, pp. 1697-1703.
- [6] Sanchez F., Zhang C., Saez A., “A two-dimensional time-domain boundary element method for dynamic crack problems in anisotropic solids” Engineering Fracture Mechanics, Vol. 75, 2008, pp. 1412-1430.
- [10] Prasad, N.N.V., Aliabadi, M.H., Rooke, D.P., “The dual boundary element method for transient thermoelastic crack problems” International Journal Solids and Structures, Vol. 33, 1996, pp. 2695–2718.
- [11] Dell’Erba D.N., Aliabadi M.H., Rooke D.P., “Dual boundary element method for three-dimensional thermoelastic crack problems” International Journal of Fracture, Vol. 94, 1998, pp. 89–101.
- [9] Kim J.H, Paulino G.H., “The interaction integral for fracture of orthotropic functionally graded materials: evaluation of stress intensity factors” International Journal Solids and Structures, Vol. 40, 2003, pp. 3967-4001.
- [7] Belytschko T., Black T., “Elastic crack growth in finite elements with minimal remeshing” International Journal of Fracture Mechanics, Vol. 45, 1999, pp. 601-620.
- [8] Dolbow J., An extended finite element method with Discontinuous Enrichment for Applied Mechanics ,[PhD thesis], Theoretical and Applied Mechanics, Northwestern University , Evanston , IL, U.S.A, 1999.

- [9] Asadpoure A., Mohammadi S., “Developing new enrichment functions for crack simulation in orthotropic media by the extended finite element method” *International Journal for Numerical Methods in Engineering*, Vol. 69, 2007, pp. 2150–2172.
- [10] EsnaAshari S, Mohammadi S. Delamination analysis of composites by new orthotropic bimaterial extended finite element method. *Int J Numer Methods Engng* 2011;86(13):1507–43.
- [11] Motamedi D, Mohammadi S. Dynamic analysis of fixed cracks in composites by the extended finite element method. *Engng Fract Mech* 2010;77(17):3373–93.
- [12] Motamedi D, Mohammadi S. Dynamic crack propagation analysis of orthotropic media by the extended finite element method. *Int J Fract* 2010;161(1):21–39.
- [13] Motamedi D, Mohammadi S. Fracture analysis of composites by time independent moving-crack orthotropic XFEM. *Int J Mech Sci* 2012;54(1):20–37.
- [14] Hosseini S.S., Bayesteh H., Mohammadi S., “Thermo-mechanical XFEM Crack Propagation Analysis of Functionally Graded Materials” *Materials Science and Engineering*, Vol. 561, 2013, pp. 285-302.
- [15] E. Goli, H. Bayesteh, S. Mohammadi, Mixed mode fracture analysis of adiabatic cracks in homogeneous and non-homogeneous materials in the frame-work of partition of unity and the path-independent interaction integral, *Eng. Fract. Mech.* 131 2014, pp. 100–127
- [16] Bayesteh H, Afshar A, Mohammadi S. Thermo-mechanical fracture study of inhomogeneous cracked solids by the extended isogeometric analysis method. *Eur J Mech A/Solids* 2015;51:123–39.
- [17] Bouhala L, Makradi A, Belouettar S, Thermo-anisotropic crack propagation by XFEM, *International Journal of Mechanical Sciences* 103 2015, pp. 235–246
- [۱۸] محاسبه پارامترهای دینامیکی شکست در مواد مرکب تحت بار حرارتی با روش اجزای محدود توسعه یافته، مجتبی حاجی محمدی، پایان نامه، دانشگاه صنعتی شاهرود، ۱۳۹۲
- [19] Lai, Krempl, Rubin, *Introduction to Continuum Mechanics* 4th Ed, 2010
- [20] R-Jones, *Mechanics-of-Composite-Materials-2nd-ed*, 1999
- [21] Timoshenko, *Theory of Elasticity*, 1951
- [22] Stasa, *Applied Finite Element Analysis for Engineers*, 1985

- [23] Melenk J.M. and Babuska I., “The Partition of Unity Finite Element Method: Basic Theory and Applications”, *Computer Methods in Applied Mechanics and Engineering*, Vol. 139, 1996, pp.289 -314.
- [24] Belytschko T., Y.Krongauz ., D.Organ ., M,Fleming , and P.Krysl., “Meshless method : An overview and recent developments”. *Computer Method in Applied Mechanics and Engineering* 139, 3-47,1996.
- [25] Belytschko T., Gracie R. and Ventura G. “A Review of Extended/Generalized Finite Element Methods for Material Modelling” *Modelling Simul. Mater. Sci. Eng.*, 17(4), pp 1-24.
- [26] Chao, C. K., and R. C. Chang. "Thermal interface crack problems in dissimilar anisotropic media." *Journal of applied physics* 72.7, 1992, pp. 2598-2604.
- [27] Asadpoure A., Mohammadi S., “Developing new enrichment functions for crack simulation in orthotropic media by the extended finite element method” *Int J Numer Meth Engng*, Vol. 69, 2007, pp. 2150–2172.
- [28] Asadpoure A., Mohammadi S., Vafai A., “Crack analysis in orthotropic media using the extended finite element method” *Thin-Walled Struct*, Vol. 44, No. 9, 2006, pp. 1031–1038.
- [29] KC A. and Kim J. H. “Interaction integrals for thermal fracture of functionally graded materials” *Eng. Frac. Mech.* 75, 8, 2008, pp 2542-2565
- [30] Sladek, Jan, et al. "Evaluation of fracture parameters for crack problems in FGM by a meshless method." *Journal of theoretical and applied mechanics* 44.3, 2006, pp. 603-636.
- [31] Alan T. Zehnder (auth.), *Fracture Mechanics*-Springer Netherlands, 2012
- [32] Rice JR. “Path-independent integral and the approximate analysis of strain concentration by notches and cracks” *Journal of Applied Mechanics, Transactions (ASME)*, Vol. 35, No. 2, 1968, pp. 379–386.
- [33] Williams M. L. “On the stress distribution at the base of a stationary crack” *J. Appl. Mech.*, *Trans. ASME*, 24(1), 1957, pp 109-114.
- [34] Kim J.H, Paulino G.H., The interaction integral for fracture of orthotropic functionally graded materials: evaluation of stress intensity factors. *Int J Solids Struct*, Vol. 40, 2003, pp. 3967-4001
- [35] M.Reza Eslami, *Thermal Stresses – Advanced Theory and Applications*-Springer Netherlands, 2009

[36] M. Reza Eslami (auth.), *Finite Elements Methods in Mechanics*-Springer International Publishing, 2014

[37] Pasternak, Iaroslav. "Boundary integral equations and the boundary element method for fracture mechanics analysis in 2D anisotropic thermoelasticity." *Engineering Analysis with Boundary Elements* 36.12, 2012, pp. 1931-1941.

Abstract

In this thesis, an extended finite element method (XFEM) is used to model a finite orthotropic sheet including cracks in which the crack has been subjected to thermal or mechanical shock. The equations governing the problem in this thesis are solved dynamically by Newmark's method with three non-coupled thermo-elasticity theories, coupled thermo-elasticity theories and Lordshellman's thermoelasticity; In each of these seasons a convergence test is taken to obtain the desired grating. And dynamic stress intensity coefficients were obtained by J integral method. In addition, the variation of fiber angle and its effect on the dynamic stress intensity coefficient have been studied, and it has been shown that with increasing the fiber angle the dynamic stress coefficient of the first and second modes (K1 and K2) is increased. Also in Chapter 5 (analysis by coupled thermoelasticity theory) and 6 (analysis by Lord Shellman's theory of thermoelasticity) by conducting independence test of the path, independent of the path of J integral method is also investigated. Finally, by comparing the results of the fourth, fifth, and sixth chapters (non-coupled thermoelasticity, coupled thermoelasticity and Lordshellman's thermoelasticity), it is concluded that the dynamic stress coefficient of the first mode (K1) in the thermoelasticist temporal theory Coupled and non-coupled thermoelastic theories are maximized.

Keywords

Composite, Orthotropic, Extended finite element method, SIF, Thermal stress, Mechanical stress, Enriched.



Faculty of Mechanical and Mechatronics Engineering
M.Sc. Thesis in Applied Mechanics Engineering

**Computation of stress intensity factors for a cracked orthotropic
medium subjected to thermal shock considering Lord-Shulman theory
and using extended Finite Element Method**

By
Javanshir Lotfi

Supervisor
Dr. Mohammad Bagher Nazari

September 2019